



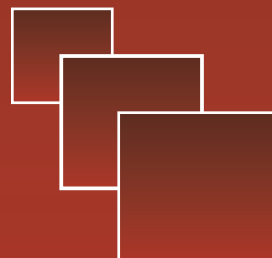
# Вестник

Уральского  
государственного  
университета  
путей сообщения

Научный журнал

**Herald**  
of the Ural State University  
of Railway Transport

Scientific journal



Научный журнал  
«Вестник Уральского государственного  
университета путей сообщения»  
№ 4 (36), 2017 год

**Главный редактор,  
научный редактор**  
Василий Михайлович Сай

**Литературный и выпускающий редактор**  
Людмила Станиславовна Барышникова

**Техническое редактирование и верстка**  
Светлана Николаевна Наймушина

**Дизайн обложки**  
Ольга Петровна Игнатьева

**Учредитель и издатель:**  
Уральский государственный  
университет путей сообщения  
(УрГУПС)

**Адрес для корреспонденции:**  
620034, Екатеринбург,  
ул. Колмогорова, 66, УрГУПС,  
редакция журнала  
«Вестник УрГУПС»

**Телефон редакции:** (342) 221-25-60.  
**Веб-сайт:** [www.usurt.ru/vestnik](http://www.usurt.ru/vestnik);  
**e-mail:** [vestnik@usurt.ru](mailto:vestnik@usurt.ru).

Журнал издается по решению  
ученого совета университета  
©УрГУПС

«Вестник УрГУПС» включен ВАКом  
в перечень периодических, научных  
и научно-технических изданий,  
выпускаемых в Российской Федерации,  
в которых рекомендуется публикация  
основных результатов диссертаций.

DOI:10.20291/2079-0392

Свидетельство о регистрации  
средства массовой информации  
Роскомнадзора ПИ № ФС77–38188  
от 30 ноября 2009 г.

Подписной индекс журнала  
в общероссийском  
каталоге «Роспечать» — 70070

Отпечатано в издательстве  
Уральского государственного  
университета путей сообщения,  
620034, Екатеринбург,  
ул. Колмогорова, 66.

Подписано в печать 2.12.2017.

Тираж 300 экз. 1-й з-д: 1–80.  
Формат 70×100/16.  
Заказ 323

Scientific journal «Herald of the  
Ural State University  
of Railway Transport»  
№ 4 (36), 2017

**Editor-in-chief,  
Science editor**  
Vasily M. Say

**Script and copy editor**  
Lyudmila S. Baryshnikova

**Technical editing and make-up**  
Svetlana N. Naymushina

**Cover design**  
Olga P. Ignatjeva

**Founder and publisher:**  
The Ural State University  
of Railway Transport  
(USURT)

**Correspondence address:**  
«Herald of USURT» editorial office  
The Ural State University of Railway Transport»  
66 Kolmogorov Street,  
620034, Ekaterinburg

**Telephone:** +7 (342) 221-25-60.  
**Web-site:** [www.usurt.ru/vestnik](http://www.usurt.ru/vestnik);  
**e-mail:** [vestnik@usurt.ru](mailto:vestnik@usurt.ru).

The journal is published by the decision of  
University Academic Board  
©USURT

DOI:10.20291/2079-0392

Certificate of registration of mass media  
by the Federal Service for Supervision  
in the sphere of communications,  
information technology and mass communications  
(Roskomnadzor) PI № FS77–38188  
of November 30, 2009.

Subscription reference number of the issue  
in the All Russia Catalogue «Rospechat» — 70070

Printed in the Publishing house  
of the Ural State University of  
Railway Transport  
66 Kolmogorov Street,  
620034, Ekaterinburg.

Passed for printing 2.12.2017.

Circulation 300. The 1<sup>st</sup> pr.: 1–80.  
Format 70×100/16.  
Order 323

## МЕЖДУНАРОДНЫЙ РЕДАКЦИОННЫЙ СОВЕТ

**Кейт Бурнхам**, профессор, Университет г. Ковентри, факультет машиностроения и вычислительной техники, Великобритания

**Петер Копачек**, профессор, Венский технологический университет, Венский институт транспорта и робототехники, интеллектуальный транспорт и робототехника, Вена, Австрия

**Владимир Цыганов**, д-р техн. наук, профессор, Институт проблем управления Российской академии наук, Москва, Россия

**Сергей Герман-Галкин**, д-р техн. наук, профессор, Морская академия, Институт судовой автоматики и электротехники, Щецин, Польша

**Клаус Беккер**, профессор, Университет прикладных наук г. Кельна, Институт автомобильной техники, лаборатория NVH, Германия

**Василий Сай**, д-р техн. наук, профессор, Уральский государственный университет путей сообщения, Екатеринбург, Россия

## РЕДКОЛЛЕГИЯ

**Вовк Алексей Александрович**, д-р экон. наук, профессор, МГУПС, Москва

**Воскресенская Тамара Петровна**, д-р техн. наук, профессор, СибГИУ, Новокузнецк

**Воробьев Александр Алексеевич**, д-р техн. наук, профессор, МГУПС, Москва

**Корнилов Сергей Николаевич**, д-р техн. наук, профессор, МГТУ, Магнитогорск

**Нестеров Валерий Леонидович**, д-р техн. наук, профессор, УрГУПС, Екатеринбург

**Кузнецов Константин Борисович**, д-р техн. наук, профессор, УрГУПС, Екатеринбург

**Сапожников Валерий Владимирович**, д-р техн. наук, профессор, ПГУПС, Санкт-Петербург

**Сизый Сергей Викторович**, д-р техн. наук, профессор, УрФУ, Екатеринбург

**Щурин Константин Владимирович**, д-р техн. наук, профессор, ОГУ, Оренбург

**Тимофеева Галина Адольфовна**, д-р физ.-мат. наук, профессор, УрГУПС, Екатеринбург

## INTERNATIONAL EDITORIAL BOARD

**Keith Burnham**, professor, Coventry University, Faculty of Engineering and Computing, Great Britain

**Peter Kopachek**, professor, Vienna University of Technology, Vienna Institute of Transportation and Robotics, Intelligent Transportation and Robotics, Vienna, Austria

**Vladimir Tsyganov**, DSc, professor, Russian Academy of Sciences, Institute of Control Sciences, Moscow, Russia

**Sergey German-Galkin**, DSc, professor Maritime Academy, Institute of naval automation and electric engineering, Szczecin, Poland

**Klaus Becker**, professor, Cologne University of Applied Sciences, Institute of Automotive Engineering, NVH Laboratory, Germany

**Vasily Say**, DSc, professor, The Ural State University of Railway Transport, Ekaterinburg, Russia

## EDITORIAL BOARD

**Vovk Alexei Aleksandrovich**, DSc, professor, Moscow State University of Railway Transport, Moscow

**Voskresenskaya Tamara Petrovna**, DSc, professor, Siberian State Industrial University, Novokuznetsk

**Vorobjev Alexander Alexeevich**, DSc, professor, Moscow State University of Railway Transport, Moscow

**Kornilov Sergey Nikolaevich**, DSc, professor, Magnitogorsk State Technical University, Magnitogorsk

**Nesterov Valery Leonidovich**, DSc, professor, The Ural State University of Railway Transport, Ekaterinburg

**Kuznetsov Konstantin Borisovich**, DSc, professor, The Ural State University of Railway Transport, Ekaterinburg

**Sapozhnikov Valery Vladimirovich**, DSc, professor, Petersburg State University of Railway Transport, Saint-Petersburg

**Sizyi Sergey Viktorovich**, D. Sc. in engineering, professor, Ural Federal University, Ekaterinburg

**Shchurin Konstantin Vladimirovich**, DSc, professor, Orenburg State University, Orenburg

**Timofeeva Galina Adolfovna**, DSc, professor, The Ural State University of Railway Transport, Ekaterinburg

# Содержание

## Математические модели технологических процессов

- 4 А. Э. Павлюков, О. В. Черепов, П. И. Шалупина. Тормозные колодки грузовых вагонов: анализ повреждаемости и факторов, влияющих на создание тормозной силы
- 12 О. Н. Числов, В. А. Богачев, В. М. Задорожний, Т. В. Богачев. Экономико-географическая модель управления контейнерными перевозками в железнодорожной припортовой транспортно-технологической системе
- 22 И. Н. Боднар. Оптимальное регулирование порожних вагонопотоков в условиях множества собственников железнодорожного подвижного состава

## Механика машин и роботов

- 33 П. В. Губарев, Н. Р. Тептиков, Д. В. Глазунов. Методика расчета ресурса силовых диодов выпрямительных установок электроподвижного состава
- 39 С. В. Бывальцев. Система управления выдавливанием композитов волокнистого строения для энергетических комплексов
- 49 И. И. Некрасов, А. А. Федулов, В. С. Паршин, С. А. Нейман. Определение динамических нагрузок в главном приводе прокатного стана при прокатке полос с оребрением

## Управление в технических системах

- 56 А. Н. Киреев, В. А. Витренко. Экспериментальные исследования безэталонных методов отстройки функции ВРЧ при ультразвуковом контроле деталей ПСЖД
- 67 П. С. Пинчуков, С. И. Макашѐва. Повышение устойчивости функционирования устройств релейной защиты параллельных линий 6–35 кВ
- 77 С. Г. Герман-Галкин, В. А. Кузнецов. Оптимизация энергетических характеристик в электроприводе с вентильным двигателем

## Организация и логистика

- 85 О. Ю. Смирнова, К. Е. Герасимчук. Подходы к анализу факторов, влияющих на пригородное сообщение
- 96 В. С. Паршина. Целевая функция развития персонала на транспорте с позиций динамической модели трудовой мотивации
- 106 Е. М. Бондаренко. Клиентоориентированный подход как способ привлечения дополнительных объѐмов перевозки опасных грузов железнодорожным транспортом
- 114 Д. И. Кочнева. Модель оценки влияния контейнерной транспортно-логистической системы на экономику региона

# Contents

## Mathematic models of technological processes

- 4 A. E. Pavlyukov, O. V. Cherepov, P. I. Shalupina. Brake shoe of freight wagon: analysis of damage and factors affecting the brake power
- 12 O. N. Shiclov, V. A. Bogachev, V. M. Zadorozhny, T. V. Bogachev. Economic-geographical model of controlling container transport in railway transport and technological system
- 22 I. N. Bodnar. Optimal adjusting of empty car traffic volume in the condition of great number of owners of railway rolling stock

## Mechanics of machines and robots

- 33 P. V. Gubarev, N. R. Teptykov, D. V. Glazunov. Methods of calculation of resource power diodes rectifier units vacuum the whole
- 39 S. V. Byvaltsev. System managements squeezing out of compos of fibred structure for power complexes
- 49 I. I. Nekrasov, A. A. Fedulov, V. S. Parshin, S. A. Neiman. Determination of dynamic loads in the main drive of the rolling mill at rolling strips with finned

## Control in engineering systems

- 56 A. N. Kireev, V. A. Vitrenko. Experimental investigations of non-ethical methods of settling the function of varius in ultrasound control of details
- 67 P. S. Pinchukov, S. I. Makasheva. Increasing the stability of functioning devices of relay protection of parallel lines 6-35 kV
- 77 S. G. Herman-Galkin, V. A. Kuznetsov. Optimization of power descriptions in electromechanic with valve engine

## Organization and logistics

- 85 O. Yu. Smirnova, K. E. Gerasimchuk. Approaches to the analysis of factors, influencing on suburban report
- 96 V. S. Parshina. Objective function of development of personnel on transport from positions of dynamic model of labour motivation
- 106 E. T. Bondarenko. Client-oriented approach as method of bringing in of additional volumes of transportation of dangerous loads railway transport
- 114 D. I. Kochneva. Model for assessing influence of a container transport logistic system on regional economy

# Математические модели технологических процессов

УДК 629.4.077-592

*А. Э. Павлюков, О. В. Черепов, П. И. Шалупина*

## Тормозные колодки грузовых вагонов: анализ повреждаемости и факторов, влияющих на создание тормозной силы

UDC 629.4.077-592

*A. E. Pavlyukov, O. V. Cherepov, P. I. Shalupina*

## Brake shoe of freight wagon: analysis of damage and factors affecting the brake power

### Аннотация

В статье проведен анализ повреждаемости тормозных колодок и поверхности катания колес грузовых вагонов. Опираясь на ранее проведенные исследования в области опытной эксплуатации композиционных тормозных колодок, авторы дают качественную оценку дефектам, возникающим на поверхности тормозных колодок: это вырывы и раковины материала-наполнителя, наволакивание металла

с поверхности катания колеса на рабочую поверхность тормозной колодки. Также дана качественная оценка дефектам тормозных колодок, вызванным несовершенством тормозной рычажной передачи вагона, а именно: возникновение неравномерного (клиновидного) износа тормозной колодки, который приводит к преждевременной ее замене.

Все эти дефекты тормозных колодок приводят к уменьшению площади

контакта между поверхностью катания колеса и тормозной колодки, как следствие, к увеличению удельного давления, оказываемого колодкой на колесо. Увеличение этого давления в месте контакта колодки и колеса вызывает интенсивный износ и нагрев контактирующих тел.

Для изучения тепловых процессов (при различных режимах торможения), протекающих между соприкасающимися поверхностями,

*Статья рекомендована к опубликованию В. Ф. Лапшиным, д-р техн. наук, профессором; Уральский государственный университет путей сообщения; Екатеринбург, Россия. E-mail: VLapshin@usurt.ru.*

**Александр Эдуардович Павлюков**, д-р техн. наук, профессор; кафедра «Вагоны» Уральского государственного университета путей сообщения; Екатеринбург, Россия. E-mail: apavlyukov@mail.ru.

**Олег Вячеславович Черепов**, канд. техн. наук, доцент; кафедра «Вагоны» Уральского государственного университета путей сообщения; Екатеринбург, Россия. E-mail: chov1967@rambler.ru.

**Павел Игоревич Шалупина**, аспирант; кафедра «Вагоны» Уральского государственного университета путей сообщения; Екатеринбург, Россия. E-mail: p.shalupina@gmail.com.

*The article is recommended for publication by V.F. Lapshin, DSc in Tech. sciences, professor; Ural State University of Railway Transport; Yekaterinburg, Russia. E-mail: VLapshin@usurt.ru.*

**Alexander Eduardovich Pavlyukov**, DSc in Techn. Sciences, Professor; Department «Wagons» of the Ural State University of Railway Transport; Yekaterinburg, Russia. E-mail: apavlyukov@mail.ru.

**Oleg Vyacheslavovich Cherepov**, PhD in tech. Sci., Associate Professor; Department «Wagons» of the Ural State University of Railway Transport; Yekaterinburg, Russia. E-mail: chov1967@rambler.ru.

**Pavel Igorevich Shalupina**, graduate student; Department «Wagons» of the Ural State University of Railway Transport; Yekaterinburg, Russia. E-mail: p.shalupina@gmail.com.

предлагается исследовать их методами имитационного моделирования. Такое моделирование позволит с помощью математических моделей определить совокупность силовых и температурных явлений, возникающих в системе «колесо – тормозная колодка».

**Ключевые слова:** грузовой вагон, тормозная колодка, цельнокатанное колесо, тормозная сила, термомеханические повреждения.

DOI: 10.20291/2079-0392-2017-4-4-11

#### Annotation

The article analyzes the damageability of brake pads and the rolling surface of the wheels of freight cars. Based on previous studies in the field

of experimental operation of composite brake pads, the authors give a qualitative assessment of the defects that appear on the surface of the brake pads; this is the breaks and shells of filler material, the rolling of metal from the surface of the wheel to the working surface of the brake pad. A qualitative assessment is also given to defects in the brake pads caused by the imperfection of the brake linkage of the car, namely: the occurrence of uneven (wedge-shaped) wear of the brake shoe, which leads to its premature replacement.

All these brake pad defects lead to a reduction in the contact area between the rolling surface of the wheel and the brake shoe, resulting in an increase in the specific pressure

exerted by the shoe on the wheel. An increase in this pressure at the point of contact between the pad and the wheel causes intense wear and heating of the contacting bodies.

To study the thermal processes (under different braking regimes) that occur between the contacting surfaces, it is proposed to study them by imitation modeling methods. Such modeling will allow using mathematical models to determine the totality of the power and temperature phenomena arising in the system «wheel – brake shoe».

**Key words:** freight wagons, brake shoe, solid wheel, braking force, thermomechanical damages.

DOI: 10.20291/2079-0392-2017-4-4-11

Стратегия развития железнодорожного транспорта до 2030 года определяет, в частности, развитие тяжёловесного и скоростного движения в области грузовых перевозок [1]. Увеличение скорости движения и осевой нагрузки грузового подвижного состава требует модернизации тормозных систем вагонов. В силу сложившихся традиций все грузовые вагоны оборудуются схожими по действию колодочными тормозами. Принципиальное различие тормозных систем при этом заключается лишь в количестве тормозных цилиндров, устанавливаемых на вагонах, и в симметричности расположения механической части тормоза.

При имеющихся различиях в конструкциях тормозных систем вагонов их объединяет сила трения, которая возникает при прижатии тормозной колодки к поверхности катания колеса. Тормозная сила применительно к одному колесу вагона и прижимаемой к нему колодки определяется по зависимости [2, 3]:

$$B_T = F_{\text{тр}} - F_{\text{и}}, \quad (1)$$

где  $F_{\text{тр}}$  – сила трения между тормозной колодкой и колесом вагона;  $F_{\text{и}}$  – сила

инерции, возникающая при замедлении колеса.

Сила трения зависит от усилия нажатия колодки на колесо и трибологических характеристик контактирующих материалов (коэффициента трения):

$$F_{\text{тр}} = k' \varphi_k, \quad (2)$$

где  $\varphi_k$  – действительный коэффициент трения тормозной колодки.

Анализ данных зависимостей показывает, что на создание тормозной силы при торможении поезда непосредственное влияние оказывает коэффициент трения контактирующих поверхностей.

На грузовых вагонах железных дорог применяются тормозные колодки из полимерных композитов (стандартные композиционные материалы ТИИР-300, ТИИР-303, безасбестовые композиционные материалы ТИИР-302, БАТИ-306). Основные характеристики серийно изготавливаемых из этих материалов тормозных колодок представлены в таблице (коэффициент трения тормозных колодок из полимерных композитов – 0,38–0,55).

Тип колодки (материал из- готовления)	Изгото- витель*	Скорость движения, км/ч	Предельное давление на колодку, МПа	Объемная темпера- тура, °С	Темпера- тура на по- верхности трения, °С	Размер, мм
25130-04Н (ТИИР-302)	1	145	1,4	300	500	400×80×50
М 659.000 (ТИИР-300, ТИИР-303)	1, 2, 3, 4	160	1,3	300	500	330×80×65
25610-Н (ТИИР-300)	1, 2, 3, 4	140	2	300	400	400×80×50

\* 1 – ОАО «Волжский завод асбестовых изделий», 2 – АО «Барнаульский завод АТИ», 3 – АО «Завод АТИ» (Санкт-Петербург), 4 – ОАО «УралАТИ» (г. Асбест, Свердловская обл.), 5 – ОАО ФРИТЕКС (г. Ярославль).

Несмотря на разнообразие применяемых для изготовления композиционных колодок материалов, их основные характеристики, влияющие на эффективность торможения, одинаковы. Так, теплопроводность рассматриваемых полимерных композитов составляет 40 Вт/м·К, ресурс колодок – до 160 тыс. км, а наиболее важная характеристика – коэффициент трения по стали Ст 1 – колеблется в пределах 0,38–0,55. Основное отличие при этом заключается в физических размерах колодок и, как следствие, различных значениях предельного давления, оказываемого на колодку, и максимальной скорости движения единицы подвижного состава.

Колодки из полимерных композитов применяются на грузовых вагонах из-за их очевидной экономической эффективности. Так, несмотря на дешевизну изготовления и высокое значение теплопроводности чугуна, обеспечивающее эффективный отвод тепла из зоны соприкосновения колеса и колодки, чугунные колодки обладают рядом существенных недостатков. Например, при применении чугунных колодок для торможения поездов, движущихся со скоростями до 120 км/ч, значительно снижается коэффициент трения, что приводит к недостатку тормозной мощности и снижает эффективность торможения поездов [4, 5]. Кроме того, чугунные колодки недолговечны: их ресурс составляет 30–50 тыс. км.

Колодки из полимерных композитов, в отличие от чугунных, имеют стабильный коэффициент трения в большем диапазоне скоростей и более долговечны (до 160 тыс. км). Однако, как показывает опыт эксплуатации [4, 6–9], из-за низкой теплопроводности композиционных колодок значительно возрастает повреждаемость колес подвижного состава, в основном за счет склонности таких колодок к наволакиванию металла колеса на поверхность колодки. Вследствие наволакивания возникают различные повреждения колес (кольцевые выработки, рис. 1), имеющие в т. ч. и термомеханический характер (выщербины, навары, ползуны).

Процесс наволакивания металла на тормозную колодку подробно изложен в [7, 10]. Наволакивание металла – результат фрикционного взаимодействия и схватывания контактирующих поверхностей в результате пластической деформации под действием фрикционного нагрева, высоких контактных нормальных и касательных напряжений [7, 10]. Наволакиванию металла колеса на поверхность тормозной колодки способствуют технологические дефекты на поверхности трения [11]. Частицы стали, находясь между колодкой и колесом в условиях высоких давлений, температур и повышенной пластичности, собственной стали при экстремальных температурных и силовых режимах, раскалываются в виде тонких пластинок неправильной формы и наволакиваются





Рис. 1. Кольцевые выработки на поверхности катания колеса (фото авторов)

на шероховатую поверхность тормозных колодок.

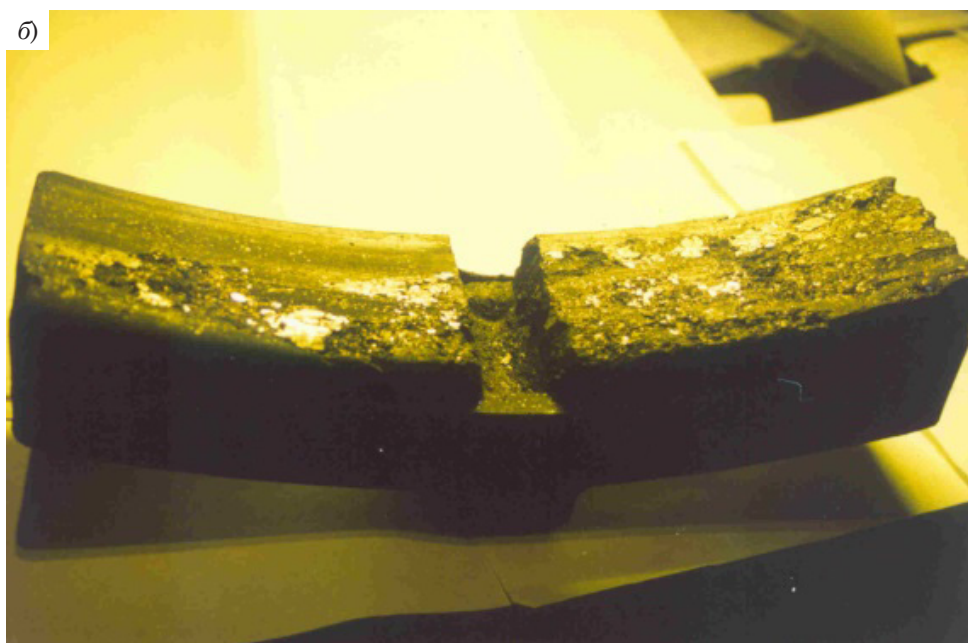
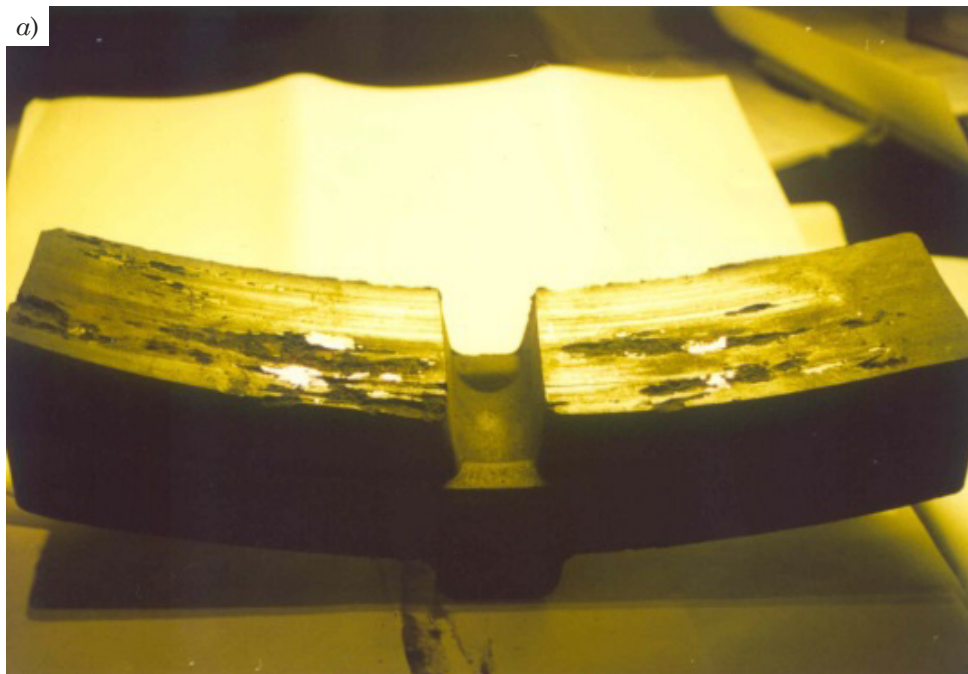
При последующих торможениях процесс повторяется, но он усугубляется тем, что уже к взаимодействию трущейся пары добавляется трение стали колеса о сталь закрепившихся на поверхности колодки фрагментов наволакивания предыдущего взаимодействия. Эти продукты изнашивания образуют на поверхности колодки конгломерат из пластинок толщиной 50–200 мкм, постепенно увеличивающийся по толщине и площади (до 20 % площади поверхности колодки).

Из-за последующих торможений происходит интенсивное местное истирание поверхностей катания колеса с возможным образованием на нем кольцевых канавок и глубоких рисок [12]. Со временем при повторяющихся циклах торможения масса наволакиваемого металла достигает своего критического значения, в результате чего происходит вырыв материала колодки (рис. 2).

Опыт эксплуатации композиционных тормозных колодок [8, 9] показывает, что независимо от материала, из которого изготавливается колодка, и завода-изготовителя с течением времени проявляются следующие дефекты: вырывы и раковины материала-наполнителя колодки (присутствуют у 31 % колодок); наволакивание металла с поверхности катания колеса на рабочую поверхность тормозной колодки (обнаружено у 39 % колодок); наволакивание металла на рабочую поверхность тормозной колодки, вырывы и раковины материала наполнителя колодки (имеют до 22 % колодок); клиновидный износ тормозных колодок (выявлен у 57 % колодок).

Одна из наиболее существенных неисправностей, выявленных в процессе эксплуатации (помимо наволакивания металла и вырывов материала), – это неравномерный (клиновидный) износ тормозной колодки, который приводит к преждевременной ее замене.





*Рис. 2. Рабочая поверхность тормозных колодок с основными неисправностями, выявленными в процессе эксплуатации [8] (фото авторов)*  
*а – цепочки раковин на рабочей поверхности колодки; б – «пещеристая» рабочая поверхность колодки*

Клиновидный износ возникает вследствие перекоса триангеля и всей рычажной системы тележки в процессе работы вагона [9]. Причина такого перекоса, согласно исследованиям, проведенным научными сотрудниками кафедры «Вагоны» (УрГУПС) и ИЦ «МВтранс», заключается в разнице длин горизонтальных тяг в разные стороны вагона, в результате чего с одной стороны (короткая тяга) вертикальный рычаг постоянно находится под нагрузкой. При этом происходит его перекося внутрь, что приводит к износу шарнирных креплений, как следствие, скоба параллельного отвода смещается и башмак поворачивается дальше.

Все описанные дефекты тормозных колодок приводят к уменьшению площади контакта между поверхностью катания колеса и тормозной колодки.

Постоянное по значению усилие  $k'$ , которое передается через рычаг и вызывает прижатие тормозной колодки к колесу, можно определить по следующей зависимости [2, 3]:

$$k' = (250\pi d_{\text{ц}}^2 P_{\text{ц}} \eta_{\text{ц}} - F_1) \frac{a}{a+b} \eta, \quad (3)$$

где  $P_{\text{ц}}$  – давление воздуха в тормозном цилиндре;  $d_{\text{ц}}^2$  – диаметр тормозного цилиндра;  $F_1$  – усилие отпускной пружины;  $a, b$  – длины плеч рычага;  $\eta$  – коэффициент силовых потерь тормозной рычажной передачи.

Значит, удельное давление, оказываемое тормозной колодкой при торможении на колесо, будет следующим:

$$p = \frac{10^3 k'}{F_{\text{к}}}, \quad (4)$$

где  $F_{\text{к}}$  – площадь поверхности трения тормозной колодки,  $\text{см}^2$ .

Итак, вырывы материала колодки (в результате наволакивания металла с поверхности катания колеса на колодку) и клиновидный износ уменьшают площадь контакта между колесом и тормозной колодкой. Поскольку сила, действующая на колодку со стороны рычажной передачи, постоянна, а площадь контакта уменьшается, то удельное давление, оказываемое колодкой на колесо, значительно возрастает. Увеличение этого давления в месте контакта колодки и колеса вызывает интенсивный износ и нагрев контактирующих тел.

Таким образом, на современных грузовых вагонах используются композиционные тормозные колодки, обладающие низкой теплопроводностью, что приводит к появлению на них дефектов термомеханического характера.

Результаты эксплуатационных испытаний показывают, что локальный вырыв материала колодок и клиновидный износ негативно влияют на площадь контакта при колодочном торможении, из-за чего происходит более интенсивный износ и нагрев соприкасающихся поверхностей.

Проведенный в работе анализ показывает необходимость исследования процесса колодочного торможения подвижного состава, в частности, грузовых вагонов. Рациональный подход к изучению колодочного торможения заключается в имитационном моделировании, которое позволит с помощью математических моделей определить совокупность силовых и температурных явлений, возникающих в системе «колесо – тормозная колодка». ■

#### Литература

1. Стратегия развития железнодорожного транспорта в РФ до 2030 года: распоряжение Правительства РФ № 877-р. URL: [www.mintrans.ru/documents/detail.php?ELEMENT\\_ID=13009](http://www.mintrans.ru/documents/detail.php?ELEMENT_ID=13009) (дата обращения: 9.09.2017).
2. Асадченко В. Р. Расчет пневматических тормозов железнодорожного подвижного состава: учеб. пособие для вузов ж.-д. трансп. – М.: УМЦ ЖДТ, 2004. 120 с. ISBN 5-89035-126-5.

3. Асадченко В. Р. Автоматические тормоза подвижного состава : учеб. пособие для вузов ж.-д. трансп. – М. : Маршрут, 2006. 392 с. ISBN 5-89035-275-X.
4. Галай Э. И., Рудов П. К. Эффективность торможения пассажирских поездов – фактическая и по нормативам // Вісник Дніпропетровського національного університету залізничного транспорту ім. академіка В. Лазаряна. 2006. № 11. С. 116–119. ISSN 2307-3489.
5. Востриков Я. А., Жатченко В. М. Исследование чугуна для тормозной колодки // Научно-техническое и экономическое сотрудничество стран АТР в XXI веке. 2016. № 1. С. 48–51.
6. Шакина А. В., Фадеев В. С., Штанов О. В. Вагонные тормозные колодки повышенной износостойкости // Техника железных дорог. 2014. № 4. С. 68–71. ISBN 1998-9318.
7. Шакина А. В. Разработка эффективной технологии получения вагонной тормозной колодки из металлокерамического фрикционного материала : дис. ... на соиск. уч. ст. кан. техн. наук. – Комсомольск-на-Амуре : КнАГТУ, 2014. 159 с.
8. Черепов О. В., Смольянинов А. В., Шувалов В. Ю., Глухих А. Н. [и др.]. Опыт эксплуатации композиционных тормозных колодок // Развитие транспортного машиностроения в России / Желдормашиностроение-2004 : сб. докладов Международн. конф. – Щербинка, 2004. С. 130–132
9. Черепов О. В., Смольянинов А. В., Шувалов В. Ю., Глухих А. Н. [и др.]. Ресурсные испытания композиционных тормозных колодок в опытном поезде «РЖД-УВЗ-УрГУПС-Мониторвагонтранс» // М-лы науч.-техн. конф., посв. 125-летию Свердловской железной дороги. – Екатеринбург : Изд-во УрГУПС, 2003. Т. 1. С. 77–84.
10. Губенко С. И., Иванов И. А., Соболев А. А. Особенности износа поверхности катания цельнокатанных колес // Известия Петербургского университета путей сообщения. 2013. № 1. С. 73–84. ISBN 1815-588X.
11. Контактно-усталостные повреждения колес грузовых вагонов / под ред. С. М. Захарова. – М. : Интекст, 2004. – 160 с. ISBN 5-89277-055-9.
12. Асташкевич Б. М., Иванов С. Г., Воронин И. Н., Маршев В. И. [и др.]. Исследование эксплуатационных дефектов фрикционного сопряжения тормозной колодки с колесом вагона // Вестник ВНИИЖТ. 2004. № 4. С. 44–48. ISSN 0869-8163.

#### Literature

1. Strategy of development of railway transport in the Russian Federation till 2030 [Strategiya razvitiya zheleznodorozhnogo transporta v RF do 2030 goda] : the order of the Government of the Russian Federation № 877-p. URL: [www.mintrans.ru/documents/detail.php?ELEMENT\\_ID=13009](http://www.mintrans.ru/documents/detail.php?ELEMENT_ID=13009) (reference date: 9.09. 2017).
2. Asadchenko V. R. Calculation of pneumatic brakes of railway rolling stock [Raschet pnevmaticheskikh tormozov zheleznodorozhnogo podvizhnogo sostava] : tutorial for high schools of railways trans. – М. : UMC ZDT, 2004. 120 p. ISBN 5-89035-126-5.
3. Asadchenko V. R. Automatic rolling stock brakes [Avtomaticheskie tormoza podvizhnogo sostava] : tutorial for high schools of railways trans – М. : Route, 2006. – 392 p. ISBN 5-89035-275-X.
4. Galay E. I., Rudov P. K. Efficiency of braking of passenger trains – actual and according to standards [EHffektivnost» tormozheniya passazhirskih poezdov – fakticheskaya i po normativam] // Herald of the Dnipropetrovsk National University of Railway Transport named after. Academician V. Lazaryan 2006. № 11. Pp. 116–119. ISSN 2307-3489.
5. Vostrikov Ya. A., Zhatchenko V. M. Investigation of cast iron for a brake pad [Issledovanie chuguna dlya tormoznoj kolodki] // Scientific-technical and economic cooperation of the countries of the Asia-Pacific region in the XXI century. 2016. № 1. Pp. 48–51.
6. Shakin A. V., Fadeev V. S., Shtanov O. V. Wagon brake pads of increased wear resistance [Vagonnye tormoznye kolodki povyshennoj iznosostojkosti] // Railway engineering. 2014. № 4. Pp. 68–71. ISBN 1998-9318.
7. Shakina A. V. Development of an effective technology for the production of a car brake pad from a metal ceramic friction material [Razrabotka ehffektivnoj tekhnologii polucheniya vagonnoj tormoznoj kolodki iz metallokeramicheskogo frikcionnogo materiala] : Thesis for a scientific article. PhD in. tech. sciences. – Komsomolsk-on-Amur : KnASTU, 2014. 159 p.
8. Cherepov O. V., Smolyaninov A. V., Shuvalov V. Yu., Glukhikh A. N. [and other]. Experience in the use of composite brake pads [Opyt ehkspluatatsii kompozitsionnyh tormoznyh kolodok] //

- Development of transport engineering in Russia / Railway Engineering-2004 : compilation. reports of the international.conf. – Shcherbinka, 2004. Pp. 130–132.
9. Cherepov O. V., Smolyaninov A. V., Shuvalov V. Yu., Glukhikh A. N. [and other]. Resource tests of composite brake pads in the experimental train «RZD-UVZ-USURT-Monitor Wagon Trans» [Resursnye ispytaniya kompozitsionnyh tormoznyh kolodok v opytном poezde «RZHD-UVZ-UrGUPS-Monitorvagontrans»] // Materials of scientific.-technical. conf., settlement 125<sup>th</sup> anniversary of the Sverdlovsk railway. – Yekaterinburg : Publishing house of USURT, 2003. T. 1. Pp. 77–84.
  10. Gubenko S. I., Ivanov I. A., Sobolev A. A. Features of the wear of the rolling surface of a single-wound wheel [Osobennosti iznosa poverhnosti kataniya cel'nokatannyh koles] // Proceedings of the Petersburg University of Railways. № 1, 2013. Pp. 73–84. ISBN 1815-588X.
  11. The contact fatigue damage freight wagon wheels [Kontaktно-ustalostnye povrezhdeniya koles gruzovyh vagonov] / ed. C. M. Zakharova. – M. : Intext, 2004. – 160 p. ISBN 5-89277-055-9.
  12. Astashkevich B. M., Ivanov S. G., Voronin I. N., Marshev V. I. [and etc.]. Investigation of operational defects of the friction interface of the brake shoe with the wagon wheel [Issledovanie ehkspluatatsionnyh defektov frikcionnogo sopryazheniya tormoznoj kolodki s kolesom vagona] // Herald of VNIIZhT. 2004. № 4. Pp. 44–48. ISSN 0869-8163.

*Статья сдана в редакцию 9 октября 2017 года*

УДК 656.22

О. Н. Числов, В. А. Богачев, В. М. Задорожний, Т. В. Богачев

## Экономико-географическая модель управления контейнерными перевозками в железнодорожной припортовой транспортно-технологической системе

UDC 656.22

O. N. Shiclov, V. A. Bogachev, V. M. Zadorozhny, T. V. Bogachev

## Economic-geographical model of controlling container transport in railway transport and technological system

### Аннотация

Оптимизация управления контейнерными перевозками и улучшение показателей использования контейнерного парка операторской компании при перевозках грузов на направлении международных транспортных коридоров в припортовой транспортно-технологической системе имеет большое значение в нынешних экономических условиях.

Представлено дальнейшее развитие авторских на-

учных исследований, ориентированных на качественное развитие метода территориального разграничения вагонопотоков на основе развития логистических подходов к грузовой работе и построения региональной экономико-географической модели.

Применена модификация геометрического и экономико-географического методов моделирования для разграничения «территорий влияния» наиболее востре-

бованных операторской компанией станций погрузки.

Исследования опираются на приведённую динамику тарифообразования предоставления вагона для перевозки груза на полигоне Северо-Кавказской железной дороге. Методом наименьших квадратов определены исходные зависимости ставки оператора от расстояния перевозки. Сформирован алгоритм построения модели грузовых перевозок операторской компании. В среде

*Статья рекомендована к опубликованию В. Н. Зубковым, д-р техн. наук, профессором; Ростовский государственный университет путей сообщения; Екатеринбург, Россия.*

**Олег Николаевич Числов**, д-р техн. наук, доцент; заведующий кафедрой «Станции и грузовая работа» Ростовского государственного университета путей сообщения; Ростов-на-Дону, Россия. E-mail: o\_chislov@mail.ru.

**Виктор Алексеевич Богачев**, канд. физ.-мат. наук, доцент; кафедра «Высшая математика» Ростовского государственного университета путей сообщения; Ростов-на-Дону, Россия. E-mail: bogachev-va@yandex.ru.

**Вячеслав Михайлович Задорожний**, ассистент; кафедра «Станции и грузовая работа» Ростовского государственного университета путей сообщения; Ростов-на-Дону, Россия. E-mail: zadorozhny91@mail.ru.

**Тарас Викторович Богачев**, канд. физ.-мат. наук, доцент; кафедра «Фундаментальной и прикладной математики» Ростовского государственного экономического университета; Ростов-на-Дону, Россия. E-mail: bogachev73@yandex.ru.

Исследования проводятся при поддержке РФФИ, проект №17-20-04236 офи.м.РЖД.

*The article is recommended for publication by V.N. Zubkov, DSc in Tech. Sci., professor; Rostov State Transport University; Yekaterinburg, Russia.*

**Oleg Nikolaevich Chislov**, DSc in Tech. Sci., Associate Professor; Head of the Department «Stations and Cargo Work» of Rostov State Transport University; Rostov-on-Don, Russia. E-mail: o\_chislov@mail.ru.

**Viktor Alekseevich Bogachev**, PhD in fiz.-mat. Sci., Associate Professor; Department of Higher Mathematics of the Rostov State University of Communications; Rostov-on-Don, Russia. E-mail: bogachev-va@yandex.ru.

**Vyacheslav Mikhailovich Zadorozhny**, assistant; Department of «Stations and Cargo Work» of the Rostov State Transport University; Rostov-on-Don, Russia. E-mail: zadorozhny91@mail.ru.

**Taras Victorovich Bogachev**, PhD in fiz.-mat. Sci., Associate Professor; Department of «Fundamental and Applied Mathematics» of Rostov State Economic University; Rostov-on-Don, Russia. E-mail: bogachev73@yandex.ru.

The research is conducted with the support of the Russian Foundation for Basic Research, project No. 17-20-04236 of the official Russian Railways.

системы аналитических вычислений построена географическая модель «раздел рынка» подвижного состава по видам грузовых перевозок для станций, в которой возникают алгебраические кривые высших порядков. В результате такого построения получается наглядная территориальная картина рынка транспортных услуг, которая позволяет решать соответствующие вопросы оптимального распределения контейнеропотоков между станциями отправления.

**Ключевые слова:** контейнерные перевозки, компания-оператор, стоимость, овалы Декарта, экономико-географическая модель.

DOI: 10.20291/2079-0392-2017-4-12-21

#### Annotation

Optimizing the management of container transportations and improving the utilization of the container fleet of the operator company

in the transport of goods along the international transport corridors in the port transportation and technological system is of great importance in the current economic conditions.

The further development of author's scientific researches focused on qualitative development of a method of territorial differentiation of carload streams on the basis of development of logistical approaches to cargo work and construction of a regional economic-geographical model is presented.

A modification of the geometric and economic-geographical modeling methods for delineating the «impact territories» of the loading stations most demanded by the operator company was applied.

Researches are based on the resulted dynamics of tariff formation of provision of the car for cargo transportation on the range of the North Cau-

casian Railway. The method of least squares determines the initial dependencies of the operator's rate on the distance of transportation. An algorithm for constructing a model of freight transportation for an operator company is developed. In the environment of the system of analytical computations, a geographic model has been constructed for the «division of the market» of rolling stock by types of freight traffic for stations in which higher-order algebraic curves arise. As a result of such a construction, a clear territorial picture of the transport services market is obtained, which allows solving the corresponding questions of the optimal distribution of container flows between the departure stations.

**Keywords:** container traffics, company-operator, cost, Descartes ovals, economic-geographical model.

DOI: 10.20291/2079-0392-2017-4-12-21

Для российской транспортной системы очень важны интермодальные перевозки через морские порты, что обусловлено интенсивным развитием экономики и её сырьевым характером и высоким потенциалом международных транзитных грузопотоков. Экспортные грузопотоки товаров сырьевого характера обладают массовостью, объёмностью и относительно низкой стоимостью, что и определяет при их транспортировке наибольшее применение железнодорожного и водного видов транспорта.

Современные интермодальные перевозки характеризуются большим многообразием номенклатуры грузопотока, различными схемами транспортировки и способами переработки грузов на отдельных элементах цепи доставки (на складах отправителей, технологическом транспорте, в пути следования на

магистральном транспорте, в транспортных узлах и в портовых терминалах, на складах получателей). Эти тенденции требуют разработки новых и развития существующих методов распределения [1–4] припортовых грузо- и вагонопотоков и методов организации и взаимодействия участников грузовых перевозок [5].

Контейнерные перевозки – одно из передовых средств ускорения товародвижения и сокращения транспортных издержек. Преимущества перевозки грузов в контейнерах известны: максимальная сохранность грузов, удобство при транспортировке, сокращение времени доставки грузов.

Сегодня в контейнерах перевозится широкая номенклатура сырьевой продукции, в том числе металлы, наливные грузы, сжиженный газ [5], продукция химической и пищевой промышленности,



целлюлозно-бумажной, машиностроительной отраслей и других (рис. 1).

Ведущий оператор контейнерных интермодальных перевозок – ПАО «ТрансКонтейнер». Компания осуществляет около 47% железнодорожных контейнерных перевозок и около 19% переработки контейнеров на железнодорожных терминалах России [6].

Филиал ПАО «Центр по перевозке грузов в контейнерах «ТрансКонтейнер» на Северо-Кавказской железной дороге (СКЖД) включает в себя агентства в Ростове-на-Дону, Краснодаре, Новороссийске, Махачкале, Пятигорске, Владикавказе, Нальчике, Симферополе и контейнерные терминалы на станциях Ростов-Товарный, Краснодар-Сортировочный, Скачки, Владикавказ.

На базе переданных на баланс филиала контейнерных площадок и объектов имущества ПАО «ТрансКонтейнер» образованы агентства. Агентства располагаются на территории грузовых станций, открытых для приема и выдачи грузов в контейнерах. Подразделения агентств, осуществляющие работу с грузоотправителями, грузополучателями и экспедиторами, могут располагаться на грузовых станциях и вне их.

Расположенный в Новороссийском морском торговом порту мультимодальный контейнерный терминал – один из крупнейших южнороссийских. Расчеты показывают, чтобы выгрузить в порту Новороссийска 1000 вагонов, нужно иметь в ожидании работы 20 поездов. Однако неритмичность работы порта

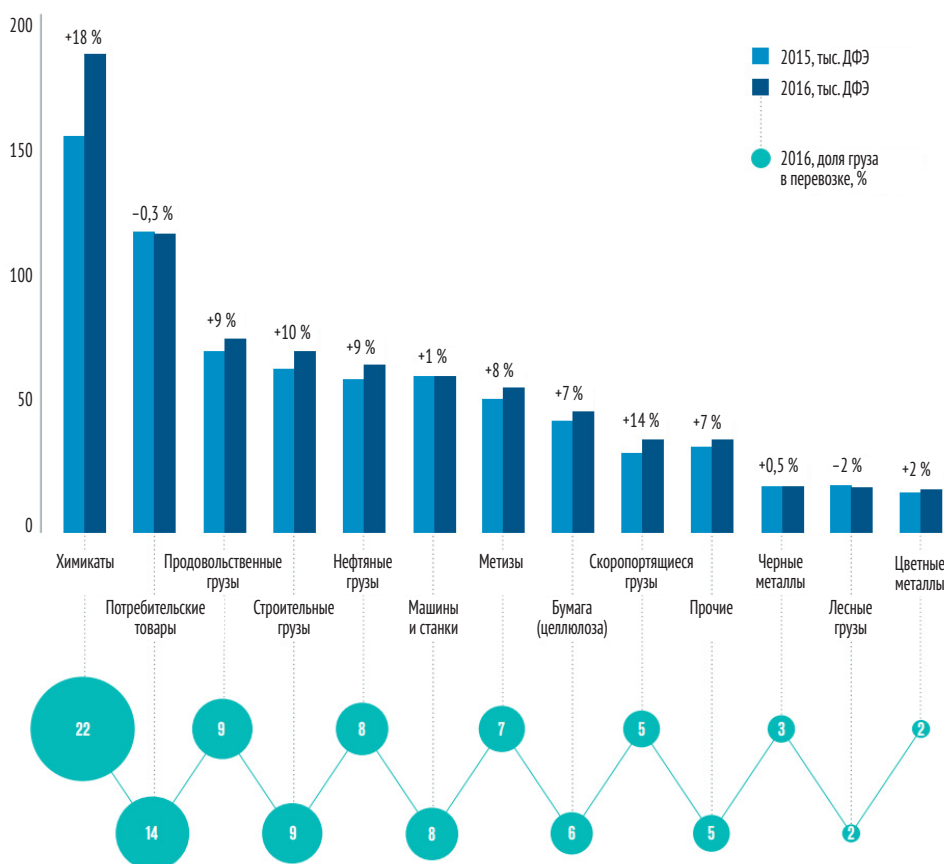


Рис. 1. Структура контейнерных грузоперевозок по сети РЖД во внутрироссийском сообщении по основным товарным группам [6]

по погодным условиям, ограниченные складские мощности, накопление судовых партий в вагонах на припортовых станциях осложняют подвод контейнеропотока к судам и вынуждают железные дороги превращать грузовые вагоны в «склады на колесах». Поэтому возможно появление так называемых брошенных грузовых поездов.

Инфраструктурные мероприятия по ускорению продвижения контейнеропотока в адрес припортовых терминалов уже ведутся: завершено строительство второго Новороссийского тоннеля, построена накопительная станция в районе разъезда 9 км, предусмотрено развитие станции Новороссийск и строительство обхода Краснодарского узла, вторых путей на Таманском ходе и Крымского мостового перехода.

Другое направление повышения эффективности управления перевозками в железнодорожной припортовой транспортно-технологической системе – применение нового метода территориального разграничения контейнеропотоков на основе развития логистических подходов к грузовой работе и построения региональной экономико-географической модели [7].

Получившаяся территориальная картина рынка транспортных услуг позволит решать вопросы оптимального распределения контейнеропотоков между станциями отправления (погрузки). Общая геометрическая идея подхода [8] разработана в аналитическом и графическом виде с использованием возможностей систем компьютерной алгебры [9, 10]. Принципиальное отличие территориальной картины, представленной в настоящей работе, от полученной в [7] геометрически выражается в том, что разграничение «территорий влияния» рассматриваемых станций погрузки осуществляется алгебраическими линиями, имеющими 4-й порядок (овалы Декарта и улитки Паскаля). При этом появление кривых высших порядков служит следствием своевременного и более

детального оперативно-логистического контроля за продвижением грузов и вагонопотоков со станций отправления (погрузки).

Объект проводимых исследований – примыкающая к Азовскому и Чёрному морям западная часть Северо-Кавказского транспортного региона, рассматриваемая в рамках деятельности филиала ПАО «ТрансКонтейнер». В качестве примера рассмотрены крупы в ассортименте, доставляемые в контейнерах с четырёх станций погрузки: Краснодар-Сортировочный (1), Ростов-Товарный (2), Владикавказ (3) и Скачки (4) в девять пунктов назначения (припортовых станций): Туапсе (1), Новороссийск (2), Темрюк (3), Ейск (4), Азов (5), Таганрог (6), Заречная (7), Кизитеринка (8) и Махачкала (9) (нумерация станций соответствует ранжированию данных в таблице 2).

Имеющиеся для рассматриваемых станций статистические данные о стоимостях перевозок одного контейнера с грузом указанного вида [11] представлены в таблице 1.

Графическое представление этих данных показывает, что для каждой станции погрузки зависимость стоимости  $c$  (тыс. руб.) перевозки контейнера от длины  $l$  (км) пройденного им маршрута имеет отчётливый линейный характер (рис. 2; на примере станций Краснодар-Сортировочный и Ростов-Товарный).

С целью нахождения для каждой станции погрузки соответствующего аналитического выражения указанной зависимости в таблице 2 выполнено ранжирование данных таблицы 1 в порядке увеличения длины маршрута следования контейнера.

Найденные методом наименьших квадратов выражения приведены в таблице 3.

Обратим внимание на различные значения коэффициентов при длине маршрута  $l$  (таблица 3). Значит, несмотря на наличие такого инфраструктурного фактора, как нормированная плата общесетевому перевозчику ОАО

Таблица 1

Стоимости перевозок контейнера от станций-складов до припортовых станций

Оператор п/с	№ п/п	Станции погрузки	Туапсе		Новорос-сийск		Темрюк		Ейск		Азов		Таганрог		Заречная		Кизитеринка		Махачкала	
			l, км	с, тыс. руб.	l, км	с, тыс. руб.	l, км	с, тыс. руб.	l, км	с, тыс. руб.	l, км	с, тыс. руб.	l, км	с, тыс. руб.	l, км	с, тыс. руб.	l, км	с, тыс. руб.	l, км	с, тыс. руб.
ПАО «ТрансКонтейнер»	1	Краснодар-Сорт.	152	27,68	140	26,44	189	28,34	251	29,32	311	30,36	366	32,99	289	29,96	294	29,96	786	40,91
	2	Ростов-Товарный	441	33,9	391	32,54	424	33,9	181	28,2	49	23,92	77	24,6	11	23,23	11	23,23	905	42,66
	3	Владикавказ	626	36,99	728	39,73	777	41,11	701	41,76	718	38,22	769	41,11	696	38,22	701	38,22	410	33,65
	4	Скачки	454	34,38	556	36,6	605	36,76	529	37,43	546	37,44	597	36,76	524	37,02	529	37,02	432	33,94

Таблица 2

Ранжирование стоимостей перевозок для станций отправления (погрузки)

Краснодар-Сортировочный			Ростов-Товарный			Владикавказ			Скачки		
n	l	c	n	l	c	n	l	c	n	l	c
2	140	26,44	7	11	23,23	9	410	33,65	9	432	33,94
1	152	27,68	8	11	23,23	1	626	36,99	1	454	34,38
3	189	28,34	5	49	23,92	7	696	38,22	7	524	37,02
4	251	29,32	6	77	24,6	4	701	41,76	4	529	37,43
7	289	29,96	4	181	28,2	8	701	38,22	8	529	37,02
8	294	29,96	2	391	32,54	5	718	38,22	5	546	37,44
5	311	30,36	3	424	33,9	2	728	39,73	2	556	36,6
6	366	32,99	1	441	33,9	6	769	41,11	6	597	36,76
9	786	40,91	9	905	42,66	3	777	41,11	3	605	36,76

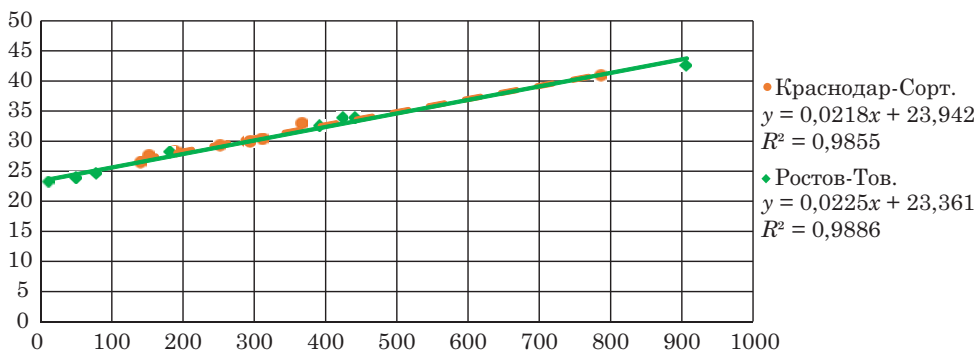


Рис. 2. Графическое изображение зависимостей стоимости перевозки от станций Краснодар-Сортировочный и Ростов-Товарный

«РЖД», стоимостная неоднородность перевозок среди станций погрузки проявляется не только в коэффициентах, относящихся к затратам на начально-конечные операции, но и в затратах, относящихся к движеническим операциям. Для операторской компании это служит показателем неполной сформированности единых для всего рассматриваемого региона регуляторов транспортных издержек.

Дальнейшие исследования проводятся в два этапа.

На первом этапе создаётся предварительная геометрическая евклидова модель (ГЕМ) рынка контейнерных перевозок, в которой все маршруты передвижения вагонов предполагаются прямолинейными и их длинами являются расстояния между двумя рассматриваемыми станциями [12]. Приведённые в таблице 3 аналитические выражения стоимостей перевозок позволяют создать такую модель для соответствующего олиго(дуо)полистического рынка в регионе в рамках рассматриваемой компании. Станции погрузки при этом можно рассматривать как

участников олигополии, между которыми реализуется один из видов внутрифирменной конкуренции, то есть происходит неантагонистическое соперничество с целью наиболее эффективно использования ресурсов компании.

С целью условной привязки геометрической модели к рассматриваемому региону введём на плоской географической карте прямоугольную декартову систему координат с началом, например, в месте расположения станции погрузки Краснодар-Сортировочный. Такой выбор не имеет принципиального значения, и мы исходим из того, что эта станция Краснодарского железнодорожного узла находится на пересечении важнейших маршрутов перевозочного процесса и доминирует среди рассматриваемых станций погрузки по ёмкости путевого развития. Оси координат расположим в направлениях с запада на восток и с юга на север.

Критерием в ГЕМ, согласно которому осуществляется разграничение «территорий влияния» станций погрузки, является стоимость перевозки грузов от этих станций до мест назначения. В работах

Таблица 3  
Выражения зависимости стоимости перевозки контейнера от длины маршрута следования

Краснодар-Сортировочный $c = 23,94 + 0,021l$	Ростов-Товарный $c = 23,36 + 0,022l$	Владикавказ $c = 25,02 + 0,020l$	Скачки $c = 27,11 + 0,017l$
---	---	-------------------------------------	--------------------------------

[9, 10] для случая дуополии показано, что «территории влияния» субъектов перевозочного процесса оказываются разделёнными между собой частью некоторой алгебраической линии, которая имеет 4-й порядок. Если  $q_1$  и  $q_2$  – средние транспортные издержки рассматриваемых субъектов, а  $L$  – расстояние между их местоположениями, то неявное уравнение этой линии имеет вид:

$$\begin{aligned} & (q_1^2 - q_2^2)^2 x^4 + 2(q_1^2 L + q_2^2 L)(q_1^2 - q_2^2)x^3 + \\ & + 2(q_1^2 - q_2^2)x^2 y^2 - \\ & - 2\left(2q_2^2 p^2 - \left(\frac{q_1^2 L^2}{4} - \frac{q_2^2 L^2}{4} - p^2\right)(q_1^2 - q_2^2) - \right. \\ & \left. - (q_1^2 L + q_2^2 L)^2\right)x^2 + 2(q_1^2 L + q_2^2 L)(q_1^2 - q_2^2)xy^2 + \\ & + 2\left(2q_2^2 Lp^2 + \left(\frac{q_1^2 L^2}{4} - \frac{q_2^2 L^2}{4} - p^2\right)(q_1^2 L + q_2^2 L)\right)x + \\ & + (q_1^2 - q_2^2)^2 y^4 - \\ & - 2\left(2q_2^2 p^2 - \left(\frac{q_1^2 L^2}{4} - \frac{q_2^2 L^2}{4} - p^2\right)(q_1^2 - q_2^2)\right)y^2 - \\ & - q_2^2 p^2 L^2 + \left(\frac{q_1^2 L^2}{4} - \frac{q_2^2 L^2}{4} - p^2\right)^2 = 0. \end{aligned} \quad (1)$$

В работе [10] показано, что линия в формуле (1) является овалом Декарта и в частных случаях вырождения может оказаться улиткой Паскаля. Относительно коэффициента  $p$  в уравнении (1) поясним, что в настоящей работе он равен положительной разности коэффициентов  $p_k$ , взятых из выражений зависимости стоимости перевозки (см. таблицу 3):

$$c_k(l) = p_k + q_k l \quad (k = 1, \dots, 4), \quad (2)$$

которые относятся к двум рассматриваемым станциям погрузки.

Из изложенного следует, что в рассматриваемой ситуации граница «территории влияния» каждой из четырёх станций погрузки состоит из трёх фрагментов. Каждый из этих фрагментов является некоторой частью овала Декарта, разделяющего «территории влияния» двух станций погрузки, рассматриваемых независимо от остальных (случай дуополии). На рис. 3 и 4 приведены «территории влияния» станций Краснодар-Сортировочный и Ростов-Товарный.

Территориальная картина олигополистического рынка контейнерных перевозок, формируемого четырьмя рассматриваемыми станциями погрузки, приведена на рис. 5.

Оказывается, что в «территорию влияния» станции погрузки Скачки не попадает ни одна из рассматриваемых в настоящей работе припортовых станций, а в «территорию влияния» станции Владикавказ попадает лишь станция Махачкала.

При построении ГЕМ рынка грузовых перевозок не учитывается то обстоятельство, что соединение между парами железнодорожных станций в существующей транспортной сети происходит не только по прямолинейным отрезкам пути. Поэтому не исключается некоторая корректировка этой «идеальной» модели.

Результатом второго этапа построения является маршрутизационная модель рынка грузовых перевозок. В первую очередь следует обратить внимание на станции назначения, которые в ГЕМ оказались близкими к линиям раздела «территорий влияния» станций погрузки. В рассматриваемой ситуации таковой является припортовая станция Ейск, попавшая на «территорию влияния» станции Ростов-Товарный и оказавшаяся расположенной близко к «территории влияния» станции Краснодар-Сортировочный (рис. 4 и 5).

Проведём дополнительные вычисления в соответствии с реально существующей транспортной сетью. Длина кратчайшего железнодорожного маршрута от станции Краснодар-Сортировочный до станции Ейск составляет 251 км, а от станции Ростов-Товарный – 181 км. Пользуясь найденными выражениями зависимости стоимости  $c$  (тыс. руб.) перевозки от длины  $l$  (км) пройденного маршрута (см. таблицу 3), соответственно получим:

$$c_{к.с.} = 23,94 + 0,021 \cdot 251 = 29,211$$

и

$$c_{р.т.} = 23,36 + 0,022 \cdot 181 = 27,342.$$

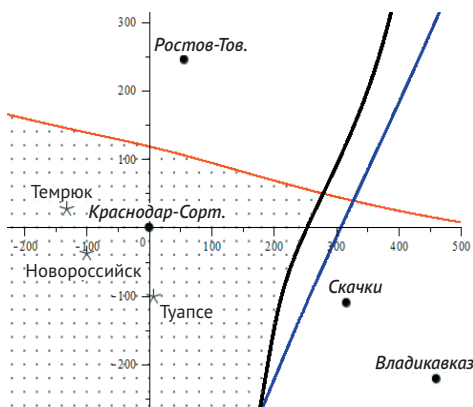


Рис. 3. «Территория влияния» станции Краснодар-Сортировочный

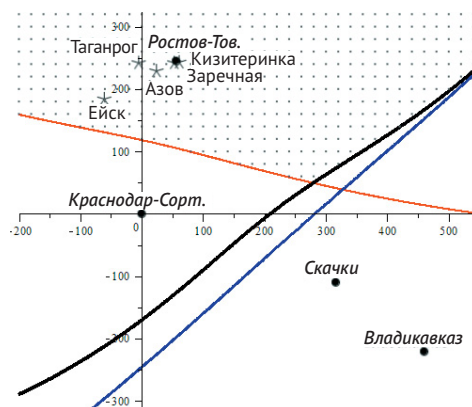


Рис. 4. «Территория влияния» станции Ростов-Товарный

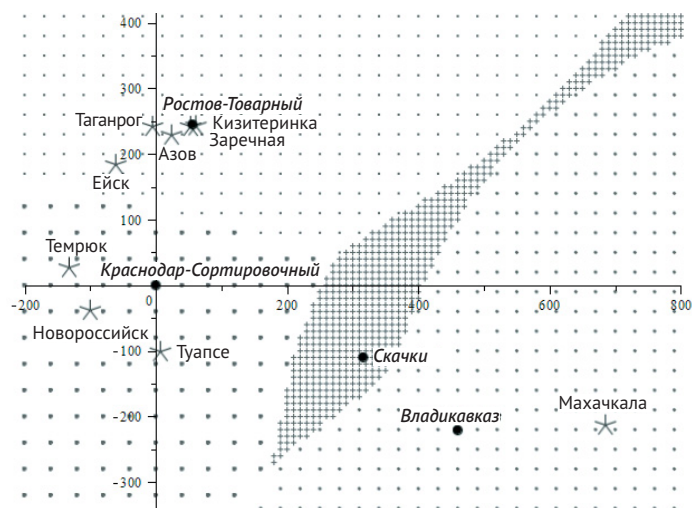


Рис. 5. Геометрическая евклидова модель олигополистического транспортного рынка контейнерных перевозок

В результате оказывается, что

$$c_{Р.Т.} = 27,342 < 29,211 = c_{К.-С.}$$

Итак, корректировки не требуется, и расположение припортовой станции Ейск по отношению к станциям погрузки Краснодар-Сортировочный и Ростов-Товарный в маршрутизационной модели остаётся тем же, что и в ГЕМ.

В результате исследований показано, что применение метода эконо-

мико-географического разграничения положения подвижного состава операторской компании при перевозке грузов от сетевых станций погрузки до припортовых станций выгрузки, позволяющего получить маршрутизационную схему западной части Северо-Кавказского транспортного региона, дает возможность повысить эффективность функционирования и конкурентоспособность компании на рынке контейнерных перевозок. ■



### Литература

1. Rakhmangulov A., Kolga A., Osintsev N., Stolpovskikh I., Sladkowski A. Mathematical model of optimal empty rail car distribution at railway transport nodes // *Transport Problems*. 2014. Vol. 9. № 3. P. 125–132. ISSN 1896-0596 (Print).
2. Zhang Y.Z., Wang J.Q. and Hu Z.A., Optimization Model of Transportation Product Selection for Railway Express Freight. *Journal of Engineering Science and Technology Review*. 9 (5). 2016. P. 104–110. ISSN 1791-2377.
3. Юрина О.П., Соснин С.Ю. Особенности эффективного использования частного вагонного парка операторской компании // *Вестник УрГУПС*. 2017. № 1. С. 84–90. ISSN 2079-0392.
4. Ботвин Д. В. Совершенствование организации контейнерных перевозок на основе консолидации участников транспортного процесса : дисс. ... на соиск. уч. ст. канд. техн. наук. Ростов-на-Дону : РГУПС. 2012. 199 с.
5. Сай В.М., Кочнева Д.И. Моделирование интегральной системы взаимоотношений в региональной сети контейнерных перевозок // *Вестник УрГУПС*. 2016. № 4. С. 65–75. ISSN 2079-0392.
6. ПАО «ТрансКонтейнер». URL: <http://www.trcont.ru/ru/> (дата обращения: 28.09.2017).
7. Числов О.Н., Богачев В.А., Задорожний В.М., Богачев Т.В. Распределение вагонопотоков операторской компании в припортовых транспортных узлах методом экономико-географического разграничения // *Известия ПГУПС*. 2016. № 3. С. 302–313. ISSN (Print) 1815-588X.
8. Крынский Х.Э. Математика для экономистов. М. : Статистика, 1970.
9. Богачев В.А., Богачев Т.В. Использование информационных технологий при изучении математических дисциплин // *Комплексный анализ. Теория операторов. Математическое моделирование*. – Владикавказ : Изд-во ВНИЦ РАН, 2006. ISBN 5-93000-037-9.
10. Богачев В.А., Богачев Т.В. Классические алгебраические кривые четвертого порядка, возникающие в маркетинговых исследованиях // *Исследования по дифференциальным уравнениям и математическому моделированию*. – Владикавказ, 2009. С. 26–30. ISBN 978-5-93000-063-4.
11. ПАО «ТрансКонтейнер». Расчёт стоимости контейнерной перевозки. URL: <https://isales.trcont.ru/> (дата обращения: 28.09.2017).
12. Задорожний В.М. Анализ системы управления порожними вагонопотоками в современных условиях // *Труды РГУПС*. 2015. № 4. С. 42–50. ISSN 1818-5509.

### Literature

1. Rakhmangulov A., Kolga A., Osintsev N., Stolpovskikh I., Sladkowski A. Mathematical model of optimal empty rail car distribution at railway transport nodes // *Transport Problems*. 2014. Vol. 9. № 3. Pp. 125–132. ISSN 1896-0596 (Print).
2. Zhang Y.Z., Wang J.Q. and Hu Z.A., Optimization Model of Transportation Product Selection for Railway Express Freight. *Journal of Engineering Science and Technology Review*. 9 (5). 2016. Pp. 104–110. ISSN 1791-2377.
3. Yurina O.P., Sosnin S. Yu. Features of efficient use of private wagon fleet of the operator company [Osobennosti ehffektivnogo ispol'zovaniya privatnogo vagonnogo parka operatorskoj kompanii] // *Herald of USURT*. 2017. № 1. Pp. 84–90. ISSN 2079-0392.
4. Botsvin D.V. Improvement of the organization of container transportations on the basis of consolidation of participants in the transport process [Sovershenstvovanie organizacii kontejnernih perevozok na osnove konsolidacii uchastnikov transportnogo processa]: Thesis for a scientific article. PhD in tech. sciences. Rostov-on-Don : RSURT. 2012. 199 p.
5. Sai V.M., Kochneva D.I. Modeling of the integrated system of relationships in a regional network of container transportations [Modelirovanie integral'noj sistemy vzaimootnoshenij v regional'noj seti kontejnernih perevozok] // *Herald of USURT*. 2016. № 4. Pp. 65–75. ISSN 2079-0392.
6. PJSC Trans Container [PAO «TransKontejner»]. URL: <http://www.trcont.ru/ru/> (reference date: 28.09.2017).
7. Chislov O.N., Bogachev V.A., Zadorozhny V.M., Bogachev T.V. Distribution of carload streams of the operator company in the port transportation junctions by the method of economic-geographical differentiation [Raspredelenie vagonopotovok operatorskoj kompanii

- v priportovykh transportnykh uzлах metodom ehkonomiko-geograficheskogo razgranicheniya] // Tidings PSURT. 2016. № 3. Pp. 302–313. ISSN (Print) 1815-588X.
8. Krynsky H. E. Mathematics for economists [Matematika dlya ehkonomistov]. M. : Statistics, 1970.
  9. Bogachev V.A, Bogachev T.V. The use of information technology in the study of mathematical disciplines // Complex analysis. The theory of operators. Math modeling [Ispol'zovanie informacionnykh tekhnologij pri izuchenii matematicheskikh disciplin // Kompleksnyj analiz. Teoriya operatorov. Matematicheskoe modelirovanie]. – Vladikavkaz : Publishing House of the All-Russian Scientific Center of the Russian Academy of Sciences, 2006. ISBN 5-93000-037-9.
  10. Bogachev V.A, Bogachev T.V. Classical algebraic curves of the fourth order arising in marketing research // Studies on differential equations and mathematical modeling [Klassicheskie algebraicheskie krivye chetvertogo poryadka, voznikayushchie v marketingovykh issledovaniyakh // Issledovaniya po differencial'nykh uravneniyam i matematicheskomu modelirovaniyu]. – Vladikavkaz, 2009. Pp. 26–30. ISBN 978-5-93000-063-4.
  11. PJSC Trans Container. Calculation of the cost of container transportation [PAO «TransKontejner». Raschyot stoimosti kontejnernoj perevozki]. URL: <https://isales.trcont.ru/> (reference date: 28.09.2017).
  12. Zadorozhny V.M. Analysis of the control system for empty wagons in modern conditions [Analiz sistemy upravleniya porozhnimi vagonopotokami v sovremennykh usloviyakh] // Proceedings of RSURT. 2015. № 4. Pp. 42–50. ISSN 1818-5509.

*Статья сдана в редакцию 30 сентября 2017 года*

УДК 656.078.1

*И. Н. Боднар*

## Оптимальное регулирование порожних вагонопотоков в условиях множества собственников железнодорожного подвижного состава

UDC 656.078.1

*I. N. Bodnar*

## Optimal adjusting of empty car traffic volume in the condition of great number of owners of railway rolling stock

### Аннотация

Рассматривается применение транспортной задачи относительно трех целей, стоящих перед участниками рынка грузовых перевозок, – грузоотправителем, оператором подвижного состава и перевозчиком.

Основная цель оператора подвижного состава при предоставлении подвижного состава – максимизация получаемой прибыли. Перевозчик при оказании базовой услуги – перевозки – ставит целью также максимизировать собственную прибыль в условиях ограниченной пропускной способности участков. Грузоотправитель стремится минимизировать расходы на перевозку грузов.

Исходя из заданных условий рассматриваются частные случаи применения классической транспортной задачи, в которой традиционно минимизируется только критерий стоимости.

Подробно рассмотрен процесс постановки транспортной задачи для всех трех случаев. Выведены формулы решения транспортной задачи по критериям стоимости, прибыли оператора подвижного состава и прибыли перевозчика. Задача оптимального регулирования порожнего подвижного состава во всех трех случаях решена с помощью программного средства MathCAD.

По результатам расчетов сделаны выводы о различиях между полученными решениями по трем критериям, сформулированы предложения по дальнейшим направлениям исследования данной проблемы.

**Ключевые слова:** оператор, грузовладелец, перевозчик, нетяговый подвижной состав, вагон, транспортная задача.

DOI: 10.20291/2079-0392-2017-4-22-32

### Annotation

Is Examined application of a transport task of relatively three aims standing before the participants of market of freight transportations, – by a shipper, operator of rolling stock and ferryman.

A primary purpose of operator of rolling stock at the grant of rolling stock is maximization of the got income. A ferryman at providing of base service is transportations – puts an aim also to maximize an own income in the conditions of a limit carrying capacity of areas.

A shipper aims to minimize charges on transportation of loads. Coming from the set terms the special cases of application of a classic transport task the measure of value is traditionally minimized in that only are examined.

In detail the process of raising of a transport task is considered for all three cases. The formulas of decision of a transport task are shown out on the measures of value, income of operator of rolling stock and income of ferryman. The task of the optimal adjusting of empty rolling stock in all three cases is decided by means of programmatic means of MathCAD.

On results calculations drawn conclusion about distinctions between the got decisions on three criteria, set forth suggestion on further directions of research of this problem.

**Keywords:** operator, owner of goods, ferryman, unhauling rolling stock, carriage, transport task.

DOI: 10.20291/2079-0392-2017-4-22-32

Статья рекомендована к опубликованию [С. А. Плахотичем], канд. техн. наук, доцентом; Уральский государственный университет путей сообщения; Екатеринбург, Россия. E-mail: SPLahotich@usurt.ru.

Иван Николаевич Боднар, начальник Нижнетагильского агентства фирменного транспортного обслуживания – структурного подразделения Свердловского территориального центра фирменного транспортного обслуживания – структурного подразделения Центра фирменного транспортного обслуживания – филиала ОАО «РЖД»; Нижний Тагил, Россия. E-mail: cicero.ekb@gmail.com.

The article is recommended for publication by [S. A. Plahotich], PhD in tech. sciences, associate professor; Ural State University of Railway Transport; Yekaterinburg, Russia. E-mail: SPLahotich@usurt.ru.

Ivan Nikolaevich Bodnar, the head of the Nizhny Taghil agency of the brand transport service – the structural subdivision of the Sverdlovsk territorial center for proprietary transport services – the structural unit of the Center for Corporate Transport Services branch of OJSC «Russian Railways», Nizhny Tagil, Russia. E-mail: cicero.ekb@gmail.com.

В результате структурной реформы железнодорожного транспорта [1] создано ОАО «РЖД» и либерализован рынок операторов подвижного состава. Однако ОАО «РЖД» является единственным владельцем инфраструктуры и перевозчиком (за исключением ряда малодеятельных линий), хотя не тяговый подвижной состав (кроме вагонов для удовлетворения собственной потребности в перевозках) ему не принадлежит. С другой стороны, на рынке существуют более 1850 собственников нетягового подвижного состава, несмотря на то, что первоначально подвижной состав ОАО «РЖД» поделен преимущественно между двумя дочерними компаниями [2, 3].

Такое разделение сделало услугу перевозки фактически двухсоставной, сильно усложнив: теперь перевозчик – единоличный владелец всего подвижного состава, а сами вагоны – лишь тара. Перевозчик содержит инфраструктуру и предоставляет грузоотправителям услугу локомотивной тяги, а операторы своевременно подсылают порожний подвижной состав.

На сегодня и операторы зависят от перевозчика, и перевозчик не может без операторов выполнять перевозки. Кроме того, перевозчик утратил и возможность публичности договора перевозки в том случае, если подвижной состав не будет обеспечен самими грузоотправителями – фактически перевозчик уже не может оказать услугу перевозки самостоятельно, без привлечения других компаний.

В результате перед участниками перевозочного процесса встает задача оптимального регулирования вагонопотоков с учетом их индивидуальных целей и имеющихся в распоряжении ресурсов [4].

На железнодорожном транспорте для составления схем движения порожних вагонов давно используются результаты, получаемые при решении классической транспортной задачи [5–9].

Транспортную задачу в новых условиях функционирования парка подвиж-

ного состава железных дорог России и стран СНГ решали по критерию стоимости с учетом «своих» и «чужих» вагонов [10, 11].

Сейчас же решение о передвижении порожних вагонов принимается не единолично перевозчиком, а операторами подвижного состава. При традиционном решении транспортной задачи для регулирования порожних вагонов подвижной состав выступал в качестве обезличенной тары одного собственника. В настоящее время потребность грузовладельцев в порожних вагонах под погрузку удовлетворяет большое число независимых собственников вагонного парка, что заставляет по-новому взглянуть на постановку транспортной задачи.

#### **Оптимальное регулирование порожних вагонопотоков по критерию прибыли оператора подвижного состава**

В сложившихся условиях взаимодействия участников перевозочного процесса каждый преследует собственные интересы при регулировании порожних вагонопотоков. Так, оператор подвижного состава будет стремиться к отправке принадлежащих ему порожних вагонов под такую погрузку, которая обеспечит ему максимальную прибыль. В таком случае принципиально важны критерии:

- расстояние перевозки максимальное;
- тарифный класс груза наибольший;
- расстояние от станции дислокации порожнего вагона до станции погрузки вагона минимальное.

Рассмотрим транспортную задачу по критерию прибыли оператора подвижного состава. Имеется  $m$  станций отправления  $(A_1, A_2, \dots, A_m)$  с наличием полувагонов оператора  $l$   $(a_1, a_2, \dots, a_m)$ ,  $n$  станций назначения  $(B_1, B_2, \dots, B_n)$  с заявками на перевозку груза в полувагонах  $(b_1, b_2, \dots, b_n)$ , а также  $l$  станций доставки грузов  $(D_1, D_2, \dots, D_l)$ , куда должно быть доставлено  $d_1, d_2, \dots, d_l$

груженных вагонов соответственно. Известны стоимости перевозки порожнего вагона  $C_{jk}^{\text{гр}}$  из каждой станции отправления  $A_i$  на каждую станцию назначения  $B_j$ , а также стоимости перевозки груженого вагона  $C_{jk}^{\text{гр}}$  с каждой станции отправления  $B_j$  на каждую станцию назначения  $D_k$ .

Цель решения задачи – максимизация суммарной прибыли оператора вне зависимости от количества задействованных в перевозке порожних вагонов и количества удовлетворенных заявок на перевозку.

Пусть  $x_{ij}$  – количество порожних вагонов, перевозимых со станции  $A_i$  на станцию  $B_j$ . Единичные стоимости перевозки порожних вагонов между станциями отправления и назначения обозначим матрицей  $C^{\text{пор}}$  с элементами  $c_{ij}^{\text{пор}}$  (1):

$$C^{\text{пор}} = \begin{pmatrix} c_{11}^{\text{пор}} & c_{12}^{\text{пор}} & \dots & c_{1n}^{\text{пор}} \\ c_{21}^{\text{пор}} & c_{22}^{\text{пор}} & \dots & c_{2n}^{\text{пор}} \\ \dots & \dots & \dots & \dots \\ c_{m1}^{\text{пор}} & c_{m2}^{\text{пор}} & \dots & c_{mn}^{\text{пор}} \end{pmatrix}. \quad (1)$$

Пусть  $y_{jk}$  – количество груженных вагонов, перевозимых со станции  $B_j$  на станцию  $D_k$ . Единичные стоимости перевозки собственных груженных вагонов между станциями отправления  $B_j$  и станциями назначения  $D_k$  обозначим матрицей  $C^{\text{гр}}$  с элементами  $c_{jk}^{\text{гр}}$  (2):

$$C^{\text{гр}} = \begin{pmatrix} c_{11}^{\text{гр}} & c_{12}^{\text{гр}} & \dots & c_{1l}^{\text{гр}} \\ c_{21}^{\text{гр}} & c_{22}^{\text{гр}} & \dots & c_{2l}^{\text{гр}} \\ \dots & \dots & \dots & \dots \\ c_{n1}^{\text{гр}} & c_{n2}^{\text{гр}} & \dots & c_{nl}^{\text{гр}} \end{pmatrix}. \quad (2)$$

Способ расчета доходов и расходов оператора при различных формах правовых отношений между оператором и грузоотправителем приведен в [12]. Предположим, что оператор  $I$  предоставляет свои вагоны по договору оказания услуг с грузоотправителем. Тогда для определения доходов оператора необходимо учитывать также стоимость перевозки груженных вагонов инвентарного парка между станциями

отправления  $B_j$  и станциями назначения  $D_k$ , которую мы обозначим матрицей  $C^{\text{гр.инв}}$  с элементами  $c_{jk}^{\text{гр.инв}}$  (3):

$$C^{\text{гр.инв}} = \begin{pmatrix} c_{11}^{\text{гр.инв}} & c_{12}^{\text{гр.инв}} & \dots & c_{1l}^{\text{гр.инв}} \\ c_{21}^{\text{гр.инв}} & c_{22}^{\text{гр.инв}} & \dots & c_{2l}^{\text{гр.инв}} \\ \dots & \dots & \dots & \dots \\ c_{n1}^{\text{гр.инв}} & c_{n2}^{\text{гр.инв}} & \dots & c_{nl}^{\text{гр.инв}} \end{pmatrix}. \quad (3)$$

Итак, доход оператора от предоставления вагона под погрузку на станции  $B_j$  назначением на станцию  $D_k$  можно определить по формуле (4):

$$S_{jk}^x = (c_{jk}^{\text{гр.инв}} - c_{jk}^{\text{гр}})k_o, \quad (4)$$

где  $k_o$  – коэффициент, учитывающий организационные особенности перевозки грузов в вагонах оператора, примем равным 1,15.

В то же время расходы оператора равны плате за перевозку вагона со станции  $A_i$  на станцию  $B_j$ , то есть равны  $c_{ij}^{\text{пор}}$ .

Тогда целевая функция прибыли оператора имеет вид (5):

$$f = \sum_{j=1}^n \sum_{k=1}^l ((c_{jk}^{\text{гр.инв}} - c_{jk}^{\text{гр}})k_o \cdot y_{jk}) - \sum_{i=1}^m \sum_{j=1}^n (c_{ij}^{\text{пор}} \cdot x_{ij}) \rightarrow \max. \quad (5)$$

При этом действуют следующие ограничения. С каждой станции отправления  $A_i$  не может быть отправлено больше порожних вагонов, чем имеется там (6):

$$\sum_{j=1}^n x_{ij} \leq a_i, \quad (i = 1, 2, \dots, m). \quad (6)$$

На каждую станцию назначения  $B_j$  не может быть привезено больше порожних вагонов, чем определено заявкой (7):

$$\sum_{i=1}^m x_{ij} \leq b_j, \quad (j = 1, 2, \dots, n). \quad (7)$$

С каждой станции отправления  $B_j$  не может быть отправлено больше груженных вагонов, чем определено заявкой (8):

$$\sum_{k=1}^l y_{jk} \leq b_j, \quad (j=1,2,\dots,n). \quad (8)$$

На каждую станцию назначения  $D_k$  не может быть привезено больше груженых вагонов, чем определено заявкой (9):

$$\sum_{k=1}^n y_{jk} \leq d_k, \quad (k=1,2,\dots,l). \quad (9)$$

Будем исходить из предположения, что оператор  $I$  не может обеспечить всех грузоотправителей сети, поэтому баланс порожних вагонов и заявок не соблюдается (10):

$$\sum_{i=1}^m a_i \leq \sum_{j=1}^n b_j. \quad (10)$$

Таким образом, модель задачи распределения порожних вагонов открытая.

Однако баланс запасов груза на станциях погрузки и его потребности на станциях выгрузки соблюдается, то есть выполняется равенство (11):

$$\sum_{k=1}^l d_k = \sum_{j=1}^n b_j. \quad (11)$$

Наконец, все элементы матриц  $X$  и  $Y$  неотрицательны, то есть (12)–(13):

$$x_{ij} \geq 0, \quad (i=1,2,\dots,m, j=1,2,\dots,n), \quad (12)$$

$$y_{jk} \geq 0, \quad (i=1,2,\dots,m, k=1,2,\dots,l). \quad (13)$$

Полная постановка задачи имеет вид (14):

$$\left\{ \begin{aligned} f &= \sum_{j=1}^n \sum_{k=1}^l ((c_{jk}^{\text{гр.инв}} - c_{jk}^{\text{гр}})k_o \cdot y_{jk}) - \\ &- \sum_{i=1}^m \sum_{j=1}^n (c_{ij}^{\text{пор}} \cdot x_{ij}) \rightarrow \max; \\ \sum_{j=1}^n x_{ij} &\leq a_i, \quad (i=1,2,\dots,m); \\ \sum_{i=1}^n x_{ij} &\leq b_j, \quad (j=1,2,\dots,n); \\ \sum_{k=1}^l y_{jk} &\leq b_j, \quad (j=1,2,\dots,n); \\ \sum_{k=1}^n y_{jk} &\leq d_k, \quad (k=1,2,\dots,l); \\ \sum_{i=1}^m a_i &\leq \sum_{j=1}^n b_j; \\ \sum_{k=1}^l d_k &= \sum_{j=1}^n b_j; \\ x_{ij} &\geq 0, \quad (i=1,2,\dots,m, j=1,2,\dots,n); \\ y_{jk} &\geq 0, \quad (i=1,2,\dots,m, k=1,2,\dots,l). \end{aligned} \right. \quad (14)$$

Решим задачу оптимального регулирования порожних вагонопотоков по критерию прибыли оператора подвижного состава. Схема участка приведена на рис. 1.

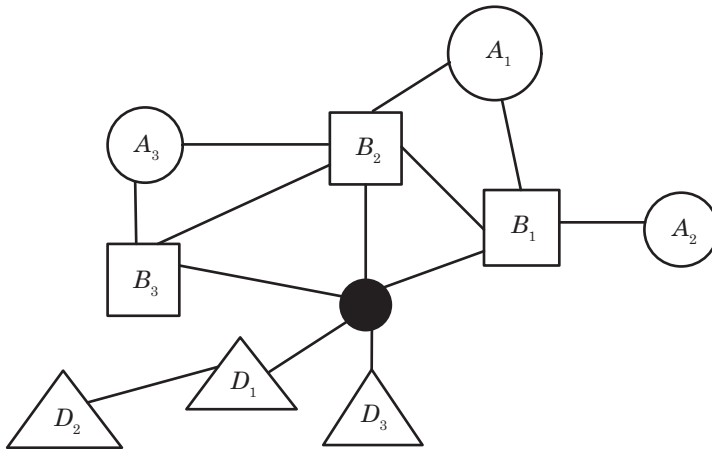


Рис. 1. Схема для решения задачи оптимального регулирования порожних вагонопотоков по критерию прибыли оператора подвижного состава



Исходные данные для решения задачи:

$$m = 3; a_1 = 40; a_2 = 45; a_3 = 20;$$

$$n = 3; b_1 = 68; b_2 = 126; b_3 = 117;$$

$$l = 3; d_1 = 94; d_2 = 126; d_3 = 91.$$

$$C^{\text{пор}} = \begin{pmatrix} 3853,88 & 2683,32 & 4430,9 \\ 8661,2 & 10271,9 & 9615,82 \\ 4695,22 & 4124,1 & 3298,1 \end{pmatrix};$$

$$C^{\text{гр}} = \begin{pmatrix} 23511,5 & 0 & 0 \\ 0 & 28645,68 & 0 \\ 18311,24 & 0 & 21065,36 \end{pmatrix};$$

$$C^{\text{гр.инв.}} = \begin{pmatrix} 32281,26 & 0 & 0 \\ 0 & 40123,54 & 0 \\ 24325,7 & 0 & 28535,94 \end{pmatrix};$$

$$k_0 = 1,15.$$

Для решения данной транспортной задачи использовалась программное средство MathCAD.

Решение:

$$X = \begin{pmatrix} 0 & 40 & 0 \\ 45 & 0 & 0 \\ 0 & 0 & 20 \end{pmatrix}, \quad Y = \begin{pmatrix} 45 & 0 & 0 \\ 0 & 40 & 0 \\ 0 & 0 & 20 \end{pmatrix}.$$

### Оптимальное регулирование порожних вагонопотоков по критерию стоимости

Рассмотрим постановку классической транспортной задачи применительно к проблеме оптимального регулирования порожних вагонопотоков по критерию стоимости. Такая задача встает перед грузоотправителем при поиске порожних вагонов для удовлетворения собственной потребности в перевозке в случае множества операторов подвижного состава.

Будем исходить из условий, что совокупное предложение подвижного состава множеством операторов превышает спрос на него, а затраты на доставку порожних вагонов со станций их

дислокации на станции погрузки ложатся на грузоотправителей. Также в целях упрощения будем считать, что все операторы подвижного состава предоставляют вагоны с одинаковым коэффициентом изменения стоимости  $k_0$ , а значит, для грузоотправителя не имеет значения, вагоны какого именно оператора он получит под погрузку, т.к. расходы на перевозку груженых вагонов со станций погрузки на станции выгрузки для всех случаев будут одинаковыми. В этой ситуации грузоотправитель заинтересован только в минимизации издержек на доставку порожних вагонов на станции погрузки, а парк подвижного состава множества операторов для грузоотправителя является условно обезличенным.

Тогда имеется  $m$  станций отправления ( $A_1, A_2, \dots, A_m$ ) с наличием полувагонов множества операторов ( $a_1, a_2, \dots, a_m$ ) и  $n$  станций назначения ( $B_1, B_2, \dots, B_n$ ) с заявками на перевозку груза в полувагонах ( $b_1, b_2, \dots, b_n$ ). Известны стоимости перевозки порожнего вагона  $C_{ij}^{\text{пор}}$  с каждой станции отправления  $A_i$  на каждую станцию назначения  $B_j$ .

Целью решения задачи является минимизация суммарных расходов при условии удовлетворения всех заявок.

Пусть  $x_{ij}$  – количество порожних вагонов, перевозимых со станции  $A_i$  на станцию  $B_j$ . Единичные стоимости перевозки порожних вагонов между станциями отправления и назначения обозначим матрицей  $C^{\text{пор}}$  с элементами  $C_{ij}^{\text{пор}}$  (15):

$$C^{\text{пор}} = \begin{pmatrix} c_{11}^{\text{пор}} & c_{12}^{\text{пор}} & \dots & c_{1n}^{\text{пор}} \\ c_{21}^{\text{пор}} & c_{22}^{\text{пор}} & \dots & c_{2n}^{\text{пор}} \\ \dots & \dots & \dots & \dots \\ c_{m1}^{\text{пор}} & c_{m2}^{\text{пор}} & \dots & c_{mn}^{\text{пор}} \end{pmatrix}. \quad (15)$$

Тогда целевая функция будет иметь вид (16):

$$f(X) = \sum_{i=1}^m \sum_{j=1}^n c_{ij}^{\text{пор}} \cdot x_{ij} \rightarrow \min. \quad (16)$$

При этом действуют следующие ограничения. С каждой станции отправления  $A_i$  не может быть отправлено

больше порожних вагонов, чем имеется там (17):

$$\sum_{j=1}^n x_{ij} \leq a_i, \quad (i=1,2,\dots,m). \quad (17)$$

На каждую станцию назначения должно быть привезено количество вагонов, равное заявке (18):

$$\sum_{i=1}^m x_{ij} = b_j, \quad (j=1,2,\dots,n). \quad (18)$$

Баланс порожних вагонов и заявок не соблюдается (19):

$$\sum_{j=1}^n a_i \geq \sum_{j=1}^n b_j. \quad (19)$$

Таким образом, модель задачи распределения порожних вагонов остается открытой.

Наконец, все элементы матрицы  $X$  неотрицательны, то есть (20):

$$x_{ij} \geq 0, \quad (i=1,2,\dots,m, j=1,2,\dots,n). \quad (20)$$

Полная постановка задачи имеет вид (21):

$$\left\{ \begin{array}{l} f(X) = \sum_{i=1}^m \sum_{j=1}^n c_{ij}^{\text{пор}} \cdot x_{ij} \rightarrow \min; \\ \sum_{j=1}^n x_{ij} \leq a_i, \quad (i=1,2,\dots,m); \\ \sum_{i=1}^m x_{ij} = b_j, \quad (j=1,2,\dots,n); \\ \sum_{i=1}^m a_i \geq \sum_{j=1}^n b_j; \\ x_{ij} \geq 0, \quad (i=1,2,\dots,m, j=1,2,\dots,n). \end{array} \right. \quad (21)$$

Решим задачу оптимального регулирования порожних вагонопотоков по критерию стоимости. Схема участка приведена на рис. 2.

Исходные данные для решения задачи:

$$m = 3; a_1 = 120; a_2 = 177; a_3 = 51;$$

$$n = 3; b_1 = 68; b_2 = 126; b_3 = 117.$$

$$C^{\text{пор}} = \begin{pmatrix} 3853,88 & 2683,32 & 4430,9 \\ 8661,2 & 10271,9 & 9615,82 \\ 4695,22 & 4124,1 & 3298,1 \end{pmatrix}.$$

Решение:

$$X = \begin{pmatrix} 0 & 120 & 0 \\ 68 & 6 & 66 \\ 0 & 0 & 51 \end{pmatrix}.$$

### Оптимальное регулирование порожних вагонопотоков по критерию прибыли перевозчика с учетом пропускной способности сети

Перевозчик в лице ОАО «РЖД» обладает рядом средств регулирования порожнего подвижного состава: управление парком привлеченных вагонов (КП), конвенционные запреты, отказы в согласовании заявок согласно Уставу железнодорожного транспорта Российской Федерации, однако их недостаточно для эффективного управления эксплуатационной обстановкой на сети железных дорог.

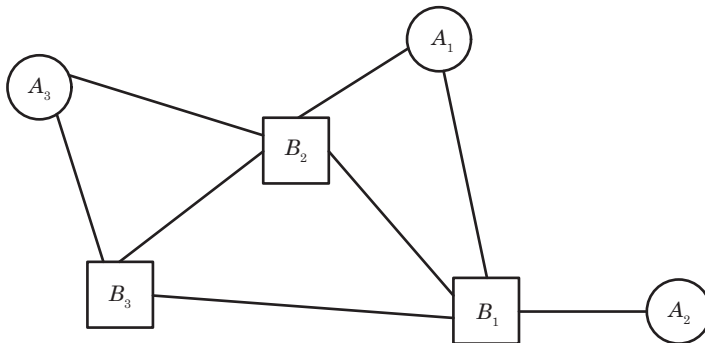


Рис. 2. Схема для решения задачи оптимального регулирования порожних вагонопотоков по критерию стоимости

Тем не менее интересен с научной точки зрения вопрос: какой способ регулировки порожних вагонопотоков оптимален в условиях функционирования операторов подвижного состава? Критерием оптимальности здесь является прибыль перевозчика при условии, что вагонопоток по всем участкам сети не превысит их пропускную способность. Также будем исходить из условия, что на сети наблюдается профицит подвижного состава.

Рассмотрим постановку транспортной задачи по критерию прибыли оператора подвижного состава. Имеется  $m$  станций отправления ( $A_1, A_2, \dots, A_m$ ) с наличием полувагонов множества операторов ( $a_1, a_2, \dots, a_m$ ),  $n$  станций назначения ( $B_1, B_2, \dots, B_n$ ) с заявками на перевозку груза в полувагонах ( $b_1, b_2, \dots, b_n$ ), а также  $l$  станций доставки грузов ( $D_1, D_2, \dots, D_l$ ), куда должно быть доставлено  $d_1, d_2, \dots, d_l$  груженых вагонов соответственно. Известны стоимости перевозки порожнего вагона из каждой станции отправления  $A_i$  на каждую станцию назначения  $B_j$ , а также стоимости перевозки груженого вагона  $C_{jk}^{гп}$  с каждой станции отправления  $B_j$  на каждую станцию назначения  $D_k$ .

Целью решения задачи является максимизация суммарной прибыли перевозчика вне зависимости от количества задействованных в перевозке порожних вагонов.

Пусть  $x_{ij}$  – количество порожних вагонов, перевозимых со станции  $A_i$  на станцию  $B_j$ . Единичные стоимости перевозки порожних вагонов между станциями отправления и назначения обозначим матрицей  $C^{пор}$  с элементами  $c_{ij}^{пор}$  (22):

$$C^{пор} = \begin{pmatrix} c_{11}^{пор} & c_{12}^{пор} & \dots & c_{1n}^{пор} \\ c_{21}^{пор} & c_{22}^{пор} & \dots & c_{2n}^{пор} \\ \dots & \dots & \dots & \dots \\ c_{m1}^{пор} & c_{m2}^{пор} & \dots & c_{mn}^{пор} \end{pmatrix}. \quad (22)$$

Пусть  $y_{jk}$  – количество груженых вагонов, перевозимых со станции  $B_j$  на станцию  $D_k$ . Единичные стоимости перевозки собственных груженых

вагонов между станциями отправления  $B_j$  и станциями назначения  $D_k$  обозначим матрицей  $C^{гп}$  с элементами  $c_{jk}^{гп}$  (23):

$$C^{гп} = \begin{pmatrix} c_{11}^{гп} & c_{12}^{гп} & \dots & c_{1l}^{гп} \\ c_{21}^{гп} & c_{22}^{гп} & \dots & c_{2l}^{гп} \\ \dots & \dots & \dots & \dots \\ c_{n1}^{гп} & c_{n2}^{гп} & \dots & c_{nl}^{гп} \end{pmatrix}. \quad (23)$$

Расходы перевозчика на перемещение вагонов между станциями  $A_i$  и  $B_j$  будем определять методом единичных расходных ставок (ЕРС) по формуле (24):

$$C_{ije} = e_{nt} \frac{L_{ij}}{S_B} + e_{nS} L_{ij} + a + e_{pl} q_{6p} L_{ij}, \quad (24)$$

где  $L_{ij}$  – расстояние между станциями  $A_i$  и  $B_j$ , км;  $S_B$  – среднесуточный пробег вагона на сети ОАО «РЖД», км/сут;  $e_{nt}$  – стоимость одних вагоно-суток, руб./сут;  $e_{nS}$  – стоимость одного вагоно-километра, руб./км;  $a$  – стоимость одной грузовой отправки, руб.;  $e_{pl}$  – стоимость одного тонно-километра брутто, руб./т·км;  $q_{6p}$  – масса вагона брутто, т.

Расходы перевозчика на перемещение вагонов между станциями  $B_j$  и  $D_k$  также можно определить по формуле (24) с подстановкой соответствующих значений.

Таким образом, прибыль перевозчика можно определить как разницу между суммой доходов и суммой расходов на перемещение порожних и груженых вагонов по формуле (25):

$$f = \sum_{i=1}^m \sum_{j=1}^n \left( \left( c_{ij}^{пор} - e_{nt} \frac{L_{ij}}{S_B} - e_{nS} L_{ij} - a - e_{pl} q_{6p} L_{ij} \right) \cdot x_{ij} \right) + \sum_{j=1}^n \sum_{k=1}^l \left( \left( c_{jk}^{гп} - e_{nt} \frac{L_{jk}}{S_B} - e_{nS} L_{jk} - a - e_{pl} q_{6p} L_{jk} \right) \cdot y_{jk} \right) \rightarrow \max. \quad (25)$$

При этом действуют следующие ограничения. С каждой станции от-

правления  $A_i$  не может быть отправлено больше порожних вагонов, чем имеется там (26):

$$\sum_{j=1}^n x_{ij} \leq a_i, \quad (i=1,2,\dots,m). \quad (26)$$

На каждую станцию назначения  $B_j$  не может быть привезено больше порожних вагонов, чем определено заявкой (27):

$$\sum_{i=1}^m x_{ij} \leq b_j, \quad (j=1,2,\dots,n). \quad (27)$$

С каждой станции отправления  $B_j$  не может быть отправлено больше груженых вагонов, чем определено заявкой (28):

$$\sum_{k=1}^l y_{jk} \leq b_j, \quad (j=1,2,\dots,n). \quad (28)$$

На каждую станцию назначения  $D_k$  не может быть привезено больше груженых вагонов, чем определено заявкой (29):

$$\sum_{j=1}^n y_{jk} \leq d_k, \quad (k=1,2,\dots,l). \quad (29)$$

Баланс порожних вагонов и заявок не соблюдается (30):

$$\sum_{i=1}^m a_i \geq \sum_{j=1}^n b_j. \quad (30)$$

Таким образом, модель задачи распределения порожних вагонов остается открытой.

Однако баланс запасов груза на станциях погрузки и его потребности на станциях выгрузки соблюдается, то есть выполняется равенство (31):

$$\sum_{k=1}^l d_k = \sum_{j=1}^n b_j. \quad (31)$$

Наконец, все элементы матриц  $X$  и  $Y$  неотрицательны, то есть (32)–(33):

$$x_{ij} \geq 0, \quad (i=1,2,\dots,m, j=1,2,\dots,n), \quad (32)$$

$$y_{jk} \geq 0, \quad (i=1,2,\dots,m, k=1,2,\dots,l). \quad (33)$$

Также необходимо учесть ограничения пропускной способности железнодорожной сети. Обозначим максимальное число тонно-километров перевозки,

которое способен обеспечить перевозчик  $N_{\text{проп}}$ . Введем условие ограничения пропускной способности (34):

$$\begin{aligned} & \sum_{i=1}^m \sum_{j=1}^n (x_{ij} \cdot L_{ij} \cdot q_n) + \\ & + \sum_{j=1}^n \sum_{k=1}^l (y_{jk} \cdot L_{jk} \cdot q_{\text{бр}}) \leq N_{\text{проп}}, \end{aligned} \quad (34)$$

где  $q_n$  – масса вагона брутто, т.

Полная постановка задачи имеет вид (35):

$$\left\{ \begin{aligned} f = & \sum_{i=1}^m \sum_{j=1}^n \left( \left( c_{ij}^{\text{пор}} - e_{nt} \frac{L_{ij}}{S_a} - e_{ns} L_{ij} - a - e_{pl} q_{\text{бр}} L_{ij} \right) \cdot x_{ij} \right) + \\ & + \sum_{j=1}^n \sum_{k=1}^l \left( \left( c_{jk}^{\text{гр}} - e_{nt} \frac{L_{jk}}{S_a} - e_{ns} L_{jk} - a - e_{pl} q_{\text{бр}} L_{jk} \right) \cdot y_{jk} \right) \rightarrow \max; \\ & \sum_{j=1}^n x_{ij} \leq a_i, \quad (i=1,2,\dots,m); \\ & \sum_{i=1}^m x_{ij} \leq b_j, \quad (j=1,2,\dots,n); \\ & \sum_{k=1}^l y_{jk} \leq b_j, \quad (j=1,2,\dots,n); \\ & \sum_{j=1}^n y_{jk} \leq d_k, \quad (k=1,2,\dots,l); \\ & \sum_{i=1}^m a_i \geq \sum_{j=1}^n b_j; \\ & \sum_{k=1}^l d_k = \sum_{j=1}^n b_j; \\ & x_{ij} \geq 0, \quad (i=1,2,\dots,m, j=1,2,\dots,n); \\ & y_{jk} \geq 0, \quad (i=1,2,\dots,m, k=1,2,\dots,l); \\ & \sum_{i=1}^m \sum_{j=1}^n (x_{ij} \cdot L_{ij} \cdot q_n) + \\ & + \sum_{j=1}^n \sum_{k=1}^l (y_{jk} \cdot L_{jk} \cdot q_{\text{бр}}) \leq N_{\text{проп}}. \end{aligned} \right. \quad (35)$$

Решим задачу оптимального регулирования порожних вагонопотоков по критерию прибыли перевозчика. Схема участка приведена на рис. 1.

Исходные данные для решения задачи:

$$m = 3; a_1 = 120; a_2 = 177; a_3 = 51;$$

$$n = 3; b_1 = 68; b_2 = 126; b_3 = 117;$$

$$l = 3; d_1 = 94; d_2 = 126; d_3 = 91.$$

$$C^{\text{пор}} = \begin{pmatrix} 3853,88 & 2683,32 & 4430,9 \\ 8661,2 & 10271,9 & 9615,82 \\ 4695,22 & 4124,1 & 3298,1 \end{pmatrix}.$$

$$C^{\text{гр}} = \begin{pmatrix} 23511,5 & 0 & 0 \\ 0 & 28645,68 & 0 \\ 18311,24 & 0 & 21065,36 \end{pmatrix}.$$

$$L_{ij} = \begin{pmatrix} 378 & 250 & 472 \\ 932 & 1182 & 1075 \\ 472 & 392 & 329 \end{pmatrix}.$$

$$L_{jk} = \begin{pmatrix} 145 & 217 & 152 \\ 179 & 251 & 214 \\ 70 & 142 & 105 \end{pmatrix}.$$

$$S_b = 219 \text{ км/сут}; e_{nt} = 55,68 \text{ руб./сут}; \\ e_{nS} = 2,271 \text{ руб./км}; a = 638,21 \text{ руб.}; \\ e_{pl} = 0,0073 \text{ руб./т} \cdot \text{км}; q_{\text{бр}} = 82 \text{ т}; q_n = 22 \text{ т}.$$

Решение:

$$X = \begin{pmatrix} 17 & 0 & 66 \\ 0 & 126 & 51 \\ 51 & 0 & 0 \end{pmatrix}, Y = \begin{pmatrix} 68 & 0 & 0 \\ 0 & 126 & 0 \\ 26 & 0 & 91 \end{pmatrix}.$$

В результате исследования, изложенного в данной статье, решена транспортная задача для трех частных случаев: а) удовлетворение целей оператора подвижного состава, б) удовлетворение целей грузоотправителя и в) удовлетворение целей перевозчика. Выведены формулы решения транспортной задачи по критериям стоимости, прибыли оператора и прибыли перевозчика. Задача оптимального регулирования порожнего подвижного состава во всех трех случаях решена с помощью программного средства MathCAD.

Как видно из результатов расчетов по трем различным критериям, баланс

интересов всех трех сторон не соблюдается. Если учесть, что условный оператор, принятый для расчетов в задаче оптимального регулирования порожних вагонопотоков по критерию «прибыль оператора подвижного состава», обладает недостаточным парком подвижного состава для удовлетворения имеющихся потребностей, то можно считать, что его интересы в целом совпадают с интересами грузоотправителей. Это логично, так как и те, и другие заинтересованы в осуществлении перевозок с минимальной стоимостью порожнего пробега.

В то же время решения, полученные по критерию «стоимость» и по критерию «прибыль перевозчика», отличны; это говорит, что на сегодняшний день цели операторов, грузоотправителей и перевозчика разнонаправлены.

В результате при принятии решений о передислокации порожнего подвижного состава и подачей под погрузку оператор руководствуется в первую очередь увеличением своей прибыли, пренебрегая интересами перевозчика как партнера и грузоотправителя как клиента. Это может привести как у увеличению транспортной составляющей в себестоимости продукции, что ведет к неоправданному росту издержек в экономике и невывозу продукции вообще. Фактически, часть грузоотправителей в условиях профицита подвижного состава на сети остается необеспеченной подвижным составом из-за своего географического положения, тарифного класса производимой продукции и других параметров.

Аналогично перевозчик в условиях динамичного принятия операторами решений о передислокации подвижного состава не имеет возможности долгосрочного прогнозирования вагонопотоков, а значит, испытывает затруднения при планировании ремонтных «окон», содержании локомотивного парка и обеспечении провозной способности участков.

Требуется принципиально иной критерий решения транспортной задачи по оптимизации порожних вагонопотоков,

который позволит учесть интересы всех участников рынка грузовых перевозок. Для решения данной задачи предлагается разработать механизм регулирования порожних вагонопотоков с участием

регулятора, целью которого было бы соблюдение баланса между расходами и доходами участников перевозочного процесса и гарантированное выполнение заявок на перевозку. ■

#### Литература

1. О программе структурной реформы на железнодорожном транспорте: постановление правительства РФ от 18.05.2001 № 384 / Собрание законодательства Российской Федерации от 4 июня 2001 г., № 23, ст. 2366.
2. Хусаинов Ф. И. Экономические реформы на железнодорожном транспорте : монография. – М. : Изд. дом «Наука», 2012. 219 с. ISBN 978-5-9902332-1-8.
3. Хусаинов Ф. И. Экономические проблемы управления вагонными парками // Экономика железных дорог. 2010. № 11. С. 63–77.
4. Боднар И. Н. Вопросы параметризации системы функционирования операторов железнодорожного подвижного состава // Транспорт Урала. 2013. № 3 (38). С. 60–83. ISSN 1815-9400.
5. Нестеров Е. П. Транспортные задачи линейного программирования. М. : «Транспорт». 1971. 2-е изд. 216 с.
6. Буянова В. К., Сметанин А. И., Архангельский Е. В. Система организации вагонопотоков. М. : Транспорт, 1988. С. 223. ISBN 5-277-00111-5.
7. Левин Д. Ю. Диспетчерские центры и технология управления перевозочным процессом : учебное пособие. – М. : Маршрут, 2005. 760 с. ISBN 5-89035-274-1.
8. Левин Д. Ю. Теория оперативного управления перевозочным процессом : монография. – М. : ГОУ «Учебно-методический центр по образованию на железнодорожном транспорте», 2008. 625 с. ISBN 978-5-89035-547-8.
9. Кудрявцев В. А. Управление движением на железнодорожном транспорте : учеб. пособие для вузов ж.-д. транспорта. – М. : Маршрут, 2003. 200 с. ISBN 5-89035-116-8.
10. Управление парками вагонов стран СНГ и Балтии на железных дорогах России : учебное пособие для вузов железнодорожного транспорта / В. И. Ковалев, С. Ю., Елисеев, А. Т. Осминин и др. ; под ред. В. И. Ковалева, С. Ю. Елисеева, Е. Ю. Мокейчева. – М. : Маршрут, 2006. 245 с. ISBN 5-89035-321-7.
11. Ковалев В. И., Дяттерев В. Г., Елисеев С. Ю., Осминин А. Т. Оптимальное по стоимости управление вагонопотоками с учетом наличия в рабочем парке вагонов, принадлежащих России, странам СНГ и Балтии // Вестник ВНИИЖТ. 2002. № 3. С. 7–10. ISSN 2223-9731.
12. Боднар И. Н. Анализ схем взаимодействия участников перевозочного процесса // Вестник УрГУПС. 2012. № 4 (16). С. 116–128. ISSN 2079-0392.

#### Literature

1. About the program of structural reform on a railway transport [O programme strukturnoj reformy na zheleznodorozhnom transporte] : decision of government Russian Federation from 18.05.2001 № 384 / Collection of legislation of Russian Federation dated June 4, 2001, № 23, art. 2366.
2. Husainov F. I. Economic reforms on a railway transport [Ehkonomichekies reformy na zheleznodorozhnom transporte] : monograph. – M. : of Publ. house «Science», 2012. 219 p. ISBN 978-5-9902332-1-8.
3. Husainov F. I. Economic problems of management by carriage parks [EHkonomichekies problemy upravleniya vagonnymi parkami] // Economy railways. 2010. № 11. Pp. 63–77.
4. Bodnar I. N. Questions of parametrization of the system of functioning of operators of railway rolling stock [Voprosy parametrizacii sistemy funkcionirovaniya operatorov zheleznodorozhnogo podvizhnogo sostava] // are Transport of Ural. 2013. № 3 (38). Pp. 60–83. ISSN 1815-9400.
5. Nesterov E. P. the Transport tasks of the linear programming [Transportnye zadachi linejnogo programmirovaniya]. M. : «Transport». 1971. 2 th publ. 216 p.



6. Buyanova V. K., Smetanin A. I., Arkhangel'skii E. V. System of organization of car traffic volume [Sistema organizacii vagonopotovok]. M. : Transport, 1988. p. 223. ISBN 5-277-00111-5.
7. Levin D. Yu. Controller's centers and management technology by a vehicular process [Dispetcherskie centry i tekhnologiya upravleniya perevozochnym processom] : tutorial. – M. : Route, 2005. 760 p. ISBN 5-89035-274-1.
8. Levin D. Yu.. Theory of operative management by a vehicular process [Teoriya operativnogo upravleniya perevozochnym processom]: monograph. – M. : State educational institution the «Educational and Methodological center by education on a railway transport», 2008. 625 p. ISBN 978-5-89035-547-8.
9. Kudryavtsev V. A. Management by motion on the railway transport [Upravlenie dvizheniem na zheleznodorozhnom transporte]: of studies. manual for institutions of higher learning of railways transport. – M. : Route, 2003. 200 p. ISBN 5-89035-116-8.
10. Management by the parks of carriages of countries the CIS and Baltic on the railways of Russia [Upravlenie parkami vagonov stran SNG i Baltii na zheleznih dorogah Rossii]: tutorial for institutions of higher learning of railway transport / V. I. Kovalev, S. Yu., Eliseev, A. T. Osminin and other; edited by Kovaleva, S. Yu. Eliseeva, E. Yu. Mokeichev. – M. : Route, 2006. 245 p. ISBN 5-89035-321-7.
11. Kovalev V. I., Dyagterev V. G., Eliseev S. Yu., Osminin A. T. Optimal on a cost management of car traffic volume taking into account a presence in the working park of carriages, belonging to Russia, countries the CIS and Baltic [Optimal'noe po stoimosti upravlenie vagonopotokami s uchetom nalichiya v rabochem parke vagonov, prinaldezhashchih Rossii, stranam SNG i Baltii] // Herald of VNIIZhT. 2002. № 3. Pp. 7–10. ISSN 2223-9731.
12. Bodnar I. N. An analysis of charts of co-operation of participants of vehicular process [Analiz skhem vzaimodejstviya uchastnikov perevozochnogo processa] // Herald of USURT. 2012. № 4 (16). Pp. 116–128. ISSN 2079-0392.

*Статья сдана в редакцию 23 сентября 2017 года*

# Механика машин и роботов

УДК 629.423 +06

П. В. Губарев, Н. Р. Тептиков, Д. В. Глазунов

## Методика расчета ресурса силовых диодов выпрямительных установок электроподвижного состава

UDC 629.423 +06

P. V. Gubarev, N. R. Teptikov, D. V. Glazunov

## Methods of calculation of resource power diodes rectifier units vacuum the whole

### Аннотация

Определено, что объективным методом определения остаточного ресурса силовых диодов выпрямительных установок электроподвижного состава служит оценка их теплового сопротивления. Разработана методика определения остаточного ресурса диодов при капитальном и депоовском ремонтах электроподвижного состава. Для исследования влияния теплового сопротивления силового диода на срок его службы на базе Ростовского электровагоноремонтного завода проведены испытания выпрямительных установок электровагонов с пробегами до 3,5 млн км. Контроль температуры полупроводниковой структуры и корпуса диодов осуществлялся контактным способом с помощью электронного термометра с использованием термопар. На основании полученных экспериментальных данных определения теплового сопротивления диодов, снятых с электровагонов с различным пробегом, определена зависимость теплового сопротивления полупроводниковых диодов преобразователей электровагонов от наработки. Выведено выражение для определения ресурса силовых полупроводниковых приборов преобразователей локомотивов. Такая методика может быть применена и к управляемым силовым тиристорам преобразователей подвижного состава.

**Ключевые слова:** методика расчета, остаточный ресурс, тепловое сопротивление, силовой диод, выпрямительная установка, электроподвижной состав.

DOI: 10.20291/2079-0392-2017-4-33-38

### Annotation

It is Certain that the objective method of determination of remaining resource of power diodes of rectifying installations of electro-movable composition the estimation of their thermal resistance serves as. Methodology of determination of remaining resource of diodes is worked out at capital and depot repairs of electro-movable composition. For research of influence of thermal resistance of power diode for the term of his service on the basis of the Rostov Electric Locomotive Repair Plant the tests of rectifying installations of electric locomotives are conducted with runs to 3,5 million km Control of temperature of semiconductor structure and corps of diodes came true by a pin method by means of electronic thermometer with the use of thermocouples. On the basis of the obtained experimental data of determination of thermal resistance of the diodes taken off from electric locomotives with a different run, dependence of thermal resistance of semiconductor diodes of transformers of electric locomotives is certain on work. Expression for determination of resource of power semiconductor devices of transformers of locomotives is shown out. Such methodology can be applied and to the guided power thrusters of transformers of rolling stock.

**Keywords:** methodology of calculation, remaining resource, thermal resistance, power diode, rectifying installation, electro-movable composition.  
DOI: 10.20291/2079-0392-2017-4-33-38

*Статья рекомендована к опубликованию Н.В. Булановым, д-р физ.-мат. наук, профессором; Уральский государственный университет путей сообщения; Екатеринбург, Россия. E-mail: NBulanov@usurt.ru.*

**Павел Валентинович Губарев**, канд. техн. наук, Ростовский государственный университет путей сообщения; г. Ростов-на-Дону, Россия. E-mail: pavel.gubarev@yandex.ru.

**Николай Романович Тептиков**, канд. техн. наук; Ростовский государственный университет путей сообщения; г. Ростов-на-Дону, Россия. E-mail: teptikov@yandex.ru.

**Дмитрий Владимирович Глазунов**, канд. техн. наук, Ростовский государственный университет путей сообщения; г. Ростов-на-Дону, Россия. E-mail: gdv\_cmko@rgups.ru.

*The article is recommended for publication by N.V. Bulanov, DSc in physical and mathematical sciences, professor; Ural State University of Railway Transport; Yekaterinburg, Russia. E-mail: NBulanov@usurt.ru.*

**Pavel Valentinovich Gubarev**, PhD in tech. Sciences, Rostov State Transport University; Rostov-on-Don, Russia. E-mail: pavel.gubarev@yandex.ru.

**Nikolay Romanovich Teptikov**, PhD in tech. sciences; Rostov State Transport University; Rostov-on-Don, Russia. E-mail: teptikov@yandex.ru.

**Dmitry Vladimirovich Glazunov**, PhD in tech. Sciences, Rostov State Transport University; Rostov-on-Don, Russia. E-mail: gdv\_cmko@rgups.ru.

При работе в ключевых режимах силовых полупроводниковых приборов – диодов, транзисторов, тиристоров и других – в их внутренних структурах происходит выделение активной мощности (мощности потерь в ключевом элементе). Общие потери в ключевом элементе при работе в периодическом импульсном режиме разделяются на статические и динамические; эти потери вызывают нагрев полупроводниковой структуры прибора. Температура нагрева сверх допустимого значения выводит его из строя [1]. Надежная работа прибора определяется не только электрическими параметрами, но и температурой внутренней структуры. Тепловое сопротивление, например, диода ДЛ 153 (ВЛ 200) не должно превышать 0,55 °C/Вт, в противном случае его технические характеристики не отвечают требованиям. Однако если ресурс диода только приближается к нулю, то с помощью действующих методов контроля обнаружить это практически невозможно. Только тепловое сопротивление может определить остаточный ресурс диода и выявить диоды, отработавшие свой ресурс, тем самым предотвращая отказы на линии [2–4].

Для определения остаточного ресурса диодов при капитальном и деповском ремонтах на базе Ростовского электровозоремонтного завода разработана методика расчета ресурса силовых диодов выпрямительных установок электроподвижного состава. Рассмотрим последовательность расчета этой методики. Для исследования влияния теплового сопротивления силового диода на срок его службы проведены испытания выпрямительных установок электровозов с пробегами до 3,5 млн км. Контроль температуры полупроводниковой структуры и корпуса диодов осуществлялся контактным способом с помощью электронного термометра с использованием термопар. В процессе испытаний регистрировались значения температуры структуры, корпуса диода и прямое падение напряжения

на нем. Нагрев диода осуществлялся внутренним током  $I = 100$  А и прекращался при достижении температуры внутренней структуры 140 °C. Результаты измерений заданных параметров и расчеты позволили получить средние значения температуры  $\tau$  и падения напряжения на них  $\Delta U$  для диодов с пробегами  $L$  от 0 до 3,41 млн км.

Поскольку тепловое сопротивление диода определяется в установившемся режиме, то потребовался расчет установившихся значений температуры внутренней структуры, корпуса и падения напряжения на диоде, которые по достижении температуры внутренней структуры 140 °C еще продолжали изменяться. Установившиеся значения рассматриваемых параметров определялись по аналитическим зависимостям. Тепловые потери, возникающие при работе приборов, в основном выделяются в объеме полупроводниковой структуры. От нее тепло проходит через ряд различных материалов (вольфрам, припой, корпус, охладитель) и попадает в окружающую среду. Эти слои материалов осуществляют перепад температур между структурой и окружающей средой.

Параметром, характеризующим тепловые свойства прибора, служит его установившееся тепловое сопротивление:

$$R_B = \frac{\tau_{p-n} - \tau_k}{\Delta P},$$

где  $\tau_{p-n}$  – температура  $p-n$  перехода;  $\tau_k$  – температура корпуса;  $\Delta P$  – мощность потерь, вызывающая нагрев.

Тепловое сопротивление определяется площадью полупроводниковой структуры, качеством паяных соединений и конструкцией корпуса. В процессе эксплуатации силового диода проходит процесс постепенного старения припоя, завершающийся его разрушением и обрывом внутренней цепи прибора. Следовательно, остаточный ресурс полупроводникового преобразователя напрямую зависит от значения

внутреннего установившегося теплового сопротивления.

Исходя из того, что мощность потерь равна

$$\Delta P = \Delta U \cdot I,$$

то для расчета теплового сопротивления необходимо знать четыре величины:  $\tau_{p-n}$ ,  $\tau_k$ ,  $\Delta U$ ,  $I$ .

Измерения температуры корпуса, падения напряжения и тока не вызывают затруднений, а измерение температуры структуры прямым путем невозможно. Для ее определения необходимо найти параметр, который может быть измерен. Таким параметром, как выявлено при проведении экспериментальных исследований, является падение напряжения, имеющее линейную зависимость от температуры структуры.

Для определения установившегося теплового сопротивления диода после трех минут работы используем коэффициент  $K_{R_B} = 2,056$ .

Используем функцию  $R_B = f(\Delta U)$ , предварительно умноженную на  $K_{R_B}$ :

$$R_B^{\infty} = K_{R_B} \cdot R_B = 0,6 \cdot \Delta U_R^{-6,321},$$

где  $\Delta U_K$  — значение падения напряжения на диоде после трех минут работы при токе 100 А.

При определении теплового сопротивления наибольшие затруднения вызывает измерение температуры полупроводниковой структуры диода, которая находится внутри герметизированного корпуса. Однако эксперимент по измерению температур структуры и поверхности диодов показал, что вне зависимости от пробега электровоза разность между температурами структуры и поверхности при приближении температур к установившимся значениям колеблется в пределах 30–37 °С, что позволяет на основании температуры поверхности прогнозировать температуру структуры.

Проверкой теплового сопротивления диодов можно своевременно обнаружить диод с критическим значением

рассматриваемого параметра и этим предотвратить появление в выпрямительной установке диода с обрывом цепи.

Вычисления аналитических зависимостей проводятся для средних значений по трем диодам в пределах одного пробега. Для нескольких формул точная зависимость принимается по наибольшему значению коэффициента корреляции  $r$ . Выбор характера аналитических зависимостей  $\tau(t)$  и  $\Delta U(t)$  производится по первым четырем точкам  $\tau_{нар.ср}$  и  $\Delta U_{ср}^*$  на примере диодов с пробегом 2,4 млн км. Рассчитываются коэффициенты  $A$ ,  $B$ ,  $r$  и сравниваются коэффициенты корреляции, соответствующие разным характерам аналитических кривых.

Для зависимости  $\tau(t)$  наибольший коэффициент корреляции имеет функция

$$y^2 = A + Bx,$$

а для зависимости  $\Delta U(t)$  —

$$\Delta U(t) - y = A + B \ln x.$$

Эти функции выбираются в качестве расчетных, сам расчет коэффициентов  $A$ ,  $B$ ,  $r$  для всех пробегов ведется только для этих функций.

Для определения установившихся температур и падения напряжения рассчитывается постоянная времени нагревания силового диода:

$$T = \frac{C_{\vartheta}}{H},$$

где  $C_{\vartheta}$  — теплоемкость диода,  $\frac{\text{Вт}}{^{\circ}\text{С}}$ ;  $H$  — теплоотдача диода,  $\frac{\text{Вт}}{^{\circ}\text{С}}$ .

Определяется теплоемкость диода:

$$C_{\vartheta} = \frac{m_g}{c_m},$$

где  $m_g$  — масса диода,  $m_g = 62,361$  г;  $c_m$  — удельная теплоемкость меди,

$$c_m = 0,39 \frac{\text{Дж}}{\text{г}^{\circ}\text{С}};$$

\* Нар.ср — наружная средняя; ср — средняя.

$$c_3 = 159,9 \frac{\text{Дж}}{\text{г}^\circ\text{C}}.$$

Определяется теплоотдача диода:

$$H = \frac{1}{R},$$

где  $R$  – тепловое сопротивление поверхности «диод – охлаждающая среда»;

$$R = 1,05 \frac{^\circ\text{C}}{\text{Вт}}.$$

Тогда:

$$H = \frac{1}{1,05} = 0,952 \frac{\text{Вт}}{^\circ\text{C}}.$$

Подставляя полученные данные, можно определить постоянную времени нагревания диода:

$$T = \frac{159,9}{0,952} = 168 \text{ с}.$$

Температура твердого тела

$$\tau = \tau_0 + \tau_{\max} \left( 1 - e^{-\frac{t}{T}} \right).$$

Температура достигает установившегося значения, когда

$$1 - e^{-\frac{t}{T}} = 1.$$

$$\text{При } t = T \quad 1 - e^{-\frac{t}{T}} = 1 - e^{-1} = 0,632.$$

$$\text{При } t = 2T \quad 1 - e^{-\frac{t}{T}} = 1 - e^{-2} = 0,865.$$

$$\text{При } t = 3T \quad 1 - e^{-\frac{t}{T}} = 1 - e^{-3} = 0,95.$$

Следовательно, при  $t = 3T$  температура достигает 95% установившейся, что допустимо для расчетов.

Расчетное время для установившейся температуры:

$$t = 3T = 3 \cdot 168 = 504 \text{ с} = 8,4 \text{ мин}.$$

Для расчетов принимается  $t = 10$  мин

С учетом этой установившейся температуры поверхности структуры и падения напряжения можно определить по следующим формулам:

$$\tau^2 = A + 10B,$$

$$\Delta U = A + B \ln 10.$$

Подставляя ранее рассчитанные значения  $A$  и  $B$  в представленные выше формулы, определяются значения  $\tau_{\text{нар}}^\infty$ ,  $\tau_{\text{вн}}^\infty$ ,  $\Delta U^\infty$ . Рассчитывается тепловое сопротивление диодов по следующей формуле:

$$R_T = \frac{\tau_{\text{вн}}^\infty - \tau_{\text{нар}}^\infty}{\Delta U^\infty i},$$

где  $i$  – ток, протекающий через диод;  $\tau_{\text{нар}}^\infty$  – температура наружной структуры силового диода,  $^\circ\text{C}$ ;  $\tau_{\text{вн}}^\infty$  – температура внутренней структуры силового диода,  $^\circ\text{C}$ ;  $\Delta U^\infty$  – изменение напряжения на диоде, В.

Результаты определения теплового сопротивления диодов, снятых с электровозов с различным пробегом, приведены в таблице.

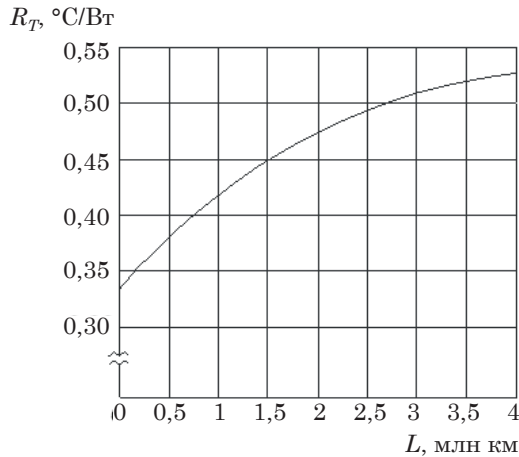
На основании полученных данных построена зависимость теплового сопротивления силового диода преобразовательной установки электровоза от его пробега  $R_T(L)$ , по которой можно судить о дальнейшей пригодности диода к эксплуатации (рис.).

Тепловое сопротивление диода можно измерять прибором, изготовленным по патенту [5].

Анализ работы показывает, что с увеличением пробега электровоза тепловое сопротивление диодов возрастает, но в пределах наблюдаемых пробегов оно не достигает опасных значений.

Результаты измерений теплового сопротивления диодов, полученных с помощью прибора, подтверждают приведенную выше зависимость при погрешности, не превышающей 10%.

Пробег $L$ , млн км	0	0,71	1,19	2,13	2,40	3,41
$R_T$ , $^\circ\text{C}/\text{Вт}$	0,339	0,391	0,413	0,425	0,425	0,432



Зависимость теплового сопротивления полупроводниковых диодов преобразователей электровозов от наработки

Из формулы

$$R_T = \frac{\tau_{\max} \left( 1 - e^{\frac{-t}{T}} \right)}{\Delta U^\infty \cdot i}$$

можно вывести выражение для определения ресурса силовых полупроводниковых приборов преобразователей локомотивов:

$$t = T \ln \left( \frac{\tau_{\max}}{\tau_{\max} - R_T \Delta U^\infty i} \right) k,$$

где  $\tau_{\max}$  – максимальная температура внутренней структуры силового диода ( $\tau_{\max} = 140^\circ\text{C}$ );  $R_T$  – тепловое сопротивление диода ( $0,1\text{--}0,6^\circ\text{C/Вт}$ );  $\Delta U^\infty$  – падение напряжения на диоде ( $\Delta U^\infty = 0,3\text{ В}$ );  $i$  – прямой ток через диод ( $i = 100\text{ А}$ );  $T$  – постоянная времени нагревания диода ( $T = 168\text{ с}$ );  $k$  – поправочный коэффициент ( $k = 4 \cdot 10^6$ ).

Время работы диода –  $t$ , с; максимальный ресурс работы диода по паспорту составляет  $t = 100 \cdot 10^3$  ч, или  $t = 360 \cdot 10^6$  с.

Изменяя тепловое сопротивление диода, можно точно определить ресурс

силовых полупроводниковых приборов преобразователей локомотивов.

В результате применения методики расчета остаточного ресурса силовых диодов выпрямительных установок электроподвижного состава при капитальном и деповском ремонтах электроподвижного состава проведены промышленные испытания выпрямительных установок электровозов с пробегами до 3,5 млн км с целью исследования влияния теплового сопротивления силового диода на срок его службы; установлено предельное значение теплового сопротивления системы «полупроводниковая структура – корпус», равное  $0,55^\circ\text{C/Вт}$ , при котором около 50 % диодов имеют внутренний обрыв цепи; определено, что изменяя тепловое сопротивление диода в пределах от  $0,1$  до  $0,6^\circ\text{C/Вт}$ , можно точно определить ресурс силовых полупроводниковых приборов преобразователей локомотивов.

Такая методика позволяет существенно повысить надежность работы силовых диодов и обеспечить значительный экономический эффект (до 40 %) от своевременной смены диодов. ■

#### Литература

1. Бобровников Я. Ю. Диагностические комплексы электроподвижного состава : учеб. пособие / Я. Ю. Бобровников, А. Е. Стецюк. – Хабаровск : Изд-во ДВГУПС, 2012. 94 с.



2. Васько Н. М. Электровоз ВЛ 80С : руководство по эксплуатации / Н. М. Васько, А. С. Де-вятков, А. Ф. Кучеров и др. – 2-е изд., перераб. и доп. – М. : Транспорт, 1990. 454 с.
3. Дубровский З. М. Грузовые электровозы переменного тока : справочник / З. М. Дубровский, В. И. Попов, Б. А. Тушканов. – М. : Транспорт, 1991. 471 с.
4. Бочаров В. И. Магистральные электровозы. Электрические аппараты, полупроводниковые преобразователи, системы управления // В. И. Бочаров, Н. М. Васько, А. Г. Вольвич, О. Н. Журавлев и др. // под ред. В. И. Бочарова, Б. А. Тушканова. – М. : Энергоатомиздат, 1994. 384 с.
5. 5. Способ определения остаточного ресурса силового диода / пат. 2121153 РФ, МПК G 01R 27/16 / Е. А. Чеботарев, А. П. Захаров, П. В. Губарев, А. А. Резниченко, Е. М. Зимницкий. – № 96121814/09; заявл. 10.11.96; опубл. 27.10.98; Приоритет 10.11.96. – 5 с.

#### Literature

1. Bobrovnikov YA.YU. Diagnostic complexes of electric rolling stock [Diagnosticheskie komplekсы ehlektropodvizhnogo sostava] : tutorial / Ya. Yu. Bobrovnikov, A. E. Stetsyuk. – Khabarovsk : Publishing House of the FENU, 2012. 94 p.
2. Vasko N.M. Electric locomotive VL80S: Operating manual [EHlektrovoz VL80S: Rukovodstvo po ehkspluatatsii] / N.M. Vasko, A. C. Devyatkov, A. F. Kuchеров and others. – 2<sup>nd</sup> ed., processing and additional. – М. : Transport, 1990. 454 p.
3. Dubrovsky, Z. M. Electric cargo electric locomotives [Gruzovye ehlektrovozy peremennogo toka] : Directory / Z. M. Dubrovsky, V. I. Popov, B. A. Tushkanov. – М. : Transport, 1991. 471 p.
4. Bocharov V. I. Trunk electric locomotives. Electrical apparatuses, semiconductor converters, control systems [Magistral'nye ehlektrovozy. EHlektricheskie apparaty, poluprovodnikovye preobrazovateli, sistemy upravleniya] // V. I. Bocharov, N. M. Vasko, A. G. Vol'vich, O. N. Zhuravlev and others // ed. V. I. Bocharov, B. A. Tushkanov. – М. : Energoatomizdat, 1994. 384 p.
5. Method for determining the residual life of the power diode [Sposob opredeleniya ostatochnogo resursa silovogo diode] / Pat. 2121153 RF, IPC G 01 R 27/16 / E. A. Chebotarev, A. P. Zakharov, P. V. Gubarev, A. A. Reznichenko, E. M. Zimnitsky. – № 96121814/09; st. 10.11.96; publ. 27.10.98; Priority 10.11.96. – 5 p.

*Статья сдана в редакцию 15 октября 2017 года*

С. В. Бывальцев

## Система управления выдавливанием композитов волокнутого строения для энергетических комплексов

UDC 539.3:621.7

S. V. Byvaltsev

## System managements squeezing out of compos of fibred structure for power complexes

### Аннотация

Обсуждаются проблемы построения системы управления технологическим процессом прямого выдавливания (прессования) композитов волокнутого строения, применяемых в энергетических комплексах. Сфера применения таких композитов очень широкая и начинается от изготовления самонесущих проводов для линий электропередач в суровых климатических условиях и заканчивая сверхпроводящими кабелями для создания магнитных полей в ускорителях заряженных частиц. К качеству получаемого композита предъявляются высокие требования.

Рассматриваются особенности модернизации системы управления сложного мехатронного объекта на примере гидравлического пресса, служащей для обеспечения условий изотермического выдавливания и уменьшения неоднородности деформации по всей длине композита.

Рассматриваемая система управления строится на основе применения интеллектуальных технологий и имитационного моделирования процесса выдавливания. Экспертная система базируется на основе экспериментально-аналитического метода моделирования процессов обработки металлов давлением.

Предложена технология разработки программного обеспечения для создания интеллектуальной системы управления на базе отладочной платы TMS320C6713.

**Ключевые слова:** система управления, композит, нейронечеткий регулятор, имитационное моделирование, выдавливание.

DOI: 10.20291/2079-0392-2017-4-39-48

### Annotation

The problems of construction of control system come into question by the technological process of the direct squeezing (pressing) out of the compos of fibred structure, applied in power complexes. The purview of such compos is very wide and begins from making of the self-supported wires for the lines of electricity transmissions in severe climatic terms and ending superconducting cables for creation of the magnetic fields in accelerating of the charged particles. To quality of the got compo made great demand. The features of modernization of control system of difficult mechatronic object are examined on the example of hydro hammer and office worker for providing of terms of the isothermal squeezing out and reduction of heterogeneity of deformation on all length of the composite.

Examined control system is built on the basis of application of intellectual technologies and imitation design of process of squeezing out. A consulting model is based on the basis of experimentally-analytical method of design of processes of treatment of metals pressure.

Technology of software development is offered for creation of intellectual control system on the base of debugging pay of TMS320C6713.

**Keywords:** control system, composite, neural-fuzzy regulator, imitation design, squeezing out.

DOI: 10.20291/2079-0392-2017-4-39-48

*Статья рекомендована к опубликованию Б.М. Готтлибом, д-р техн. наук, профессором; Уральский государственный университет путей сообщения; Екатеринбург, Россия. E-mail: BMGottlib@usurt.ru.*

*Сергей Васильевич Бывальцев, канд. техн. наук; научный сотрудник Института машиноведения УрО РАН; Екатеринбург, Россия. E-mail: s\_ikar@mail.ru.*

*The article is recommended for publication by B.M. Gottlieb, DSc in tech. sciences, professor; Ural State University of Railway Transport; Yekaterinburg, Russia. E-mail: BMGottlib@usurt.ru.*

*Sergey Vasilievich Byvaltsev, PhD in tech. sciences; scientific employee of the Institute of Engineering Science of the Ural Branch of the Russian Academy of Sciences; Yekaterinburg, Russia. E-mail: s\_ikar@mail.ru.*

Для построения энергетических комплексов широко применяются композиты волокнистого строения. Одна из основных технологических операций при изготовлении композитов волокнистого строения – выдавливание заготовок на гидравлических прессах [1]. Температурные условия выдавливания композита во многом определяют производительность процесса и качество готовой продукции [2]. Но существующую технологию необходимо совершенствовать за счет реализации изотермического прессования [3]; для построения систем управления используют нейронечеткие технологии [4, 5].

Скорости прессования ограничены предельно допустимой критической температурой в очаге деформации. Скорость прессования регулируется изменением давления в рабочем цилиндре пресса.

Скорость прессования и температура нагрева заготовки и прессового инструмента наряду со степенью деформации металла служат главными факторами, определяющими температуру металла в очаге деформации. Регулирование температуры металла в очаге деформации – основная функция системы управления процессом прессования композита. Аналитические и экспериментальные исследования показали, что основные параметры, определяющие процесс прессования, в том числе температура металла в очаге деформации, суть случайные функции [6].

В настоящее время стабильности измерения температуры прессуемого изделия уделяется недостаточное внимание, а иногда температура вообще не измеряется. Ранее предпринимались попытки построения адаптивных систем управления [7, 8]. Но из-за неточности, а иногда и отсутствия значительной части исходных данных о свойствах материала и параметрах процесса применение адаптивных систем не позволяет обеспечить условия изотермического прессования [7, 9]. Поэтому необходимо построить интеллектуальную систему управления прессовым комплексом.

Для обеспечения режима изотермического прессования необходимо стабилизировать температуру рабочих поверхностей инструмента на определенном уровне и регулировать скорость движения инструмента для обеспечения требуемой скорости деформирования. При имитационном моделировании использовали математические модели прессования композитов, предложенные в работе [10].

Так как модернизируется система управления для уже действующего технологического оборудования, обеспеченного элементарными средствами механизации и автоматизации, то создание системы управления производится в два этапа. На первом на основе математической модели процесса определяется закон изменения скорости прессования и выбирается система датчиков скорости прессования и температуры.

Схема процесса прессования показана на рис. 1.

Распределение температуры заготовки с радиусом  $R_0$  при прессовании рассчитано методом конечных элементов [11]. Определены температура композита на выходе из формирующей части матрицы с углом конусности  $\alpha$  и усилие прессования  $P$  в зависимости от положения пресс-штемпеля и, следовательно, от времени. Получена зависимость изменения скорости прессования  $v_0$ , обеспечивающая изотермические условия. Колебания температуры нагрева слитка в производственных условиях имеют широкий предел, кроме того, существует перепад температуры по радиальной координате  $r$ .

Неравномерность температурного поля по сечению заготовки ( $r$ ,  $z$ ,  $\varphi$ ) и значения максимально допустимой температуры прессования определяют очень узкий температурный интервал рассматриваемого процесса [12]. Значит, стратегия оптимального управления при прессовании обеспечивает минимальный перепад температуры в сечениях заготовки и по ее длине, т. е. стремится к условиям изотермического прессования. При этом вытяжка

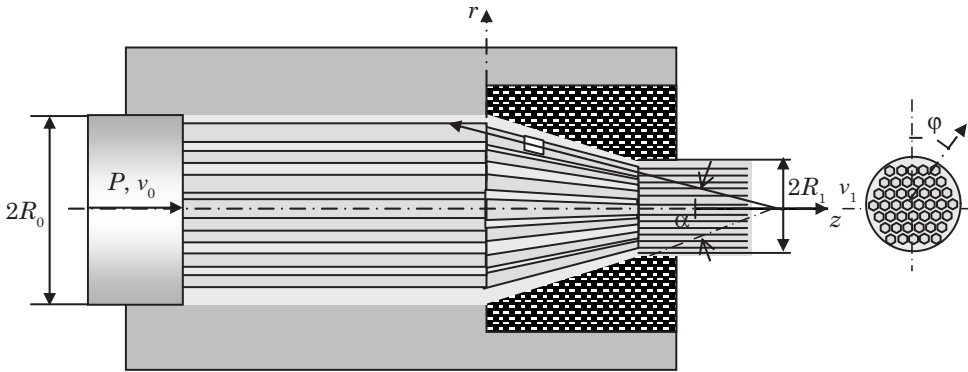


Рис. 1. Схема прямого выдавливания композита

$\mu = (R_0/R_1)^2$  при прессовании берется максимально допустимой для данного оборудования. С учетом неравномерности поля температуры и степени использования ресурса пластичности максимальная вытяжка рассчитывается по [13].

Температура заготовки на выходе из формующей части матрицы зависит от предела текучести прессуемого изделия, исходной температуры нагрева слитка, температуры инструмента и скорости прессования  $v_0, v_1$ .

В режиме ручного управления оценивается практическая возможность будущей автоматизированной системы управления. Убедившись

в работоспособности и целесообразности системы управления, приступают ко второму этапу работы – созданию автоматизированной системы управления.

Для построения системы управления процессом прессования используем иерархическую структуру управления полным технологическим процессом производства композитов [6]. Нижний уровень иерархической структуры определяет качество и производительность всего процесса производства, служа базой для создания систем управления более высокого уровня. Структурная схема интеллектуальной системы управления процессом изотермического прессования показана на рис. 2.

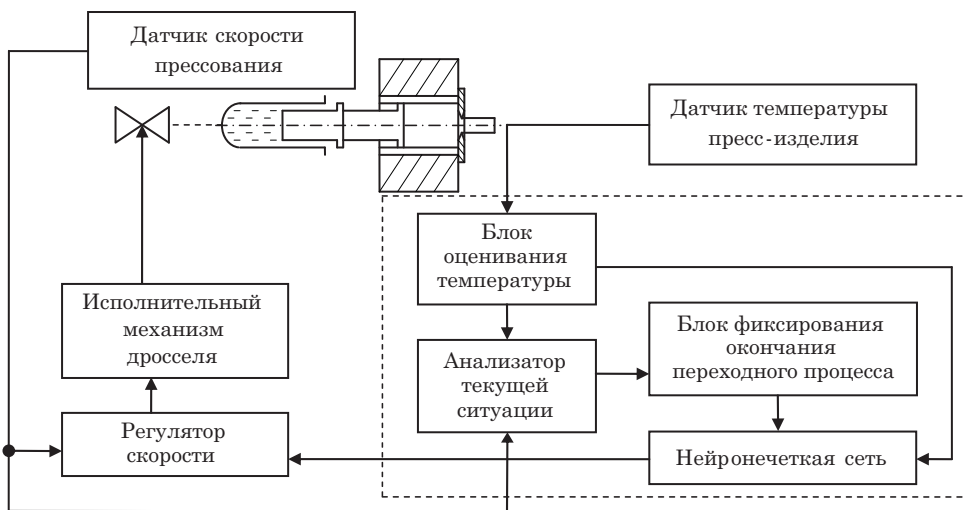


Рис. 2. Структурная схема интеллектуальной системы управления процессом изотермического прессования

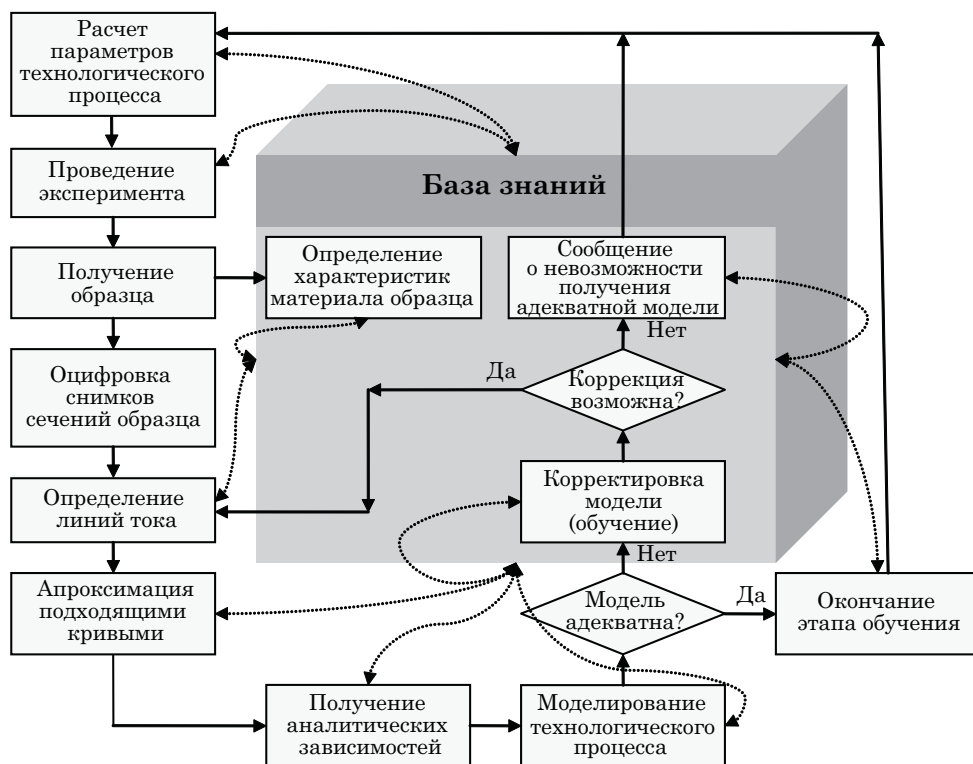


Рис. 3. Структура экспертной системы для моделирования процесса прессования композита

В связи со сложностью рассматриваемого процесса возникает необходимость проведения имитационного моделирования процесса прессования композита. Нами предложена структура экспертной системы (рис. 3). Выходом системы является моделирование прессования композита с заданными параметрами материала и оборудования, на котором производится технологическая операция, с учетом изменения внешней нагрузки и вариации параметров самой системы. При построении базы знаний экспертной системы использовали экспериментально-аналитический метод моделирования процессов обработки металлов давлением [10], дополненный автоматизированной системой обработки снимков шлифов образцов и определением линий тока.

Результаты имитационного моделирования экспертной системы используются для построения системы управления гидравлическим прессом,

реализующим процесс выдавливания волокнистого композита. Общий вид структуры управления процессом прессования композита показан на рис. 4.

В систему управления поступает информация о значении входных параметров – вектор  $X(t)$  ( $t$  – время), выходных

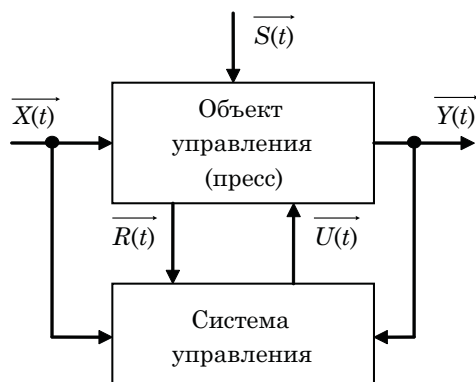


Рис. 4. Структурная схема управления процессом прессования композита

параметров  $Y(t)$ , параметров, характеризующих положение регуляторов  $R(t)$ . Значение случайных возмущений задано вектором  $S(t)$ . Система управления осуществляет регулирование значений выходных параметров  $Y(t)$  на определенном уровне посредством управлений  $U(t)$ .

Основными факторами, влияющими на температуру металла в очаге деформации при прессовании волокнистого композита, являются диаметр и температура контейнера и матрицы, механические и пластические свойства материала волокон и основы, скорость прессования. Перечисленные факторы составляют вектор входных параметров  $X(t)$ .

Часть факторов при управлении процессом прессования нельзя изменить, например, размеры инструмента. Другие можно: температуру инструмента, скорость прессования, а также, отчасти, механические и пластические свойства [14, 15].

Выходным параметром служит температура металла на выходе из формующей части матрицы, характеризующая динамику изменения температуры в очаге деформации (повышение начальной температуры в процессе прессования).

К случайным возмущениям  $S(t)$  можно отнести изменение давления в гидросистеме пресса. Положение регуляторов  $R(t)$  определяется данными о движении инструмента, положении дросселя, управляющего рабочим давлением пресса и др. Регулирующее воздействие приводит к изменению рабочего давления, что влечет за собой и изменение скорости прессования.

Система управления фиксирует температуру инструмента и температуру металла на выходе из формующей части матрицы. Но остается неопределенность в связи со случайным изменением возмущающих воздействий и основных технологических факторов.

Для обеспечения условий изотермического прессования используется регулирование скорости движения

пресс-штемпеля в процессе прессования с использованием обратной связи по основному выходному параметру – температуре пресс-изделия на выходе из матрицы. Система управления в реальном времени определяет момент и величину изменения скорости движения пресс-штемпеля. Эти задачи решаются методами нейроиформатики за счет использования в контуре управления искусственных нейронечетких сетей для выработки управляющих воздействий регулятора гидравлического привода пресса. Прием эффективен для прессов как с аккумуляторным, так и с индивидуальными приводами. В структурную схему управления гидроприводом вводится блок, содержащий нейронечеткую сеть для настройки параметров регулятора. Используются полносвязные трехслойные сети, на входы которых поданы сигналы, определяющие состояние исполнительной системы, а на выходе получены управляющие сигналы.

Для реализации нейронечеткого управления рассмотрены: применение программируемого контроллера и специализированного нейрокомпьютера; построение на основе программной эмуляции на базе персонального компьютера; применение управляющих систем на базе DSP (цифровых сигнальных процессоров), эмулирующих нейронные сети и dpASP (программируемых аналоговых интегральных схем), реализующих топологию нейронечеткой модели.

После анализа возможных вариантов и способов реализации систем управления построен прототип системы управления на базе DSP производства Texas Instruments. Исследования проводились с использованием DSP семейства TMS320C6000 и отладочной платы для TMS320C6713. Структура системы управления представлена на рис. 5.

Основное преимущество такой структуры содержится в интеграции системы управления и разработанных программных комплексов [9]. Для разработки экспертной системы и нейронечеткого регулятора использовали систему



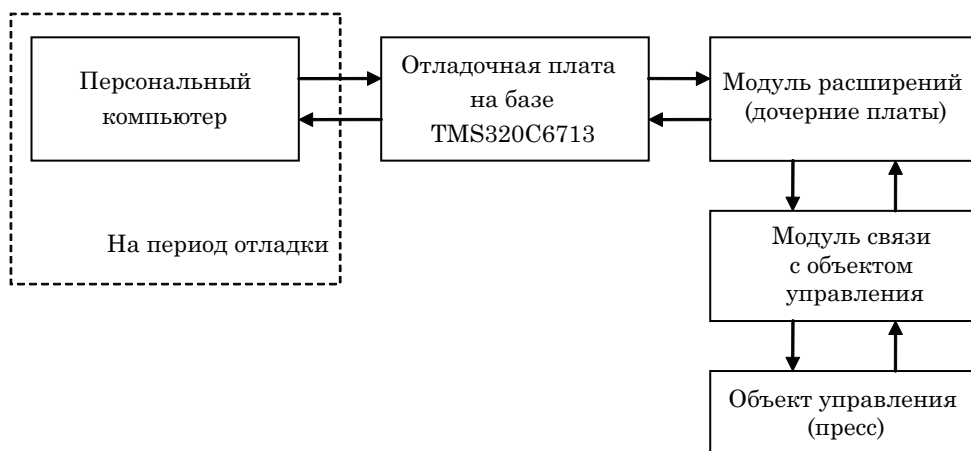


Рис. 5. Структура системы управления на базе TMS320C6713

компьютерной математики MatLAB. Среда программирования DSP Code Composer Studio использована для работы с конкретной моделью DSP. Simulink-модель преобразовывали в приложение, которое выполняется в DSP. Обобщенная технология разработки приложения показана на рис. 6.

Использование модулей расширений Embedded Target for Texas Instruments C6000 DSPs и Real-Time обеспечило преобразование выполняемой программы в приложение для DSP. Модуль расширения Link for Code Composer Studio использован для связи со средой программирования DSP Code Composer Studio. Полученное приложение для DSP записывалось в память отладочной платы через отладочный интерфейс JTAG.

Процесс построения и использования нейронечеткой модели разбивается на этапы: выбор типа и структуры модели для решения поставленной задачи [16]; обучение модели на основе имеющейся информации о решении данной задачи экспертом или ранее полученном решении, т.е. на обучающей выборке; проверка адекватности построенной модели на основе контрольной выборки, отличающейся от обучающей выборки; использование обученной нейронечеткой модели для решения задачи.

Для построения нейронечеткой системы управления процессом прямого прессования композита применение «классических» нейронечетких регуляторов затруднительно [4, 14–16], поэтому применена комбинация структуры «обучение с ошибкой обратной связи» параллельного нейронечеткого контроллера с обратной связью и нейронечеткого эмулятора [5]. Разработанная структура представлена на рис. 7.

Первоначально структура нейронечеткого контроллера построена в виде продукционных правил, вырабатываемых на основе анализа действий человека-оператора в процессе управления прессом. Структура нейронечеткого эмулятора (идентификатора) объекта управления составлена на основе решения задачи пластического деформирования материала композита [17] в экспертной системе. В процессе обучения структура изменяется.

Нейронечеткий контроллер настраивается таким образом, чтобы получить наилучшее выполнение равенства  $Y(t) = X(t)$ .

Нейронечеткий контроллер, завершив обучение, принимает на себя управление объектом, устраняя действие контроллера обратной связи. Образцовым регулятором при этом выступает человек-оператор.

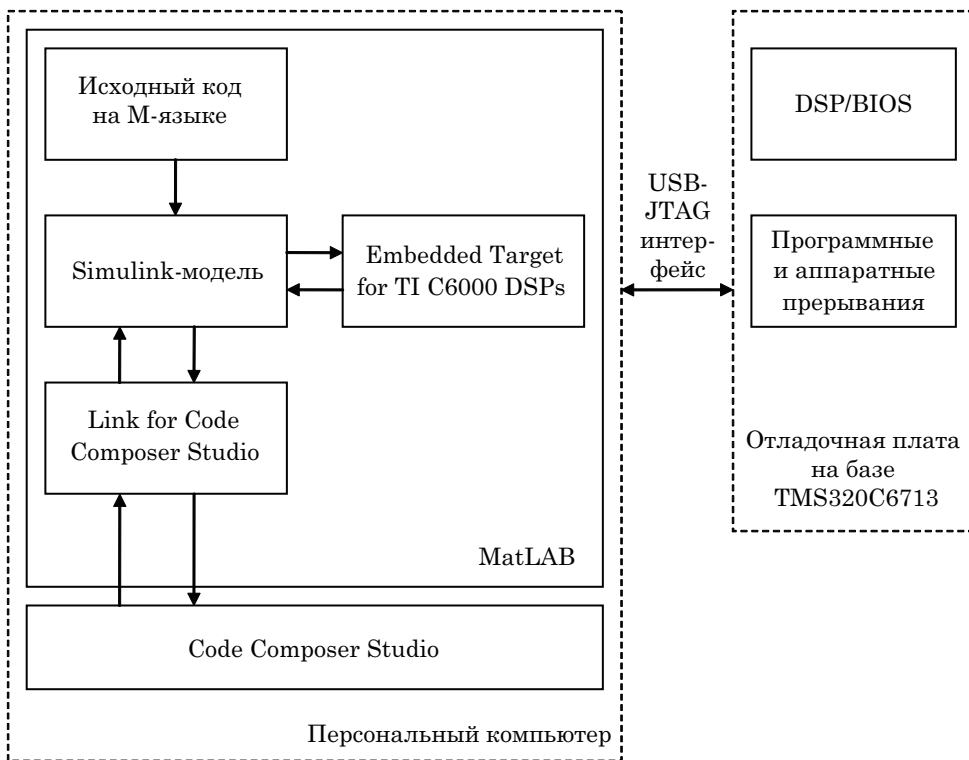


Рис. 6. Технология разработки программного обеспечения для системы управления

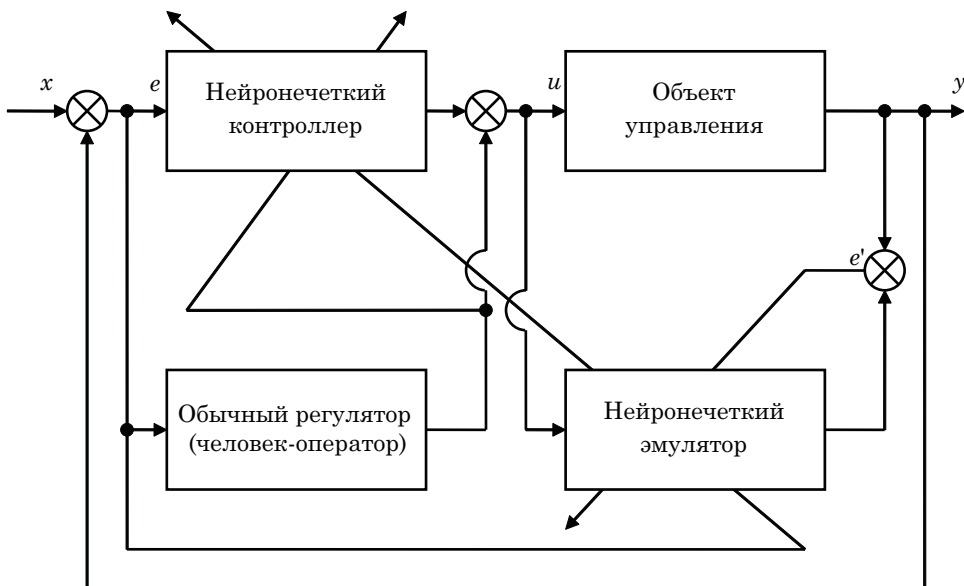


Рис. 7. Структура нейронечеткого регулятора

Разработанная система не может обучаться в оперативном режиме. Нейронечеткий контроллер обратной связи обучается через идентификатор нейронечеткого эмулятора. Нейронечеткий эмулятор выполняет имитационное моделирование объекта управления. Обучение через идентификатор, а не прямо на объекте необходимо, чтобы «не мешать» нормальному функционированию объекта (гидравлического прессы) пробными воздействиями, используемыми для обучения.

В результате построения интеллектуальной системы управления выдавливанием композитов волокнистого строения становится возможным управление гидравлическим прессом в условиях неопределенности и случайного изменения основных технологических факторов. Реализация условий изотермического прессования позволяет добиться снижения неоднородности деформации

по всей длине композита и получать изделия с прогнозируемыми свойствами.

Аппаратная часть интеллектуальной системы управления построена с использованием DSP TMS320C6713, а программная часть интегрирует вычислительные возможности системы компьютерной математики MatLAB и среды программирования DSP Code Composer Studio.

Примененный многоуровневый подход позволил использовать результаты имитационного моделирования для обучения нейронечеткой сети в условиях невозможности проведения натурного эксперимента с пробными воздействиями. Основу модели составляет экспериментально-аналитический метод моделирования процессов обработки металлов давлением, дополненный конечно-элементным анализом и автоматизированной обработкой результатов натурного эксперимента. ■

#### Литература

1. Металловедение и технология сверхпроводящих материалов / под ред. С. Фонера, Б. Шварца ; пер. с англ. Е.А. Алексеева и др. ; под ред. В.А. Марченко. – М. : Металлургия. 1987. 560 с.
2. Залазинский А.Г. Пластическое деформирование структурно-неоднородных материалов. Екатеринбург : Изд-во УрО РАН. 2000. 492 с. ISBN 5-7691-0987-4.
3. Колпашников А.И., Мануйлов В.Ф., Ширяев Е.В. Армирование цветных металлов и сплавов волокнами. М. : Металлургия. 1974. 248 с.
4. Готлиб Б.М., Готлиб А.Б. Принципы построения экспертной системы пластического формоизменения тел сложной конфигурации методами нейроинформатики // Информационные технологии в проектировании и производстве. 2002. № 3. С. 44–45. ISBN 2073-2597.
5. Методы робастного, нейро-нечеткого и адаптивного управления : учебник / под ред. Н.Д. Егупова ; изд. 2-е, стереотип. – М. : МГТУ им. Н.Э. Баумана. 2002. 744 с. ISBN 5-7038-1635-1.
6. Бывальцев С.В. Математическое моделирование системы изготовления волокнистых композитов для энергетических комплексов : автореф. дис. ... на соиск. уч. ст. канд. техн. наук. Воронеж : ВГТА. 2008. 20 с.
7. Готлиб Б.М., Добычин И.А., Готлиб М.Б. Автоматизированные кузнечно-прессовые комплексы (опыт создания и эксплуатации). Екатеринбург : УрГАПС. 1998. 647 с.
8. Готлиб Б.М., Добычин И.А., Баранчиков В.М. и др. Адаптивное управление процессом обработки металлов давлением / под ред. Б.М. Готлиба. – М. : Металлургия. 1985. 144 с.
9. Филькин И.Н., Горожанкин В.Н., Яковенко И.Ф. Автоматизированные комплексы и линии кузнечного производства на базе тяжелых механических прессов : обзор. – М. : НИИМаш. 1984. 72 с.
10. Залазинский А.Г., Бывальцев С.В. Программный комплекс для реализации экспериментально-аналитического метода моделирования процессов деформации металлических заготовок // Вестник компьютерных и информационных технологий. 2006. № 11. С. 46–51. ISSN 1810-7206.

11. Agapitova O. Yu., Byvaltsev S.V., Zalazinskii A.G. Improvement of Hydromechanical Extrusion of Nonferrous Metals // Russian Journal of Non-Ferrous Metals. 2011. Vol. 52. № 4. Pp. 382–387. ISSN 1067-8212 (Print). ISSN 1934-970X (Online).
12. Gotlib B.M., Shibano A.S., Byvaltsev S.V. Intelligence of forging and press complexes // 4th IFAC Symposium on Mechatronic Systems, MX 2006. Heidelberg. 2006. Pp. 862–866. ISBN 978-3-642-17531-2. ISSN 2405-8963.
13. Agapitova O. Yu., Byvaltsev S.V., Zalazinskii A.G. Theoretical and experimental investigation of hydromechanical extrusion process // American Journal of Mech. and Industrial Engineering. 2017. 2 (1). Pp. 17–23. ISSN 2575-6079 (Print). ISSN 2575-6060 (Online).
14. Паршин В.С., Семенова Н.В. Механика деформирования и расчет поврежденности металла при изготовлении гнутых профилей // Вестник УрГУПС. 2016. № 2 (30). С. 41–46. ISSN 2079-0392.
15. Готлиб Б.М., Вакалюк А.А. Автоматизация процесса гидрорастяжения бандажных колец большого диаметра // Вестник УрГУПС. 2013. № 3 (19). С. 18–44. ISSN 2079-0392.
16. Тарасян В.С., Куликова И.В. Разработка процедуры построения нечеткого регулятора и ее применение для управления движением перевернутого маятника // Вестник УрГУПС. 2013. № 1 (17). С. 34–42. ISSN 2079-0392.
17. Агапитова О.Ю., Бывальцев С.В., Залазинский А.Г. Особенности процессов прямого и гидромеханического выдавливания заготовок // Кузнечно-штамповочное производство. Обработка металлов давлением. 2013. № 10. С. 36–40. ISSN 0234-8241.

#### Literature

1. Metallurgy and technology of superconducting materials [Metallovedenie i tekhnologiya sverhprovodyashchih materialov] / Ed. S. Fonera, B. Schwartz ; trans. with English. E.A. Alekseeva and others ; Ed. V.A. Marchenko. – M. : Metallurgy. 1987. 560 p.
2. Zalazinsky A.G. Plastic deformation of structurally heterogeneous materials [Plasticheskoe deformirovanie strukturno-neodnorodnyh materialov]. Ekaterinburg: Izd-vo UB RAS. 2000. 492 p. ISBN 5-7691-0987-4.
3. Kolpashnikov A.I., Manuylov V.F., Shiryayev E.V. Armoring of non-ferrous metals and alloys by fibers [Armirovanie cvetnyh metallov i splavov voloknami]. M. : Metallurgy. 1974. 248 p.
4. Gotlib B.M., Gottlieb A.B. Principles of constructing an expert system of plastic deformation of bodies of a complex configuration by methods of neuroinformatics [Principy postroeniya ehkspertnoj sistemy plasticheskogo formoizmeneniya tel slozhnoj konfiguracii metodami nejroinformatiki] // Information Technologies in Design and Production. 2002. № 3. Pp. 44–45. ISBN 2073-2597.
5. Methods of robust, neuro-fuzzy and adaptive control: a textbook [Metody robustnogo, nejro-nechetkogo i adaptivnogo upravleniya] / ed. N.D. Egupova ; ed. 2<sup>nd</sup>, the stereotype. – M. : MSTU them. N.E. Bauman. 2002. 744 p. ISBN 5-7038-1635-1.
6. Byvaltsev S.V. Mathematical modeling of the system for the production of fibrous composites for power complexes: the author's abstract [Matematicheskoe modelirovanie sistemy izgotovleniya voloknistyh kompozitov dlya ehnergeticheskikh kompleksov] : thesis for a scientific article. PhD in tech. sciences. – Voronezh : The VGTA. 2008. 20 p.
7. Gotlib B.M., Dobychin I.A., Gotlib M.B. Automated forging and pressing complexes (experience of creation and operation) [Avtomatizirovannye kuznechno-pressovye komplekсы (opyt sozdaniya i ehkspluatatsii)]. Ekaterinburg : UrGAPS. 1998. 647 p.
8. Gotlib B.M., Dobychin, I.A., Baranchikov V.M. et al., Adaptive Control of the Process of Metal Working with Pressure [Adaptivnoe upravlenie processom obrabotki metallov davleniem] / Ed. B.M. Gotliba. – M. : Metallurgy. 1985. 144 p.
9. Filkin I.N., Gorozhankin V.N., Yakovenko I.F. Automated complexes and forging lines on the basis of heavy mechanical presses [Avtomatizirovannye komplekсы i linii kuznechnogo proizvodstva na baze tyazhelyh mekhanicheskikh pressov] : review. – M. : RDIME. 1984. 72 p.
10. Zalazinsky A.G., Byvaltsev S.V. Program Complex for Realization of the Experimental-Analytical Method for Modeling the Deformation Processes of Metal Billets [Programmnyj kompleks dlya realizatsii ehksperimental'no-analiticheskogo metoda modelirovaniya processov deformatsii metallicheskih zagotovok] // Herald of Computer and Information Technologies. 2006. № 11. Pp. 46–51. ISSN 1810-7206.

11. Agapitova O. Yu., Byvaltsev S.V., Zalazinskii A.G. Improvement of Hydromechanical Extrusion of Nonferrous Metals // Russian Journal of Non-Ferrous Metals. 2011. Vol. 52. № 4. Pp. 382–387. ISSN 1067-8212 (Print). ISSN 1934-970X (Online).
12. Gotlib B.M., Shibano A.S., Byvaltsev S.V. Intelligence of forging and press complexes // 4th IFAC Symposium on Mechatronic Systems, MX 2006. Heidelberg. 2006. Pp. 862–866. ISBN 978-3-642-17531-2. ISSN 2405-8963.
13. Agapitova O. Yu., Byvaltsev S.V., Zalazinskii A.G. Theoretical and experimental investigation of hydromechanical extrusion process // American Journal of Mech. and Industrial Engineering. 2017. 2 (1). Pp. 17–23. ISSN 2575-6079 (Print). ISSN 2575-6060 (Online).
14. Parshin V.S., Semenova N.V. Mechanics of deformation and calculation of metal damage in the manufacture of bent profiles [Mekhanika deformirovaniya i raschet povrezhdennosti metalla pri izgotovlenii gnutyh profilej] // Herald of USURT. 2016. № 2 (30). Pp. 41–46. ISSN 2079-0392.
15. Gotlib B.M., Vakalyuk A.A. Automation of the process of hydrostretching of large-diameter bandage rings [Avtomatizaciya processa gidrorastyazheniya bandazhnyh kolec bol'shogo diametra] // Herald of USURT. 2013. № 3 (19). Pp. 18–44. ISSN 2079-0392.
16. Tarasyan V.S., Kulikova I.V. Development of the procedure for constructing a fuzzy controller and its application for controlling the movement of an inverted pendulum [Razrabotka procedury postroeniya nechetkogo regulatora i ee primeneniye dlya upravleniya dvizheniem perevernutogo mayatnika] // Herald of the USURT. 2013. № 1 (17). Pp. 34–42. ISSN 2079-0392.
17. Agapitova O. Yu., Byvaltsev S.V., Zalazinsky A. Features of processes of direct and hydromechanical extrusion of blanks [Osobennosti processov pryamogo i gidromekhanicheskogo vydavlivaniya zagotovok] // Forging-stamping production. Metal forming. 2013. № 10. Pp. 36–40. ISSN 0234-8241.

*Статья сдана в редакцию 2 октября 2017 года*

УДК 621.7

*И. И. Некрасов, А. А. Федулов, В. С. Паршин, С. А. Нейман***Определение динамических нагрузок в главном приводе прокатного стана при прокатке полос с оребрением**

UDC 621.7

*I. I. Nekrasov, A. A. Fedulov, V. S. Parshin, S. A. Neiman***Determination of dynamic loads in the main drive of the rolling mill at rolling strips with finned****Аннотация**

Рассмотрен процесс прокатки полос с оребрением применяемых при производстве труб испарителей низкотемпературных холодильных агрегатов. Для нанесения оребрения полосы при этом используется четырехвалковый стан с верхним рабочим профилированным валком.

Для исследования нанесения оребрения разработана математическая модель очага деформации, которая позволила определить нагрузки, действующие на валки прокатного стана. Также построена динамическая модель привода

четырёхвалкового стана, составлена и решена система дифференциальных уравнений. С помощью этого решения получены значения упругих моментов на звеньях привода стана и коэффициенты динамичности в упругих связях для каждого звена.

Измерения крутящих моментов на шпинделях главной линии стана, выполненные при получении опытной партии оребренной полосы, позволили провести проверку адекватности созданной методики определения нагрузок реальному процессу прокатки.

**Ключевые слова:** теплообменные трубы, оребренные трубы, прокатка полосы, прокатный стан КВАРТО, МКЭ, математическая модель, динамическая модель.

DOI: 10.20291/2079-0392-2017-4-49-55

**Annotation**

The process of rolling strips with finning used in the manufacture of evaporator tubes of low-temperature refrigeration units is considered. For the application of rib fins, a four-high mill with an upper working profiled roll is used.

To study the application of finning, a mathematical

*Статья рекомендована к опубликованию О.С. Леховым, д-р техн. наук, профессором; Российский государственный профессионально-педагогический университет; Екатеринбург, Россия.*

**Игорь Иванович Некрасов**, канд. техн. наук, доцент; кафедра металлургических и роторных машин Уральского федерального университета; Екатеринбург, Россия. E-mail: nekrasovii@yandex.ru.

**Артём Анатольевич Федулов**, канд. техн. наук, доцент; кафедра металлургических и роторных машин Уральского федерального университета; Екатеринбург, Россия. E-mail: artem.feduloff@yandex.ru.

**Владимир Сергеевич Паршин**, д-р техн. наук, профессор; кафедра металлургических и роторных машин Уральского федерального университета; Екатеринбург, Россия. E-mail: v.s.parshin@urfu.ru.

**Сергей Александрович Нейман**, магистрант, направление 15.03.02 «Технологические машины и оборудование», ФГАОУ ВО УрФУ; Екатеринбург, Россия. E-mail: s.a.neiman@urfu.ru.

*The article is recommended for publication by O.S. Lekhov, DSc in Tech. sciences, professor; Russian State Vocational and Pedagogical University; Yekaterinburg, Russia.*

**Igor Ivanovich Nekrasov**, PhD in tech. Sci., Associate Professor; Department of Metallurgical and Rotary Machines of the Ural Federal University; Yekaterinburg, Russia. E-mail: nekrasovii@yandex.ru.

**Artem Anatolyevich Fedulov**, PhD in tech. Sci., Associate Professor; Department of Metallurgical and Rotary Machines of the Ural Federal University; Yekaterinburg, Russia. E-mail: artem.feduloff@yandex.ru.

**Vladimir Sergeevich Parshin**, DSc in Tech. Sciences, Professor; Department of Metallurgical and Rotary Machines of the Ural Federal University; Yekaterinburg, Russia. E-mail: v.s.parshin@urfu.ru.

**Sergei Alexandrovich Neiman**, master's degree, direction 15.03.02 «Technological machines and equipment», Federal State Autonomous Educational Institution of Higher Education Ural Federal University URFU; Yekaterinburg, Russia. E-mail: s.a.neiman@urfu.ru.



model of the deformation center was developed, which made it possible to determine the loads acting on the rolls of the rolling mill. A dynamic model for driving a four-high mill is also constructed, and a system of differential equations is compiled and solved. With the help of the obtained solution, the values

of the elastic moments on the drive links of the mill and the dynamic coefficients in elastic bonds for each link are obtained.

Torque measurements on the spindles of the main line of the mill, performed in the production of the experimental run of the finned strip, made it possible to verify the adequacy

of the established procedure for determining the loads for the real rolling process.

**Keywords:** heat exchange pipes, finned tubes, rolling strip, rolling mill KVARTO, MCE, mathematical model, dynamic model.

DOI: 10.20291/2079-0392-2017-4-49-55

При кипении жидкости на поверхности оребренных труб в условиях малых значений плотности теплового потока устанавливается более высокая интенсивность теплообмена, чем при кипении на поверхности гладких труб. Поэтому в испарителях низкотемпературных холодильных установок, работающих в этих условиях, широко применяют оребренные трубы [1].

Одна из технологий производства оребренных труб заключается в последовательно осуществляемых процессах: холодная прокатка полос с оребрением, формовка оребренной полосы и последующая сварка в линии трубоэлектросварочного агрегата, отжиг полученных труб в печах с защитной атмосферой [2]. Прокатка полос с оребрением производится при этом в линии стана холодной прокатки. Для нанесения оребрения используется рабочий валок с нарезкой на его поверхности (рис. 1).

Поскольку валок с нарезкой при эксплуатации подвержен повышенному износу и требуется его частая замена, то здесь рациональна схема стана с приводом через опорные валки, которая

позволяет проводить быструю перевалку рабочих валков. Привод рабочих валков через опорные в линиях стана осуществляется за счет фрикционного контакта между валками. При ускорениях стана, использовании смазочных эмульсий и т.п. может происходить пробуксовка рабочих валков по опорным, которая сопровождается кратковременным изменением крутящего момента в главной линии прокатного стана и появлением динамических нагрузок. Кроме того, действующие на рабочие валки моменты зависят от соотношения их наружных диаметров. Для изучения этих явлений нами исследованы величины и характера нагрузок в главной линии прокатного стана на примере лабораторного стана КВАРТО 55×260×220 ОАО «УралНИИЧМ», оборудованном тензометрической аппаратурой, разматывателем и моталкой. Схема главной линии стана изображена на рис. 2.

Проведенные замеры крутящих моментов на шпинделях главной линии стана КВАРТО 55×260×220 при опытной прокатке полосы с односторонним поперечным оребрением толщиной  $h = 1,5$  мм, шириной  $b = 70$  мм (сталь 10, обжатие – 5–20 %) показали, что при прокатке возможно появление скачков моментов на опорных валках стана до 30 % от средней величины с восстановлением в течение 0,5–1,0 с до величин больших номинальных (рис. 3).

Для определения нагрузок в главной линии стана при прокатке полос с оребрением разработана математическая модель процесса прокатки в программном комплексе DEFORM-3D.

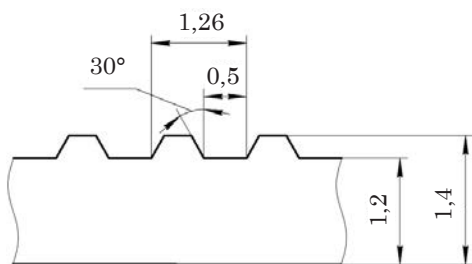


Рис. 1. Полоса с односторонним поперечным трапецидальным оребрением

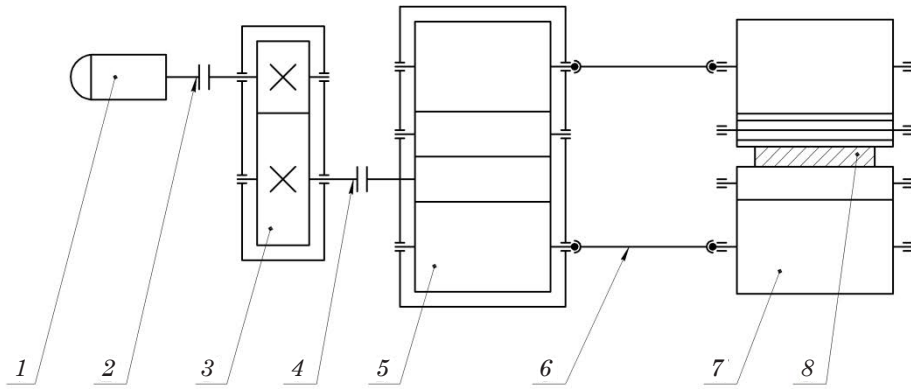


Рис. 2. Схема главной линии стана

1 – электродвигатель; 2 – моторная муфта; 3 – редуктор; 4 – коренная муфта;  
5 – шестеренная клетка; 6 – шпиндель; 7 – валковый узел; 8 – прокатываемая полоса

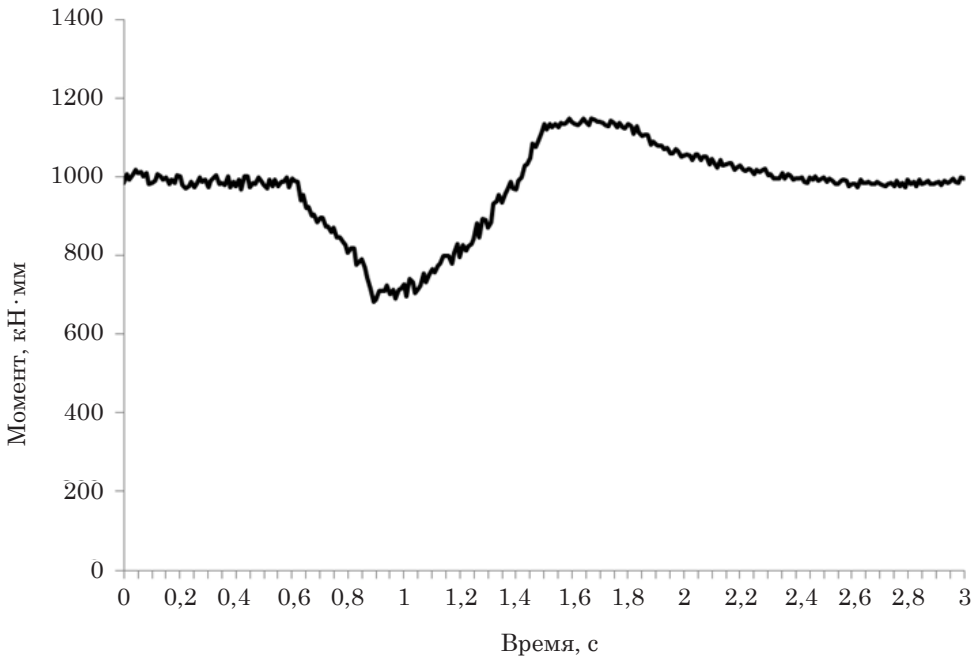


Рис. 3. Осциллограмма изменения крутящего момента на нижнем шпинделе прокатного стана в момент пробуксовки валков

Разработанная нами модель базируется на методе конечных элементов, позволяет определять энергосиловые параметры процесса в широком диапазоне геометрических параметров заготовки и инструмента [4]. При этом созданы прототипы инструмента и заготовки,

назначены свойства материалов, произведено разбиение области заготовки конечными элементами, назначены граничные условия, проведено решение и получены данные по крутящим моментам, действующим на рабочие валки прокатного стана (рис. 4).

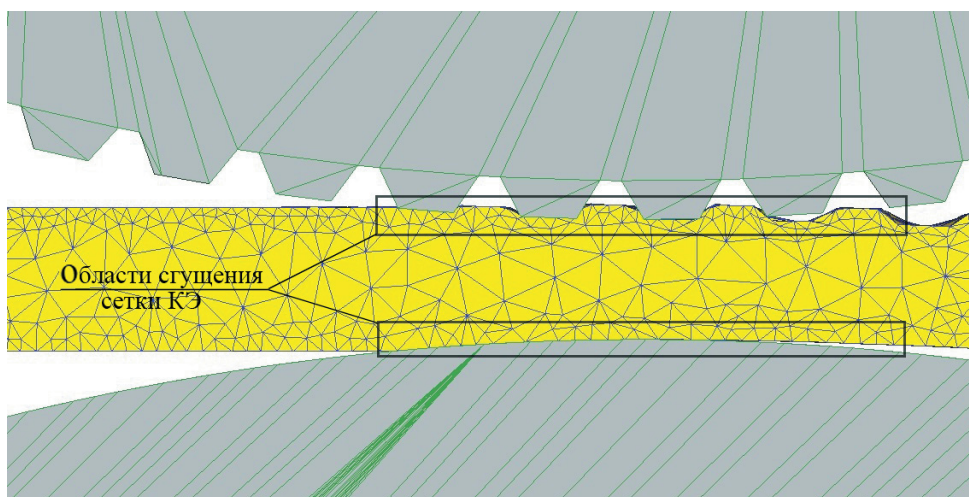


Рис. 4. Очаг деформации при прокатке оребренных полос

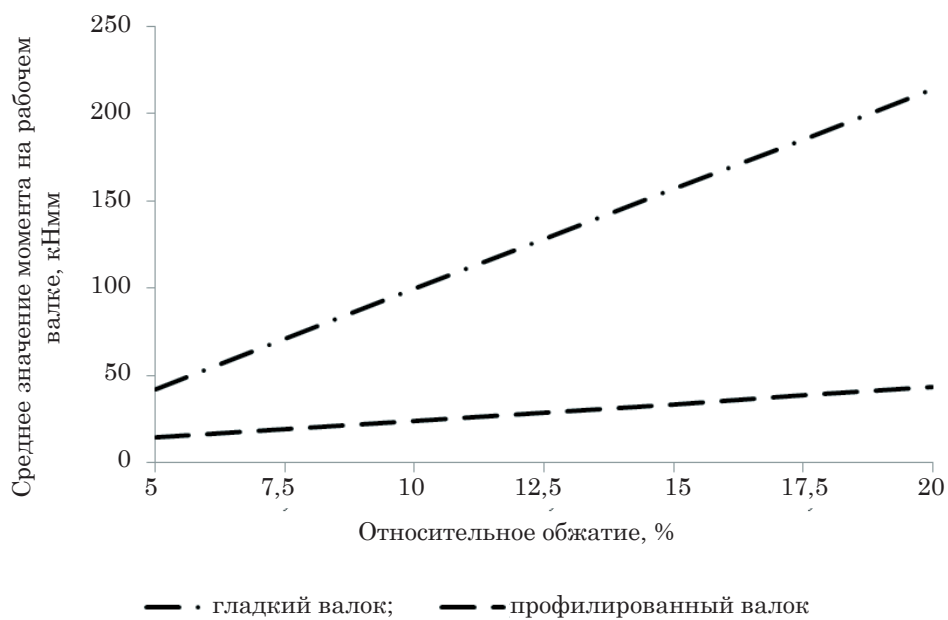


Рис. 5. Расчетные зависимости моментов на рабочих валках стана от обжатия полосы

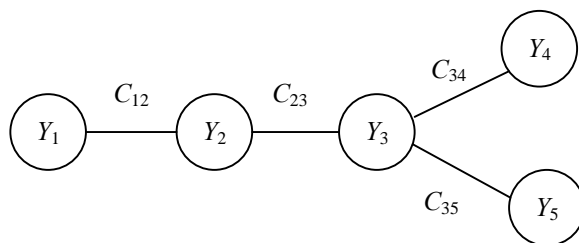


Рис. 6. Динамическая модель привода

При равенстве наружных диаметров валков больший крутящий момент действует на валок с гладкой бочкой (рис. 5).

Далее была создана четырехмассовая динамическая модель главной линии стана (рис. 6).

Система уравнений, описывающих динамику привода стана по каждой из веток, выглядит следующим образом:

$$\begin{aligned} \frac{d^2}{dt^2} M_{12} &= \frac{M_1}{Y_1} C_{12} - C_{12} \frac{Y_1 + Y_2}{Y_1 Y_2} M_{12} + \\ &+ \frac{C_{12}}{Y_2} M_{23}; \\ \frac{d^2}{dt^2} M_{23} &= \frac{M_{12}}{Y_2} C_{23} - C_{23} \frac{Y_2 + Y_3}{Y_2 Y_3} M_{23} + \\ &+ \frac{C_{23}}{Y_3} M_{34}; \\ \frac{d^2}{dt^2} M_{34} &= \frac{M_4(\tau)}{Y_4} C_{34} - C_{34} \frac{Y_3 + Y_4}{Y_3 Y_4} M_{34} + \\ &+ \frac{C_{34}}{Y_3} M_{23}, \end{aligned}$$

где  $\tau$  – время;  $M_{ij}$  – моменты упругих сил на соответствующих звеньях привода машины;  $C_{ij}$  – приведенные жесткости звеньев;  $Y_i$  – приведенные моменты инерции звеньев;  $M_1$  – момент на валу электродвигателя привода;  $M_4(\tau)$  – момент от технологической нагрузки, действующей на рабочий валок стана.

Приведенные жесткости звеньев определялись по формулам:

$$C_{12} = C_{m1}; \quad C_{23} = \frac{C_{m2}}{U_p^2}; \quad C_{34} = \frac{C_{шп}}{(U_p \cdot U_{шк})^2},$$

где  $C_{m1}$  – жесткость моторной муфты;  $C_{m2}$  – жесткость коренной муфты;  $C_{шп}$  – жесткость шпинделя;  $U_p$  – передаточное число редуктора привода,  $U_{шк}$  – передаточное число зубчатого зацепления шестеренной клетки.

Выражения для приведенных моментов инерции:

$$Y_1 = Y_{дв};$$

$$Y_2 = Y_{m1} + Y_{шп} + \frac{Y_{кр}}{U_p^2};$$

$$Y_3 = \frac{Y_{шп} + 2Y_{шк1}}{U_p^2} + \frac{2Y_{шк2}}{(U_p \cdot U_{шк})^2};$$

$$Y_4 = \frac{Y_{шп} + Y_{во}}{(U_p \cdot U_{шк})^2} + \frac{Y_{вр}}{\left(\frac{U_p \cdot U_{шк}}{U_b}\right)^2},$$

где  $Y_{дв}$  – момент инерции ротора двигателя;  $Y_{m1}$  – момент инерции моторной муфты;  $Y_{шп}$  – момент инерции вал-шестерни редуктора;  $Y_{кр}$  – момент инерции зубчатого колеса редуктора;  $Y_{m2}$  – момент инерции коренной муфты;  $Y_{шк1}$  – момент инерции шестерни шестеренной клетки малого диаметра;  $Y_{шк2}$  – момент инерции шестерни шестеренной клетки большого диаметра;  $Y_{шп}$  – момент инерции шпинделя;  $Y_{во}$  – момент инерции опорного валка;  $Y_{вр}$  – момент инерции рабочего валка.

Моменты от технологической нагрузки при пробуксовке валков задавались функцией вида

$$M_4(\tau) = k_1 \left( 1 - e^{-\frac{\tau}{k_2}} \right),$$

где  $k_1, k_2$  – коэффициенты, определяющие характер кривой нагружения.

Путем решения представленной системы дифференциальных уравнений с использованием результатов моделирования в DEFORM-3D получены значения упругих моментов на звеньях привода стана и коэффициенты динамичности в упругих связях для каждого звена при 30%-ном изменении нагрузки на рабочих валках и её восстановлении до значений, превышающих номинальные, за 0,5 с для случая прокатки полосы с односторонним оребрением толщиной  $h = 1,5$  мм, шириной  $b = 70$  мм (сталь 10, при обжати 20 %). Расчетные значения упругих моментов с учетом неравномерного распределения момента прокатки между рабочими

Величина	Экспериментальное значение	Расчетное значение	Отклонение, %
$M_{y34r}$ , кНмм	1101	1163	5,17
$k_{д34}$	1,148	1,167	1,6

валками стана при этом составили:  $M_{y34п} = 249$  кНмм;  $M_{y34r} = 1163$  кНмм;  $M_{y23} = 562$  кНмм;  $M_{y12} = 149$  кНмм (где  $M_{y34п}$  – упругий момент на верхнем шпинделе стана;  $M_{y34r}$  – упругий момент на нижнем шпинделе стана;  $M_{y23}$  – упругий момент на коренной муфте привода;  $M_{y12}$  – упругий момент на моторной муфте привода). Значения коэффициентов динамичности для звеньев привода:  $k_{д34} = 1,167$ ;  $k_{д23} = 1,175$ ;  $k_{д12} = 1,183$ .

Сравнение расчетных данных по упругому моменту и коэффициенту динамичности на нижнем шпинделе стана КВАРТО 55×260×220 с данными, полученными в результате опытных прокаток полосы (таблица), говорит об адекватности созданной математической модели реальному протеканию процесса.

Последующая оценка величин упругих моментов на звеньях главного привода стана с использованием данных по его оборудованию показала, что

они меньше допускаемых более чем в два раза.

Таким образом, нагрузки, действующие в главной линии прокатного стана КВАРТО 55×260×220 по схеме привода рабочих валков стана через опорные при прокатке полос с оребрением, предназначенных для изготовления труб испарителей холодильных установок, не ведут к поломкам и повышенному износу узлов оборудования главного привода стана.

Созданная методика для определения нагрузок в главном приводе прокатного стана с приводом рабочих валков стана через опорные позволяет находить упругие моменты, действующие на звенья главного привода стана, что помогает оценить возможности существующего оборудования при прокатке полос с оребрением и получить исходные данные при проектировании нового прокатного оборудования. ■

### Литература

1. Кутепов А. М. Гидродинамика и теплообмен при парообразовании : учебное пособие для втузов. – 3-е изд., испр. / А. М. Кутепов, Л. С. Стерман, Н. Г. Стюшин. – М. : Высшая школа, 1986. 448 с.
2. Горшков И. К. Исследование закономерностей трения первого рода в силовом контакте многовалковых клеток для методологии проектирования высокоэффективных станов холодной прокатки : дис. ... на соиск. уч. ст. канд. техн. наук. – Череповец, 2001. – 125 с.
3. Некрасов И. И. Разработка новой технологии и оборудования для производства труб с внутренним кольцевым оребрением на основе исследования механики очага деформации : дис. ... на соиск. уч. ст. канд. техн. наук. – Екатеринбург. 212 с.
4. Исследование процесса прокатки оребренных полос с применением программного комплекса DEFORM / И. И. Некрасов [и др.] // Металлург. 2011. № 3. С. 40–42. ISSN 0026-0827.

### Literature

1. Kutepov A. M. Hydrodynamics and heat exchange during vaporization [Гидродинамика и теплообмен при парообразовании] : tutorial for woods. – 3<sup>rd</sup> ed., Corr. / A. M. Kutepov, L. S. Sterman, N. G. Styushin – M. : Higher school, 1986. 448 p.
2. Gorshkov I. K. Investigation of the first-order friction regularities in the power contact of multifilament stands for the methodology of designing high-performance cold rolling mills [Issledovanie zakonornostey treniya pervogo roda v silovom kontakte mnogovalkovykh kletej dlya metodologii proektirovaniya vysokoeffektivnykh stanov holodnoj prokatki] : Thesis for a scientific article. PhD in.tech.Sci. – Cherepovets, 2001. – 125 p.

3. Nekrasov I.I. Development of new technology and equipment for the production of pipes with internal annular fins based on the study of the location of deformation mechanics [Razrabotka novoj tekhnologii i oborudovaniya dlya proizvodstva trub s vnutrennim kol'cevim orebreniem na osnove issledovaniya mekhaniki ochaga deformacii] : Thesis for a scientific article. PhD in tech sciences. – Yekaterinburg, 212 p.
4. Investigation of the process of rolling fin finishes using the software complex DEFORM [Issledovanie processa prokatki orebrennyh polos s primeneniem programmnoho kompleksa DEFORM] / I.I. Nekrasov [and others] // Metallurgy. 2011. № 3. Pp. 40–42. ISSN 0026-0827.

*Статья сдана в редакцию 11 сентября 2017 года*



# Управление в технических системах

УДК 624.4: 620.179.16

*А. Н. Киреев, В. А. Витренко*

## Экспериментальные исследования безэталонных методов отстройки функции ВРЧ при ультразвуковом контроле деталей ПСЖД

UDC 624.4: 620.179.16

*A. N. Kireev, V. A. Vitrenko*

## Experimental investigations of non-ethical methods of settling the function of varius in ultrasound control of details

### Аннотация

Показано, что для избежания возникновения отказов и неисправностей, возникших вследствие внутренних дефектов в ответственных деталях подвижного состава железных дорог, в систему тестового диагностирования входит ультразвуковой неразрушающий контроль.

Показана необходимость отстройки функции временной регулировки чувствительности при ультразвуковом контроле габаритных деталей подвижного состава

железных дорог эхоимпульсным методом.

В работе рассмотрены безэталонные методы отстройки функции временной регулировки чувствительности при ультразвуковом контроле деталей подвижного состава эхоимпульсным методом. Представлены методы отстройки функции временной регулировки чувствительности при использовании в качестве эталонного отражателя полусферического и плоского цилиндрического отражателей.

Представлен математический аппарат и разработанная на его основе программа NDTRT-18 для реализации рассмотренных методов.

Проведены экспериментальные исследования на натурном образце с искусственными отражателями для оценки достоверности предложенных методов. Проведенные экспериментальные исследования показали высокую достоверность безэталонных методов отстройки функции временной регулировки чувствительности при

*Статья рекомендована к опубликованию А. П. Буйновым, д-р техн. наук, профессором; Уральский государственный университет путей сообщения; Екатеринбург, Россия. E-mail: ABuinosov@usurt.ru.*

**Андрей Николаевич Киреев**, канд. техн. наук, доцент, начальник Центральной заводской лаборатории ПАО «Лугансктепловоз», доцент кафедры железнодорожного транспорта ГОУ ВПО «Луганский национальный университет имени Владимира Даля»; г. Луганск. E-mail: lifter\_23@mail.ru.

**Владимир Алексеевич Витренко**, д-р техн. наук, профессор, проректор по науке ГОУ ВПО «Луганский национальный университет имени Владимира Даля»; г. Луганск. E-mail: priem-dep@mail.ru.

*The article is recommended for publication by A. P. Buinosov, DSc in Tech. sciences, professor; Ural State University of Railway Transport; Yekaterinburg, Russia. E-mail: ABuinosov@usurt.ru.*

**Andrei Nikolaevich Kireev**, PhD in tech. in Economics, Associate Professor, Head of the Central Plant Laboratory of PJSC «Luhanskteplovoz», Associate Professor of the Railway Transport. State Educational Institution of Higher Professional Education. Department of the «Luhansk National University named after Vladimir Dahl»; Lugansk. E-mail: lifter\_23@mail.ru.

**Vladimir Alekseevich Vitrenko**, DSc in Tech. Sci., Professor, Vice-Rector for Science, Luhansk National University named after Vladimir Dahl; Lugansk. E-mail: priem-dep@mail.ru.

ультразвуковым контроле деталей подвижного состава железных дорог эхоимпульсным методом.

**Ключевые слова:** железная дорога, подвижной состав, техническое диагностирование, ультразвуковой контроль, эхоимпульсный метод, эхометод, дефект, безэталонный метод, эталонный отражатель, искусственный отражатель, временная регулировка чувствительности.

DOI: 10.20291/2079-0392-2017-4-56-66

#### Annotation

It is shown that for avoidance of origin of refuses and disrepairs, arising up because of internal defects in the responsible details of rolling stock of railways, ultrasonic non-destructive control is

included in the system of the test diagnosis.

The necessity of rebuilding of function of temporal regulation of sensitiveness is shown at ultrasonic control of overall details of rolling stock of railways by the echo impulse method.

The methodless of rebuilding of function of temporal regulation of sensitiveness are in-process considered at ultrasonic control of details of rolling stock by the echo impulse method. The methods of rebuilding of function of temporal regulation of sensitiveness are presented at using as a standard reflector hemispheric and flat-bottomed cylindrical reflectors. A mathematical vehicle and program NDTRT-18 worked out on his basis are presented for

realization of the considered methods.

Experimental studies are undertaken on a model standard with artificial reflectors for the estimation of authenticity of the offered methods. Undertaken experimental studies showed high authenticity of a non-standard of rebuilding of function of temporal regulation of sensitiveness at ultrasonic control of details of rolling stock of railways by the echo impulse method.

**Keywords:** railway, rolling stock, technical diagnosis, ultrasonic control, echo impulse method, echo method, defect, non-standard method, standard reflector, artificial reflector, temporal regulation of sensitiveness.

DOI: 10.20291/2079-0392-2017-4-56-66

Одна из важнейших задач при организации перевозочного процесса на железной дороге – обеспечение безопасности движения. Безопасность движения на железных дорогах зависит от множества факторов, в первую очередь от качества и надежности подвижного состава железных дорог (ПСЖД). Качество и надежность ПСЖД в целом зависит от качества и надежности его составных деталей и узлов.

Для определения истинного технического состояния детали и узлы ПСЖД подвергаются комплексу мероприятий технического диагностирования [1–3] как при изготовлении, так и в эксплуатации.

Чтобы вследствие внутренних дефектов в ответственных деталях ПСЖД не возникали отказы и неисправности, в систему тестового диагностирования входит ультразвуковой неразрушающий контроль (НК) [4–6]. Наиболее распространен метод ультразвукового НК деталей ПСЖД – эхоимпульсный метод. Он обладает наибольшей

чувствительностью, разрешающей способностью и помехоустойчивостью; аппаратура эхометода небольшая и легкая.

Чувствительность ультразвуковой аппаратуры при контроле эхоимпульсным методом настраивается на стандартных образцах предприятия с выполненными в них эталонными отражателями (ЭО) на минимальной, максимальной глубине и в середине диапазона контроля. В качестве ЭО при контроле деталей ПСЖД могут применяться как плоскодонный цилиндрический отражатель (рис. 1, а), так и полусферический отражатель (рис. 1, б). ПЦО применяются в случае, когда дефекты в объекте контроля имеют преимущественно плоскостной характер (трещины, флокены, ликвации и др.), ПСО – когда дефекты имеют преимущественно объемный характер (поры, усадочные раковины, объемные неметаллические включения и др.).

Для выравнивания чувствительности по всему контролируемому диапазону применяется функция временной регулировки чувствительности (ВРЧ)

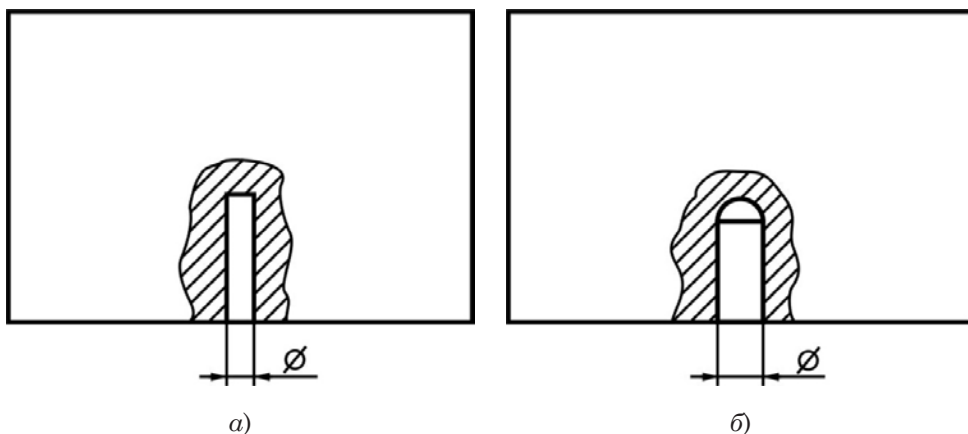


Рис. 1. Эталонные отражатели

а – плоскодонный цилиндрический отражатель (ПЦО); б – полусферический отражатель (ПСО)

ультразвукового дефектоскопа, которая отстраивается на ЭО в стандартных образцах предприятия. Однако неточности в изготовлении ЭО могут привести к неправильной отстройке функции ВРЧ, а значит, к недостоверной оценке обнаруженных в процессе контроля дефектов.

Безэталонные методы отстройки функции ВРЧ ультразвукового дефектоскопа при ультразвуковом контроле деталей ПСЖД с применением в качестве ЭО ПЦО и ПСО предложены в [7, 8].

В работе поставлена задача проведения экспериментальных исследований безэталонных методов отстройки функции ВРЧ ультразвукового дефектоскопа для оценки их достоверности.

Безэталонные методы отстройки функции ВРЧ заключаются в применении аналитических зависимостей, предложенных в работах [7, 8].

Аналитические зависимости для отстройки функции ВРЧ при применении в качестве ЭО ПЦО представлены в таблице 1.

Отстройка функции ВРЧ осуществляется по пяти точкам (20 мм от поверхности ввода ультразвука, 20 мм от донной поверхности, четверть, середина и три четверти диапазона контроля). Также представлена аналитическая

зависимость (1) в общем виде для возможности самостоятельного выбора количества точек отстройки функции ВРЧ.

$$k_{\text{ВРЧ}} = 20 \lg \left( \frac{x_k^2}{x^2} \left( \frac{2\lambda x_d 10^{\frac{N_d}{20}}}{S_a} \right)^{\frac{x-x_k}{x_d}} \right), \quad (1)$$

где  $x_k$  – конечная точка диапазона контроля, мм;  $x$  – точка настройки функции ВРЧ, мм.

Аналитические зависимости для отстройки функции ВРЧ при применении в качестве ЭО ПСО представлены в таблице 2.

Отстройка функции ВРЧ осуществляется по пяти точкам (20 мм от поверхности ввода ультразвука, 20 мм от донной поверхности, четверть, середина и три четверти диапазона контроля). Также представлена аналитическая зависимость (2) в общем виде для возможности самостоятельного выбора количества точек отстройки функции ВРЧ.

$$k_{\text{ВРЧ}} = 20 \lg \left( \frac{x_k^2 \left( 1 + \frac{d}{2x_k} \right)}{x^2 \left( 1 + \frac{d}{2x} \right)} \left( \frac{2\lambda x_d 10^{\frac{N_d}{20}}}{S_a} \right)^{\frac{x-x_k}{x_d}} \right). \quad (2)$$

Таблица 1

Аналитические зависимости для отстройки функции при применении  
в качестве ЭО ПЦО

Коэффициент усиления ультразвукового дефектоскопа, дБ	
$\left  20 \lg \left( \frac{S_a S_b}{\lambda^2 (x_a - 20)^2} \left( \frac{2 \lambda x_d 10^{\frac{N_d}{20}}}{S_a} \right)^{1 - \frac{20}{x_d}} \right) \right $	
Диапазон ультразвукового дефектоскопа, мм	
$x_d + 10$	
Координата маркера ВРЧ, x, мм	Уровень ВРЧ, $k_{ВРЧ}$ , дБ
20	$20 \lg \left( \frac{(x_d - 20)^2}{400} \left( \frac{2 \lambda x_d 10^{\frac{N_d}{20}}}{S_a} \right)^{\frac{40}{x_d} - 1} \right)$
$0,25x_d + 10$	$20 \lg \left( \frac{(x_d - 20)^2}{(0,25x_d + 10)^2} \left( \frac{2 \lambda x_d 10^{\frac{N_d}{20}}}{S_a} \right)^{\frac{30}{x_d} - 0,75} \right)$
$x_d / 2$	$20 \lg \left( \frac{(x_d - 20)^2}{(x_d / 2)^2} \left( \frac{2 \lambda x_d 10^{\frac{N_d}{20}}}{S_a} \right)^{\frac{20}{x_d} - 0,5} \right)$
Координата маркера ВРЧ, x, мм	Уровень ВРЧ, $k_{ВРЧ}$ , дБ
$0,75x_d - 10$	$20 \lg \left( \frac{(x_d - 20)^2}{(0,75x_d - 10)^2} \left( \frac{2 \lambda x_d 10^{\frac{N_d}{20}}}{S_a} \right)^{\frac{10}{x_d} - 0,25} \right)$
$x_d - 20$	0

Здесь:  $S_a$  – площадь пьезоэлектрического преобразователя, мм<sup>2</sup>;  $S_b$  – площадь ПЦО, мм<sup>2</sup>;  $\lambda$  – длина ультразвуковой волны, мм;  $x_d$  – расстояние от поверхности ввода ультразвуковой волны до донной поверхности, мм;  $N_d$  – амплитуда донного эхосигнала, дБ.

Таблица 2

Аналитические зависимости для отстройки функции при применении  
в качестве ЭО ПСО

Коэффициент усиления ультразвукового дефектоскопа, дБ	
$20 \lg \left( \frac{S_a d}{4\lambda (x_d - 20)^2 \left( 1 + \frac{d}{2x_d - 40} \right)} \left( \frac{2\lambda x_d 10^{\frac{N_a}{20}}}{S_a} \right)^{1 - \frac{20}{x_d}} \right)$	
Диапазон ультразвукового дефектоскопа, мм	
$x_d + 10$	
Координата маркера ВРЧ, $x$ , мм	Уровень ВРЧ, $k_{\text{ВРЧ}}$ , дБ
20	$20 \lg \left( \frac{(x_d - 20)^2 \left( 1 + \frac{d}{2x_d - 40} \right)}{400 + 10d} \left( \frac{2\lambda x_d 10^{\frac{N_a}{20}}}{S_a} \right)^{\frac{40}{x_d} - 1} \right)$
$0,25x_d + 10$	$20 \lg \left( \frac{(x_d - 20)^2 \left( 1 + \frac{d}{2x_d - 40} \right)}{(0,25x_d + 10)^2 \left( 1 + \frac{d}{0,5x_d + 20} \right)} \left( \frac{2\lambda x_d 10^{\frac{N_a}{20}}}{S_a} \right)^{\frac{30}{x_d} - 0,75} \right)$
$x_d / 2$	$20 \lg \left( \frac{(x_d - 20)^2 \left( 1 + \frac{d}{2x_d - 40} \right)}{(x_d / 2)^2 \left( 1 + \frac{d}{x_d} \right)} \left( \frac{2\lambda x_d 10^{\frac{N_a}{20}}}{S_a} \right)^{\frac{20}{x_d} - 0,5} \right)$
$0,75x_d - 10$	$20 \lg \left( \frac{(x_d - 20)^2 \left( 1 + \frac{d}{2x_d - 40} \right)}{(0,75x_d - 10)^2 \left( 1 + \frac{d}{1,5x_d - 20} \right)} \left( \frac{2\lambda x_d 10^{\frac{N_a}{20}}}{S_a} \right)^{\frac{10}{x_d} - 0,25} \right)$
$x_d - 20$	0

Здесь:  $d$  – диаметр эталонного ПСО, мм.

Для автоматизации расчетов при отстройке функции ВРЧ разработана программа NDTRT-18. Окно «Блок 1» программы для настройки функции ВРЧ при применении в качестве ЭО ПЦО представлено на рис. 2, а. Окно «Блок 2» программы для настройки функции ВРЧ при применении в качестве ЭО ПСО – на рис. 2, б.

В программу NDTRT-18 вводятся данные: диаметр пьезоэлектрического преобразователя, частота ультразвуковой волны, скорость ультразвуковой (у.з.) волны, расстояние до донной поверхности, амплитуда донного эхосигнала, диаметр эталонного ПЦО или диаметр эталонного ПСО.

Программа NDTRT-18 осуществляет расчет следующих параметров: коэффициент усиления ультразвукового дефектоскопа, диапазон ультразвукового дефектоскопа, координаты маркера ВРЧ и уровни ВРЧ.

Для оценки достоверности предложенных безэталонных методов отстройки функции ВРЧ были проведены экспериментальные исследования.

Для проведения экспериментальных исследований изготовлен образец с искусственными отражателями. Параметры экспериментального образца и искусственных отражателей представлены в таблице 3, фотография экспериментального образца – на рис. 3.

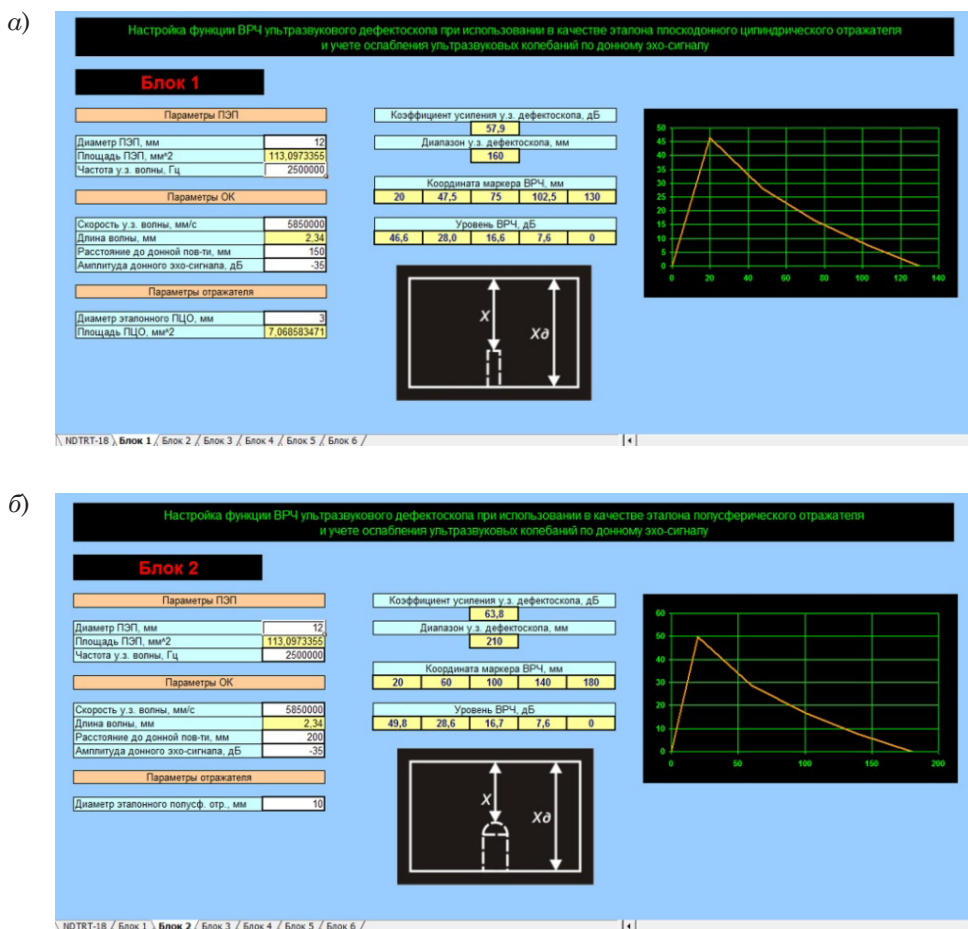


Рис. 2. Программа NDTRT-18  
а – окно «Блок 1»; б – окно «Блок 2»

Таблица 3

## Параметры образца для проведения экспериментальных исследований

Параметры образца				
Материал		Размеры контактной поверхности, мм		Расстояние от поверхности ввода у.з. волны до донной поверхности (высота образца), мм
Сталь 45		164×160		107
Параметры искусственных отражателей (ИО)				
№	Тип ИО	Диаметр ИО, мм	Площадь ИО, мм <sup>2</sup>	Расстояние от поверхности ввода у.з. волны до отражающей поверхности ИО, мм
ИО 1	ПСО	10	—	57
ИО 2	ПСО	8	—	82
ИО 3	ПЦО	5	19,63	63
ИО 4	ПЦО	8	50,27	64,5



а)



б)



в)

Рис. 3. Образец для проведения экспериментальных исследований  
 а – контактная поверхность; б – донная поверхность; в – боковая поверхность



Для проведения эксперимента применялись ультразвуковой дефектоскоп УД 2-70, пьезоэлектрический преобразователь П 111-2.5-к12-003 с частотой ультразвуковой волны 2,5 МГц и диаметром пьезоэлектрического элемента 12 мм. В качестве контактной жидкости использовалось масло

индустриальное И-40 с кинематической вязкостью 65 сСт (рис. 4).

Параметры ВРЧ рассчитаны программой NDTRT-18. Параметры настройки ВРЧ представлены в таблице 4.

По данным таблицы 4 настроен ультразвуковой дефектоскоп (рис. 5).



Рис. 4. Стенд для проведения экспериментальных исследований

Таблица 4

Параметры ВРЧ ультразвукового дефектоскопа

№	Тип и диаметр ИО	Диапазон у.з. дефекто- скопа, мм	Коэффициент уси- ления у.з. дефекто- скопа, дБ	Координата маркера ВРЧ, мм				
				20	37	54	70	87
ИО 1	ПСО (10 мм)	117	30,5	Уровень ВРЧ, дБ				
				19,5	11	6	2,5	0
ИО 2	ПСО (8 мм)	117	32	Координата маркера ВРЧ, мм				
				20	37	54	70	87
ИО 3	ПЦО (5 мм)	117	19,5	Уровень ВРЧ, дБ				
				21	11,5	6	2,5	0
ИО 4	ПЦО (8 мм)	117	11,5	Координата маркера ВРЧ, мм				
				20	37	54	70	87
ИО 4	ПЦО (8 мм)	117	11,5	Уровень ВРЧ, дБ				
				21	11,5	6	2,5	0

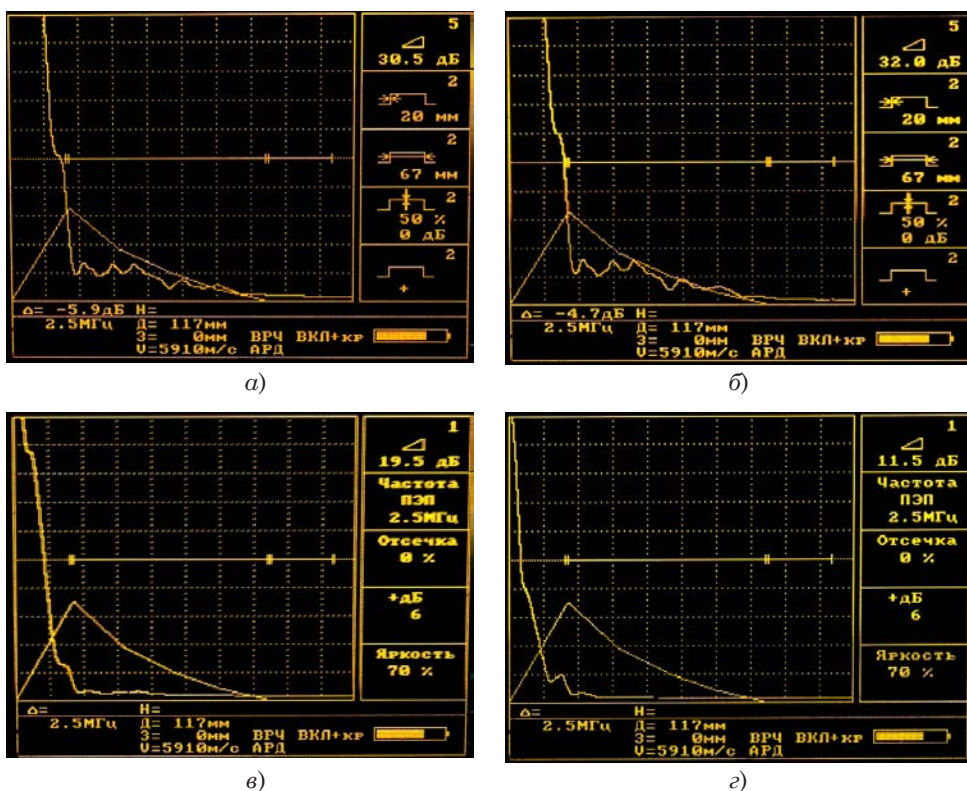


Рис. 5. А-сканы настроек у.з. дефектоскопа

а – для ПСО диаметром 10 мм; б – для ПСО диаметром 8 мм; в – для ПЦО диаметром 5 мм; г – для ПЦО диаметром 8 мм

На необходимой настройке определялся эхосигнал от соответствующего ИО (рис. 6). Контрольный уровень – 50 % вертикальной шкалы экрана дефектоскопа.

Как видно из проведенного эксперимента, при определении амплитуд эхосигналов от ИО превышение контрольного уровня (50 % вертикальной шкалы

экрана дефектоскопа) составляет максимум 0,5 дБ (рис. 6, а;  $\Delta = 0,5 \text{ дБ}$ ), что находится в пределах погрешности метода, а значит, подтверждает высокую достоверность предложенных безэталонных методов отстройки функции ВРЧ при ультразвуковом контроле деталей ПСЖД эхоимпульсным методом. ■

### Литература

1. Баранов А. В. Надежность и диагностика технических систем : учебное пособие. – Челябинск : РГТА, 2006. 138 с. ISBN 5-88435-212-3.
2. Бервинов В. И. Техническое диагностирование и неразрушающий контроль деталей и узлов локомотивов : учебное пособие / В. И. Бервинов, Е. Ю. Доронин, И. П. Зенин; под ред. В. И. Бервинова. – М. : ГОУ «Учебно-методический центр по образованию на железнодорожном транспорте», 2008. 332 с. ISBN 978-5-89035-462-4.
3. Криворудченко В. Ф. Современные методы технической диагностики и неразрушающего контроля деталей и узлов подвижного состава железнодорожного транспорта : учебное пособие / В. Ф. Криворудченко, Р. А. Ахмеджанов. – М. : Маршрут, 2005. 434 с. ISBN 5-89035-187-7.

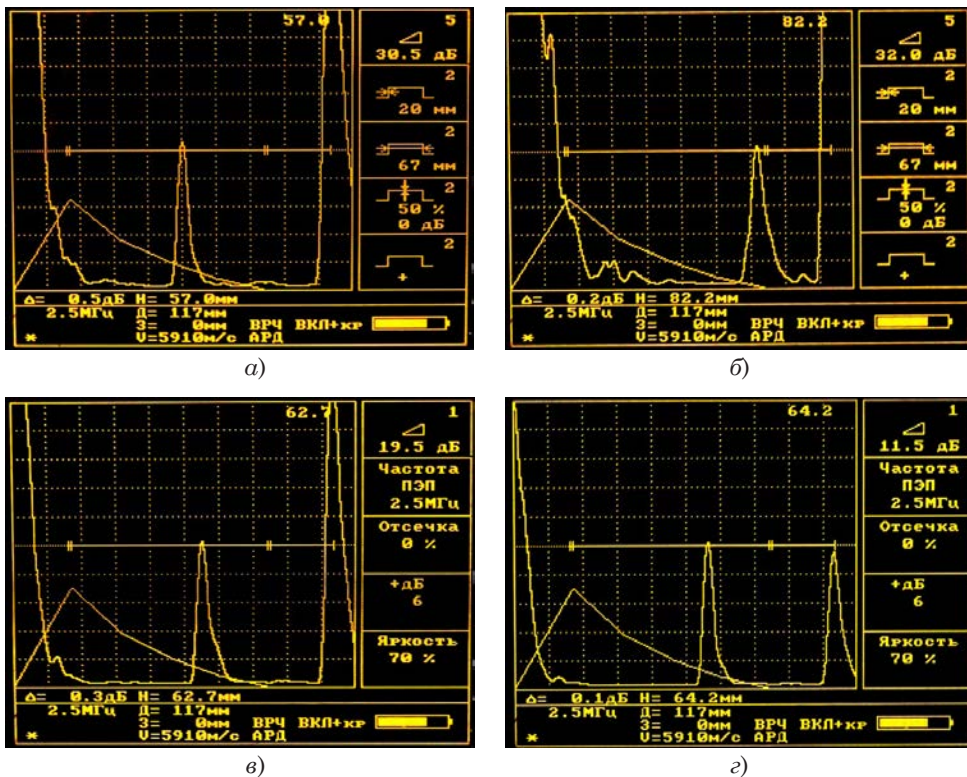


Рис. 6. А-сканы эхосигналов от ИО  
а – от ИО 1; б – от ИО 2; в – от ИО 3; г – от ИО 4

- Ермолов И. Н. Неразрушающий контроль. Кн. 2 : Акустические методы контроля / И. Н. Ермолов, Н. П. Алешин, А. И. Потапов. – М. : Высшая школа, 1991. 283 с.
- Ермолов И. Н. Теория и практика ультразвукового контроля. М. : Машиностроение, 1981. 240 с.
- Киреев А. М. Наукові основи та практична реалізація вдосконалення ультразвукового контролю елементів та систем рухомого складу залізниць : монографія. – Луганськ : Вид-во «Наулідж», 2012. 142 с. ISBN 978-617-579-504-0.
- Киреев А. Н. Настройка функции ВРЧ ультразвуковой аппаратуры при диагностировании элементов экипажной части подвижного состава железных дорог // Вестник УрГУПС. 2016. № 1 (29). С. 23–29. ISSN 2079-0392.
- Киреев А. Н. Усовершенствование ультразвукового диагностирования литых элементов подвижного состава железных дорог / А. Н. Киреев, В. И. Додонов // Вестник Луганского национального университета им. В. Даля. 2017. № 2 (4). Ч. 2. С. 85–91. ISSN 2519-4291.

#### Literature

- Baranov A. V. Reliability and diagnostics of technical systems [Nadezhnost» i diagnostika tekhnicheskikh system]: a tutorial. – Rybinsk : RGATA, 2006. 138 p. ISBN 5-88435-212-3
- Bervinov V. I. Technical diagnostics and non-destructive testing of parts and assemblies of locomotives [Tekhnicheskoe diagnostirovanie i nerazrushayushchij kontrol' detalej i uzlov lokomotivov] : tutorial / V. I. Bervinov, E. Yu. Doronin, I. P. Zenin; Ed. V. I. Bervinova. – M. : State educational institution the «Educational and Methodological center by education on a railway transport», 2008. 332 p. ISBN 978-5-89035-462-4.
- Krivorudchenko V. F. Modern methods of technical diagnostics and non-destructive testing of parts and assemblies of the rolling stock of railway transport [Sovremennye

- metody tekhnicheskoy diagnostiki i nerazrushayushchego kontrolya detalej i uzlov podvizhnogo sostava zheleznodorozhnogo transporta] : textbook / V.F. Krivorudchenko, R.A. Akhmedzhanov. – M. : The route, 2005. 434 p. ISBN 5-89035-187-7.
4. Ermolov I.N. Unbrakable control. Book. 2 : Acoustic methods of control [Nerazrushayushchij kontrol]. Kn. 2 : Akusticheskie metody kontrolya / I.N. Ermolov, N.P. Aleshin, A.I. Potapov. – M. : High School, 1991. 283 p.
  5. Ermolov I.N. Theory and practice of ultrasonic control [Teoriya i praktika ul'trazvukovogo kontrolya]. M. : Mechanical Engineering, 1981. 240 p.
  6. Kireev A.M Scientific fundamentals and practical implementation of improvement of ultrasonic control of elements and systems of rolling stock of railways [Naukovi osnovy ta praktychna realizatsiia vdoskonalennia ultrazvukovoho kontroliu elementiv ta system rukhomoho skladu zaliznyts] : monograph. – Lugansk : «Noulig», 2012. 142 p. ISBN 978-617-579-504-0.
  7. Kireev A.N. Adjustment of the function of the ultrasonic equipment of the ultrasonic equipment for diagnosing elements of the crew part of rolling stock of railways [Nastrojka funkcii VRCH ul'trazvukovoj apparatury pri diagnostirovanii ehlementov ehkipazhnoj chasti podvizhnogo sostava zheleznyh dorog] // Herald of USURT. 2016. № 1 (29). Pp. 23–29. ISSN 2079-0392.
  8. Kireev A.N. Improvement of ultrasonic diagnostics of cast elements of rolling stock of railways [Usovershenstvovanie ul'trazvukovogo diagnostirovaniya lityh ehlementov podvizhnogo sostava zheleznyh dorog] / A.N. Kireev, V.I. Dodonov // Herald of the Lugansk National University named after V. Dal. 2017. № 2 (4). Part 2. Pp. 85–91. ISSN 2519-4291.

*Статья сдана в редакцию 24 октября 2017 года*

УДК 621.316.925.014.7

*П. С. Пинчуков, С. И. Макашёва***Повышение устойчивости функционирования устройств релейной защиты параллельных линий 6–35 кВ**

UDC 621.316.925.014.7

*P. S. Pinchukov, S. I. Makasheva***Increasing the stability of functioning devices of relay protection of parallel lines 6–35 kV****Аннотация**

В настоящей статье рассматриваются электромагнитные процессы при однофазном замыкании на землю в одной из параллельных линий продольного электроснабжения разного номинального напряжения. Исследована работа устройств релейной защиты линий, анализируются векторные диаграммы токов и напряжений при однофазных замыканиях на землю в параллельных линиях разного класса напряжений. Определены наиболее вероятные причины излишних срабатываний защит в неповрежденной линии при возникновении однофазных замыканий на землю в параллельной линии. Для повышения устойчивости функционирования защит параллельных линий продольного электроснабжения разного номинального напряжения предлагается устройство для защиты линий с изолированной нейтралью, рассматривается его работа при однофазных замыканиях на землю.

**Ключевые слова:** продольное электроснабжение, нетяговые потребители, однофазное замыкание на землю (ОЗЗ), изолированная нейтраль, релейная защита, селективность, электромагнитная совместимость, электромагнитное влияние.

DOI: 10.20291/2079-0392-2017-4-67-76

**Annotation**

In the real article electromagnetic processes are considered for a single-phase earth fault in one of the parallel lines of longitudinal power supply of different rated voltages. The operation of line protection relays is investigated, vector diagrams of currents and voltages are analyzed for single-phase earth faults in parallel lines of different voltage class. The most probable causes of excessive protection trips in an undamaged line are identified when single-phase earth faults occur in a parallel line. To increase the stability of the protection of parallel lines of longitudinal power supply of different rated voltages, a device for protecting lines with an isolated neutral is proposed, and its operation is considered for single-phase earth faults.

**Key words:** longitudinal power supply, non-traction consumers, single-phase earth fault (OZZ), isolated neutral, relay protection, selectivity, electromagnetic compatibility, electromagnetic influence.

DOI: 10.20291/2079-0392-2017-4-67-76

*Статья рекомендована к опубликованию А.В. Параниным, канд. техн. наук, доцентом; Уральский государственный университет путей сообщения; Екатеринбург, Россия. E-mail: AParanin@usurt.ru.*

**Павел Сергеевич Пинчуков**, канд. техн. наук, доцент, директор Электроэнергетического института; кафедра «Системы электроснабжения» Дальневосточного государственного университета путей сообщения; Хабаровск, Россия. E-mail: dee@festu.khv.ru.

**Светлана Игоревна Макашёва**, канд. техн. наук, доцент; кафедра «Системы электроснабжения» Дальневосточного государственного университета путей сообщения; Хабаровск, Россия. E-mail: ens@festu.khv.ru.

*The article is recommended for publication by A.V. Pararin, PhD in tech. sciences, associate professor; Ural State University of Railway Transport; Yekaterinburg, Russia. E-mail: AParanin@usurt.ru.*

**Pavel Sergeevich Pinchukov**, PhD in tech. Sci., Associate Professor, Director of the Electric Power Institute; Department of «Power Supply Systems» of the Far Eastern State Transport University; Khabarovsk, Russia. E-mail: dee@festu.khv.ru.

**Svetlana Igorevna Makasheva**, PhD in tech. Sci., Associate Professor; Department of Power Supply Systems of the Far Eastern State Transport University; Khabarovsk, Russia. E-mail: ens@festu.khv.ru.



Линии электропередачи напряжением 6–35 кВ служат основой распределительных электрических сетей городов, промышленных и сельскохозяйственных предприятий, систем обеспечения движения поездов в качестве линий продольного электроснабжения нетяговых потребителей железнодородного транспорта [1–3].

Особенность линий продольного электроснабжения железнодорожных дорог – значительная степень их разветвленности при относительно небольших электрических нагрузках [1–3]. Из-за дефицита свободных территорий для сооружения воздушных линий продольного электроснабжения 6–35 кВ, идущих параллельно трассе железной дороги и друг другу, такие линии располагают на одних (общих) опорах.

На общих опорах располагаются трехфазные высоковольтные линии: одна линия – исключительно для основного питания устройств железнодорожной сигнализации, централизации и блокировки (ВЛ СЦБ) и другая линия продольного электроснабжения (ВЛ ПЭ) – для резервного питания потребителей СЦБ и основного питания прочих нетяговых потребителей – депо, мастерских и т.п. Для таких линий могут применяться разные номинальные напряжения. Например, для ВЛ СЦБ при относительно небольших мощностях нагрузки устройств СЦБ – номинальное напряжение 10 кВ, а для линии ВЛ ПЭ, питающей нагрузки прилегающих к железной дороге сельскохозяйственных или промышленных районов большей мощности, – 35 кВ. При расположении параллельных линий электропередачи разного номинального напряжения на одних опорах особое внимание требуется уделять вопросам обеспечения их электромагнитной совместимости друг с другом, окружающей средой, со смежными устройствами и другими элементами системы продольного электроснабжения.

Проблема электромагнитной совместимости параллельных линий продольного электроснабжения, имеющих разные номинальные напряжения, заключается в низкой устойчивости функционирования их устройств релейной защиты. Статистический анализ отключений параллельных линий, расположенных на общих опорах, показал, что в случае однофазных замыканий на землю (ОЗЗ) в линии большего номинального напряжения происходит некорректная работа устройств релейной защиты в параллельной линии меньшего номинального напряжения [3, 5–10]. В результате ОЗЗ в линии большего номинального напряжения устройства релейной защиты неповрежденной линии меньшего номинального напряжения срабатывают и отключают эту неповрежденную линию меньшего номинального напряжения, хотя этого и не требуется. В этом случае работа неповрежденной линии меньшего номинального напряжения устройств релейной защиты трактуется как излишнее срабатывание и характеризует низкую устойчивость функционирования устройств релейной защиты [4–6, 8–10].

Вопросы неправильных срабатываний релейных защит параллельных линий продольного электроснабжения, содержащих результаты статистического анализа фактов некорректной работы устройств релейной защиты параллельных линий продольного электроснабжения напряжением 6–35 кВ, рассматривались в [4–6, 12].

Необходимо повысить устойчивость функционирования устройств релейной защиты, определив причины излишнего срабатывания устройств релейной защиты, проанализировать электромагнитные процессы, происходящие при ОЗЗ на одной из параллельных линий продольного электроснабжения, и разработать устройство, позволяющее исключить случаи излишнего срабатывания устройств релейной защиты линий продольного электроснабжения 6–35 кВ.

### Анализ векторных диаграмм токов и напряжений параллельных линий продольного электроснабжения при ОЗЗ в одной из них

Схема трехфазной системы продольного электроснабжения нетяговых потребителей железнодорожного транспорта, включающей две параллельные высоковольтные линии электропередачи одинакового номинального напряжения при наличии в одной из них ОЗЗ, приведена на рис. 1.

Например, пусть номинальное напряжение каждой линии составляет 10 кВ. При возникновении однофазного замыкания на землю фазы А ВЛ 1 (рис. 1) ток однофазного замыкания на землю  $I_{A1} = I_{O33}$  через ёмкостные сопротивления неповрежденных фаз относительно земли  $X_{C0}$  каждой линии будет протекать в двух фазах ВЛ 1 и ВЛ 2. При этом в линии ВЛ 1 (рис. 1) формируются ток нулевой последовательности и напряжение нулевой последовательности (рис. 2, а).

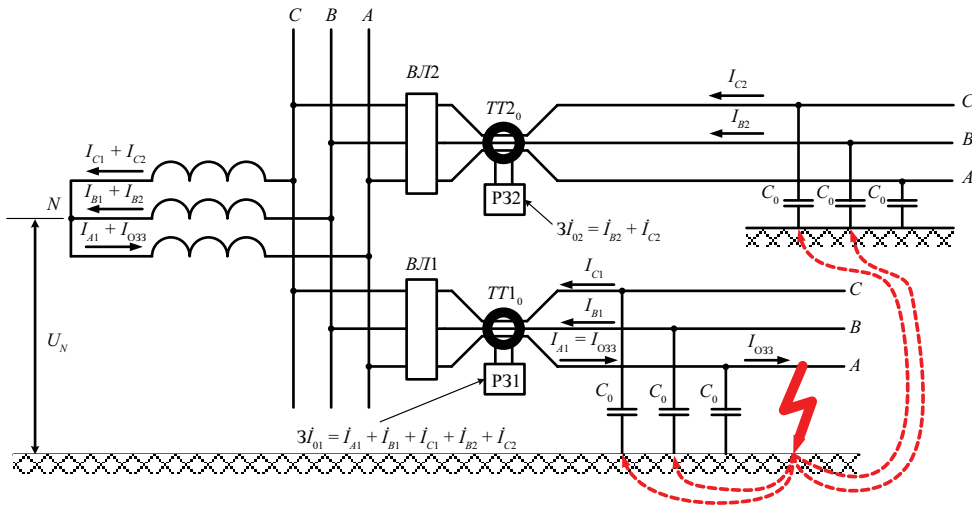


Рис. 1. Однофазное замыкание на землю в системе продольного электроснабжения с изолированной нейтралью

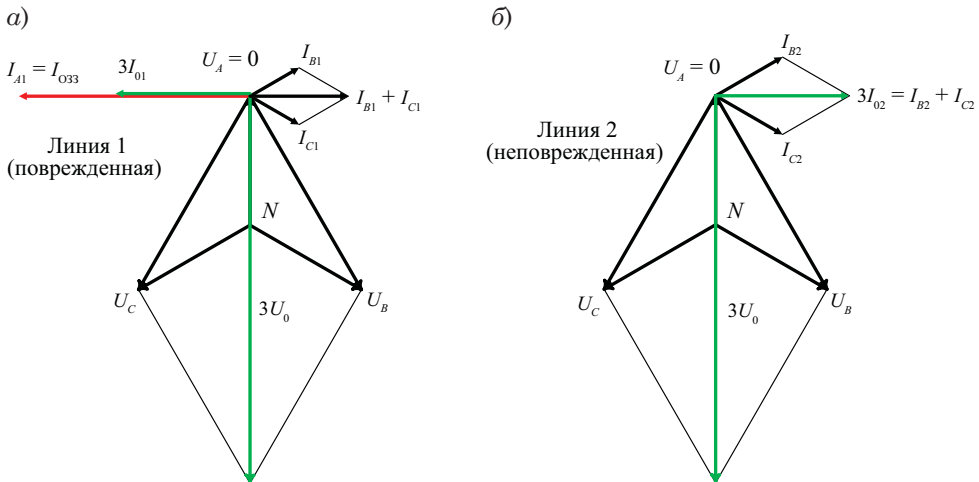


Рис. 2. Векторная диаграмма токов и напряжений в поврежденной линии (а) и неповрежденной линии (б) при ОЗЗ в одной из них



Вектор тока нулевой последовательности поврежденной линии отстает от вектора напряжения нулевой последовательности этой же линии из-за ёмкостной природы тока нулевой последовательности (рис. 2, а). Угол между вектором тока нулевой последовательности и вектором напряжения нулевой последовательности составляет  $90^\circ$ . Эксплуатируемые в настоящее время устройства релейной защиты поврежденной линии 1 срабатывают и отключают эту поврежденную линию при наличии условий: напряжение нулевой последовательности; ток нулевой последовательности; угол между напряжением нулевой последовательности и током нулевой последовательности равен  $90^\circ$ ; вектор напряжения нулевой последовательности опережает вектор тока нулевой последовательности.

Для поврежденной линии 1 эти условия соблюдены, поэтому ее устройства релейной защиты срабатывают и ликвидируют ОЗЗ (рис. 2, а).

Для неповрежденной линии 2 присутствуют только три условия из четырех (рис. 2, б). Опережения вектором напряжения нулевой последовательности вектора тока нулевой последовательности нет, поэтому ее устройства релейной защиты не сработают. Неповрежденная линия 2 продолжает оставаться во

включенном состоянии. Ясно, что работа устройств релейной защиты обеих линий корректна, устойчивость их функционирования высокая.

Рассмотрим процессы, происходящие в линиях разного номинального напряжения при ОЗЗ в одной из них. На рис. 3 представлена схема трехфазной системы продольного электроснабжения нетяговых потребителей железнодорожного транспорта, которая включает две параллельные высоковольтные линии электропередачи с изолированной нейтралью разного номинального напряжения.

Например, пусть номинальное напряжение линии 1 равно 10 кВ, а номинальное напряжение линии 2 – 35 кВ. При однофазном замыкании на землю фазы А линии 1 физические процессы, происходящие в этой линии, такие же, как в случае с одинаковым номинальным напряжением каждой из линий. Правильная работа устройств релейной защиты отключает поврежденную линию 1 и ликвидирует ОЗЗ, а неповрежденная линия 2 остается в работе.

В неповрежденной линии 2, имеющей более высокое номинальное напряжение 35 кВ, напряжение нулевой последовательности первой линии 1 создает в окружающем пространстве

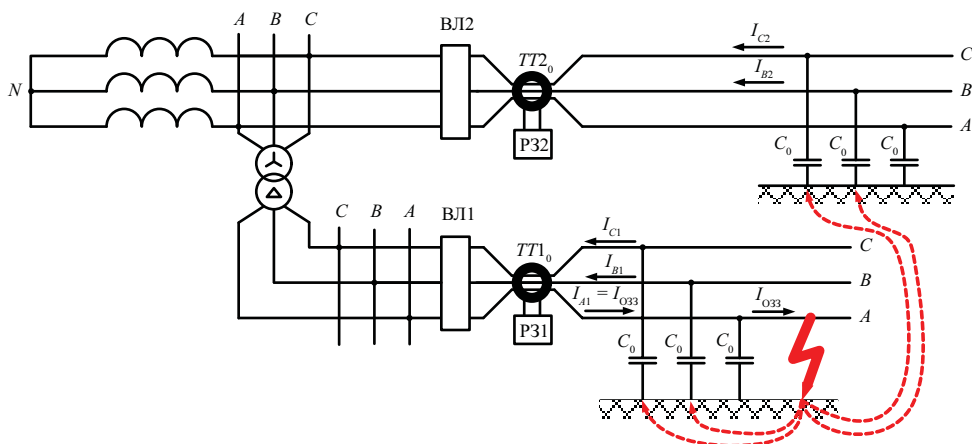


Рис. 3. Однофазное замыкание на землю в одной из двух параллельных линий меньшего номинального напряжения

электрическое поле. Электрическое поле индуцирует в неповреждённой линии 2 напряжение, которое значительно меньше фазных напряжений этой линии 2, что не нарушает их симметрии. Система фазных напряжений линии 2 по-прежнему симметрична, поэтому напряжение нулевой последовательности в линии 2 не создается. Поскольку в линии 2 для устройств ее релейной защиты вектор напряжения нулевой последовательности не опережает вектор тока нулевой последовательности, то их срабатывание не происходит, и неповрежденная линия 2 продолжает находиться во включенном состоянии. В этом случае работа устройств релейной защиты обеих линий корректна, устойчивость их функционирования также высокая.

Однако ситуация значительно изменяется, когда переходим к рассмотрению процессов, происходящих в линиях разного номинального напряжения при ОЗЗ в линии большего номинального напряжения. Схема трехфазной системы продольного электроснабжения нетяговых потребителей железнодорожного транспорта, которая включает две параллельные

высоковольтные линии электропередачи с изолированной нейтралью разного номинального напряжения, представлена на рис. 4.

В систему входят линия 1 напряжением 10 кВ и линия 2 напряжением 35 кВ. ОЗЗ происходит в фазе А линии 2 большего номинального напряжения. При однофазном замыкании на землю фазы А линии 2 физические процессы, происходящие в этой линии, остаются такими же, как в случае двух линий равного номинального напряжения. Векторная диаграмма токов и напряжений в этой поврежденной линии приведена на рис. 5, а.

В случае ОЗЗ в линии большего номинального напряжения (35 кВ) устройства релейной защиты отключают поврежденную линию 2 и ликвидируют в ней ОЗЗ. Для устройств релейной защиты этой поврежденной линии 35 кВ устойчивость функционирования высокая.

В неповрежденной линии 1 номинальным напряжением 10 кВ напряжение нулевой последовательности линии 2 индуцирует напряжение, которое значительно превышает номинальные напряжения фазы линии 1

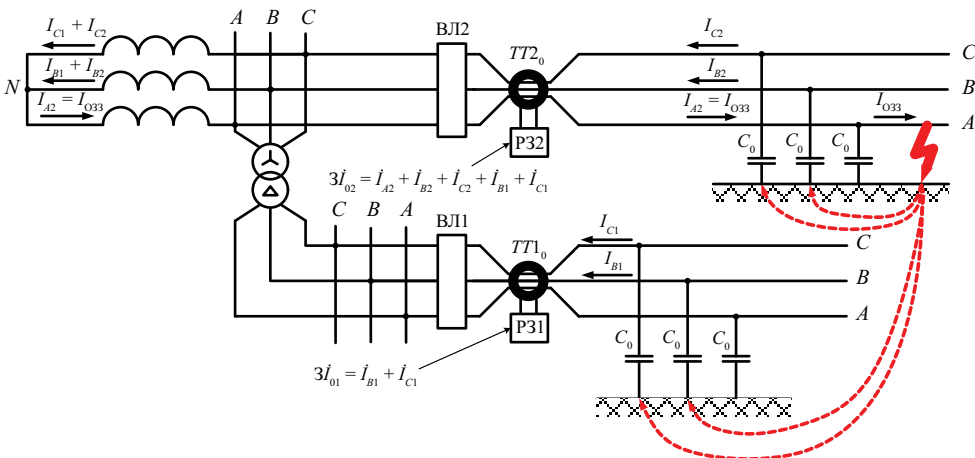


Рис. 4. Однофазное замыкание на землю в одной из двух параллельных линий большего номинального напряжения

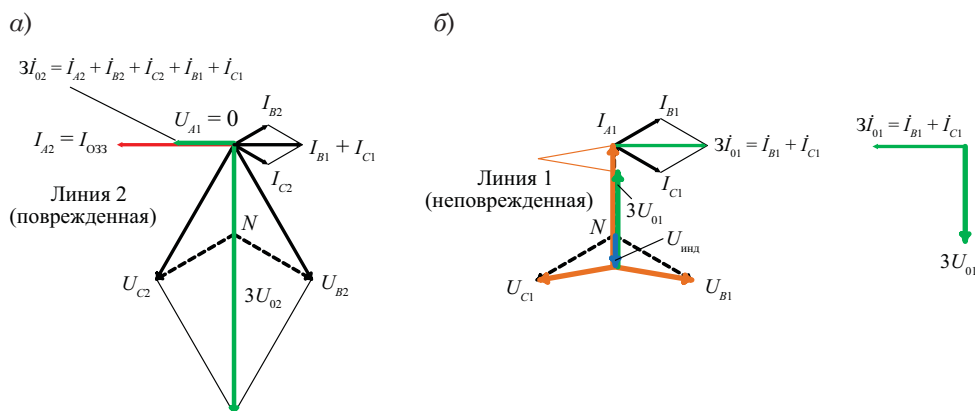


Рис. 5. Векторная диаграмма токов и напряжений в повреждённой линии (а) и неповрежденной линии (б) при ОЗЗ в одной из них

(рис. 5, б). Индуцированное напряжение значительной величины нарушает симметрию фазных напряжений неповрежденной линии 1, что формирует в ней напряжения нулевой последовательности.

Рассмотрим, как напряжения нулевой последовательности, появившиеся вследствие электромагнитного влияния линии большего номинального напряжения, воздействуют на неповрежденную линию 2.

Ток нулевой последовательности в неповрежденной линии 1 формируется продольной емкостью и протекает в ней в направлении от конца линии 1 через шины подстанции к точке возникновения ОЗЗ. Иными словами, здесь присутствует ток нулевой последовательности.

Поскольку ток нулевой последовательности в неповрежденной линии 1 имеет емкостной характер, то его вектор отстает от вектора напряжения нулевой последовательности линии 1 на  $90^\circ$ . Это означает, что угол между напряжением нулевой последовательности и током нулевой последовательности равен  $90^\circ$ , а вектор напряжения нулевой последовательности опережает вектор тока нулевой последовательности.

Таким образом, при наличии всех четырех условий для срабатывания

устройств релейной защиты неповрежденной линии меньшего номинального напряжения 10 кВ происходит их срабатывание с отключением неповрежденной линии 1. Срабатывание устройств релейной защиты линии 1 при отсутствии повреждения в этой линии считается излишним и характеризует их низкую устойчивость функционирования.

Теперь, когда выявлена и проанализирована причина некорректной работы устройств релейной защиты в случае ОЗЗ на параллельных линиях разного номинального напряжения, можно решить проблему низкой устойчивости функционирования устройств релейной защиты несколькими способами.

Во-первых, можно предпринять меры для снижения и устранения электромагнитного влияния как такового. В этом случае в электрических сетях применимы следующие основные способы [11]: подавление излучения на его источнике (в нашем случае – подавление величины напряжения нулевой последовательности при ОЗЗ в линии большего номинального напряжения); ослабление пути связи между источником электромагнитного влияния и приемником (в нашем случае – ослабление электрического поля в пространстве, окружающем провода высоковольтных линий продольного электроснабжения); уменьшение восприимчивости

приемника электромагнитного влияния к эмиссии (в нашем случае – экранирование линии меньшего номинального напряжения).

Сложная задача уменьшения электромагнитного влияния должна быть решена при условии минимизации затрат, что для работающих линий продольного электроснабжения трудно выполнимо.

### Устройство для защиты линий с изолированной нейтралью

Для повышения устойчивости функционирования устройств релейной защиты линий продольного электроснабжения предлагается использование запатентованного устройства для защиты линий с изолированной нейтралью [12] (рис. 6).

Устройство для защиты линий с изолированной нейтралью представляет собой два блока защиты от однофазных замыканий на землю 1, 2, инвертор 3, конъюнктор 4 и усилитель 5. Каждый блок защиты от ОЗЗ 1, 2 содержит датчик тока нулевой последовательности 6, датчик напряжения

нулевой последовательности 7, реле направления мощности нулевой последовательности 8 и реле времени 9; 10 и 11 – привод выключателя и высоковольтный выключатель линии меньшего класса напряжения, 12 и 13 – привод выключателя и высоковольтный выключатель линии большего класса напряжения.

Устройство для защиты линий с изолированной нейтралью устанавливается на подстанции и подключается к каждой из параллельных линий разного класса напряжений, например, 10 кВ и 35 кВ.

Рассмотрим работу предлагаемого устройства при ОЗЗ на линии номинального напряжения 35 кВ, при этом применимы схема, приведенная на рис. 4, и векторные диаграммы, приведенные на рис. 5.

При появлении ОЗЗ в поврежденной линии 35 кВ на шинах питающей подстанции нарушается симметрия системы фазных напряжений и формируется напряжение нулевой последовательности. В поврежденной линии 35 кВ возникает ток нулевой последовательности, протекающий в ней

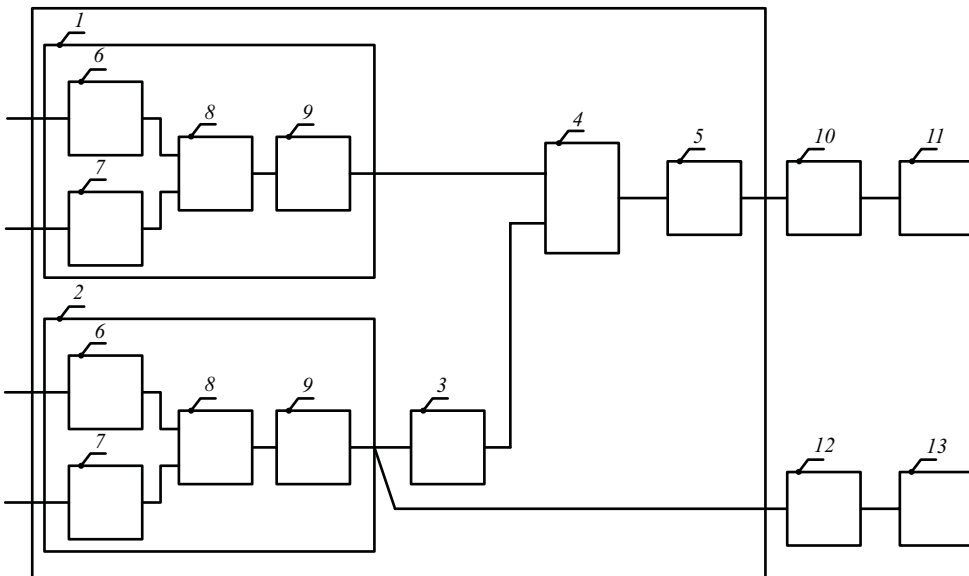


Рис. 6. Принципиальная схема устройства для защиты линий с изолированной нейтралью

в направлении от шин понизительной подстанции к месту ОЗЗ.

В неповреждённой линии 10 кВ электрическое поле, созданное напряжением нулевой последовательности повреждённой линии 35 кВ, индуцирует наведённое напряжение, величина которого соизмерима с величиной фазных напряжений в неповреждённой линии 10 кВ. Наведённое напряжение нарушает симметрию фазных напряжений линии 10 кВ и на шинах понизительной подстанции формируется напряжение нулевой последовательности. В самой неповреждённой линии 10 кВ протекает ток нулевой последовательности в направлении от конца этой линии к шинам понизительной подстанции.

Токи и напряжения нулевой последовательности каждой линии фиксируются датчиками тока нулевой последовательности 1 и напряжения нулевой последовательности 2 каждого блока защиты от ОЗЗ 1, 2. Далее соответствующие токи и напряжения нулевой последовательности каждой линии поступают на реле направления мощности нулевой последовательности 8 каждого блока защиты 1, 2. Значение угла сдвига фаз между векторами тока и напряжения нулевой последовательности равно  $90^\circ$ , причем вектор тока нулевой последовательности отстает от вектора напряжения нулевой последовательности. Это приводит к срабатыванию реле направления мощности нулевой последовательности 8 каждого блока защиты 1, 2 с формированием сигнала на запуск реле времени 9 каждого блока защиты 1, 2. При поступлении такого сигнала на реле времени 9 каждого блока защиты 1, 2 каждое реле времени 9 начинает отсчитывать фиксированную выдержку времени и по ее достижении формирует сигнал напряжения уровня логической единицы.

Сигнал напряжения уровня логической единицы от реле времени 9 первого блока защиты 1 устройства для защиты в линии 10 кВ поступает на первый вход конъюнктора 4.

Сигнал напряжения уровня логической единицы от реле времени 9 второго блока защиты 2 устройства для защиты в линии 35 кВ одновременно поступает на инвертор 3 и на привод выключателя 12 этой линии.

При поступлении сигнала напряжения уровня логической единицы на привод выключателя 12 последний срабатывает и отключает выключатель 13 повреждённой линии 35 кВ. Эта повреждённая линия отключается, что позволяет сохранить работоспособность оставшейся части системы электроснабжения.

При поступлении сигнала напряжения уровня логической единицы в инвертор 3 он изменяется на противоположный сигнал напряжения уровня логического нуля и поступает на второй вход конъюнктора 4.

В конъюнкторе 4 при комбинации входных сигналов напряжения уровня логических единицы и нуля на его выходе формируется сигнал напряжения уровня логического нуля, который через усилитель 5 поступает на привод 10 выключателя неповреждённой линии 10 кВ. Величина сигнала напряжения уровня логического нуля недостаточна для срабатывания привода выключателя 10 неповреждённой линии 10 кВ. При поступлении такого сигнала напряжения на привод 10 выключателя неповреждённой линии 10 кВ выключатель 11 этой линии включен, а сама неповрежденная линия остается в работоспособном состоянии с сохранением электропитания подключенных ответственных потребителей.

Использование предлагаемого устройства позволяет в случае ОЗЗ в линии большего номинального напряжения (35 кВ) корректно отключить только повреждённую линию, ликвидировать ОЗЗ в ней и сохранить во включенном состоянии параллельную линию меньшего номинального напряжения (10 кВ). Для устройств релейной защиты обеих линий продольного электроснабжения 10 кВ и 35 кВ в этом случае устойчивость функционирования становится высокой.

В результате проведенных исследований определены причины излишних срабатываний релейных защит параллельных линий разного класса напряжений при возникновении однофазного замыкания на землю в одной из них. Предложено устройство для

защиты линий с изолированной нейтралью, применение которого позволяет исключить излишние срабатывания и повысить устойчивость функционирования устройств релейной защиты параллельных линий продольного электроснабжения 6–35 кВ. ■

#### Литература

1. Инновационный дайджест ОАО «РЖД». URL: <http://www.rzd-expo.ru/> (дата обращения: 16.06.2017).
2. Тер-Оганов Э. В., Пышкин А. А. Электроснабжение железных дорог : учебник для студентов университета. – Екатеринбург : УрГУПС. 2014. 432 с. ISBN 978-94614-299-7.
3. Transmission and Distribution Lines. IMIA WGP 069 (10). IMIA Conference, Berlin, 2010. URL: [https://www.imia.com/wp-content/uploads/2013/05/IMIA-WGP-6910-Transmission-and-Distribution-Lines20\\_05\\_2010-3.pdf](https://www.imia.com/wp-content/uploads/2013/05/IMIA-WGP-6910-Transmission-and-Distribution-Lines20_05_2010-3.pdf) (дата обращения: 20.06.2017).
4. Макашева С. И., Читашвили Я. М. Исследование электромагнитной совместимости электрических сетей / Научно-техническое и экономическое сотрудничество стран АТР в XXI веке. – Хабаровск : Изд-во ДВГУПС, 2014. Т. 1. С. 100–104.
5. Литвинов Е. Е., Пинчуков П. С. Исследование причин отказов микропроцессорных защит элементов электроэнергетических систем / Научно-техническое и экономическое сотрудничество стран АТР в XXI веке. – Хабаровск : Изд-во ДВГУПС, 2016. Т. 1. С. 313–317.
6. Пинчуков П. С., Макашова С. И. К вопросу о неправильных срабатываниях защит параллельных линий // Транспорт Азиатско-Тихоокеанского региона. 2016. № 4 (9). С. 18–21. ISSN 2415-8658.
7. Wang Li. The fault causes of overhead lines in distribution network // MATEC Web of Conferences 61/ 02017 (2016) APOP 2016.
8. Power outage annual report. Blackout tracker United States annual report 2015. URL: [http://www.sustainablepowersystems.com/wp-content/uploads/2016/03/US\\_BlackoutTracker\\_2015\\_Final.pdf](http://www.sustainablepowersystems.com/wp-content/uploads/2016/03/US_BlackoutTracker_2015_Final.pdf) (accessed date: 20.06.2017).
9. Gurevich V. Power supply devices and systems of relay protection, New York – London – Boca Raton : CRC Press (Taylor & Francis Group). 2013. 264 p.
10. Pritchard C., Hensler T. Test and analysis of protection behaviour on parallel lines with mutual coupling // APS. 2014. Pp.1–9.
11. Paul Cl. R. Introduction to electromagnetic compatibility. 2006, 102 p.
12. Устройство для защиты линий с изолированной нейтралью : а. с. № 168130 Рос. Федерация.

#### Literature

1. Innovative digest of JSC «Russian Railways» [Innovacionnyj dajdzhest ОАО «RZHD»]. URL: <http://www.rzd-expo.ru/> (reference date: 16.06. 2017).
2. Ter-Oganov E. V., Pyshkin A. A. Electricity supply of railways [Ehlektrosnabzhenie zheleznih dorog] : a tutorial for university students. – Ekaterinburg : USURT. 2014. 432 p. ISBN 978-94614-299-7.
3. Transmission and Distribution Lines. IMIA WGP 069 (10). IMIA Conference, Berlin, 2010. URL: [https://www.imia.com/wp-content/uploads/2013/05/IMIA-WGP-6910-Transmission-and-Distribution-Lines20\\_05\\_2010-3.pdf](https://www.imia.com/wp-content/uploads/2013/05/IMIA-WGP-6910-Transmission-and-Distribution-Lines20_05_2010-3.pdf) (reference date: 20.06.2017).
4. Makasheva S. I., Chitashvili Ya. M. Research of electromagnetic compatibility of electric networks / Scientific and technical and economic cooperation of the APR countries (Asia-Pacific Region) in the XXI century [Issledovanie ehlektromagnitnoj sovместимости ehlektricheskikh setej / Nauchno-tekhnicheskoe i ehkonomicheskoe sotrudnichestvo stran ATR v XXI veke]. – Khabarovsk : Publishing House of the FESTU, 2014. Т. 1. Pp. 100–104.
5. Litvinov E. E., Pinchukov P. S. Investigation of the causes of failures of microprocessor protection elements of electric power systems / Scientific and technical and economic cooperation of the APR countries in the XXI century [Issledovanie prichin otkazov

- mikroprocessornyh zashchit ehlementov ehlektroehnergeticheskikh sistem / Nauchno-tekhnicheskoe i ehkonomicheskoe sotrudnichestvo stran ATR v XXI veke]. – Khabarovsk : Publishing House of the FESTU, 2016. T. 1. Pp. 313–317.
6. Pinchukov P.S., Makasheva S.I. On the issue of incorrect operation of parallel line protections [K voprosu o nepravil'nyh srbatyvaniyah zashchit parallel'nyh linij] // Transport of the Asia-Pacific region. 2016. № . 4 (9). Pp. 18–21. ISSN 2415-8658.
  7. Wang Li. The fault of the overhead lines in the distribution network // MATEC Web of Conferences 61/02017 (2016) APOP 2016.
  8. Power outage annual report. Blackout tracker United States annual repot 2015. URL: [http://www.sustainablepowersystems.com/wp-content/uploads/2016/03/US\\_BlackoutTracker\\_2015\\_Final.pdf](http://www.sustainablepowersystems.com/wp-content/uploads/2016/03/US_BlackoutTracker_2015_Final.pdf) (accessed date: 20.06.2017).
  9. Gurevich V. Power supply devices and systems of relay protection, New York – London – Boca Raton : CRC Press (Taylor & Francis Group). 2013. 264 p.
  10. Pritchard C., Hensler T. Test and analysis of the protection behavior on parallel lines with mutual coupling // APS. 2014. Pp.1–9.
  11. Paul Cl. R. Introduction to electromagnetic compatibility. 2006, 102 p.
  12. Device for protection of lines with isolated neutral [Ustrojstvo dlya zashchity linij s izolirovannoj nejtral'yu] : a. c. № 168130 Rus. Federation.

*Статья сдана в редакцию 4 сентября 2017 года*



С. Г. Герман-Галкин, В. А. Кузнецов

## Оптимизация энергетических характеристик в электроприводе с вентильным двигателем

S. G. Herman-Galkin, V. A. Kuznetsov

## Optimization of power descriptions in electromechanic with valve engine

### Аннотация

Вентильный электропривод (ВЭП) позволяет формировать необходимые механические характеристики и переходные процессы, удовлетворяющие самым разнообразным технологическим задачам. Высокие энергетические показатели ВЭП достигаются благодаря применению высокоэнергетических магнитов на роторе. Однако существуют и другие возможности повышения энергетических показателей вентильного электропривода. Эти возможности связаны с тем, что вентильный двигатель является синхронным, в котором при определенном управлении можно изменять величину и знак реактивной мощности.

Наиболее полно возможности повышения энергоэффективности ВЭП можно обеспечить путем оптимизации режимов работы

двигателя при регулировании переменных режима (напряжения или тока на выходе инвертора) как в функции скорости, так и в функции электромагнитного момента. Решению этой задачи оптимизации посвящена настоящая статья.

Теоретически доказано и подтверждено моделированием, что в вентильном электроприводе в широком диапазоне изменения скорости и момента в двигательном и генераторном режимах реактивная мощность в контуре «машина – инвертор» может поддерживаться равной нулю. Представлена и исследована на модели новая концепция построения вентильного электропривода, обеспечивающая поддержание в системе нулевой реактивной мощности. Представлены результаты исследований электромагнитных и энергетических

характеристик вентильного электропривода. В настоящее время вентильные электроприводы нашли широкое распространение в транспортных системах, диапазон мощностей вентильных двигателей в которых лежат в пределах 200 кВт до 30 мВт. Проблемы энергоэффективности в таких системах являются первостепенными.

**Ключевые слова:** вентильный электропривод, контур «машина – инвертор», оптимизированные энергетические характеристики, структурная модель в пакете Simulink, результаты моделирования.

DOI: 10.20291/2079-0392-2017-4-77-84

### Annotation

A valve electric drive (VED) allows to form necessary mechanical descriptions and transients, satisfying to

*Статья рекомендована к опубликованию Б.С. Сергеевым, д-р техн. наук, профессором; Уральский государственный университет путей сообщения; Екатеринбург, Россия. E-mail: BSergeev@usurt.ru.*

**Сергей Германович Герман-Галкин**, д-р техн. наук, профессор; Институт судовой электротехники и автоматики Морской академии в Щецине; г. Щецин, Польша. E-mail: ggsg@yandex.ru.

**Владимир Александрович Кузнецов**, руководитель сектора; Центральный научно-исследовательский и опытно-конструкторский институт робототехники и технической кибернетики; Санкт-Петербург, Россия. E-mail: v.kuznetcov@rtc.ru.

*The article is recommended for publication by B.S. Sergeev, DSc in Tech. sciences, professor; Ural State University of Railway Transport; Yekaterinburg, Russia. E-mail: BSergeev@usurt.ru.*

**Sergey Germanovich German-Galkin**, DSc in Tech. Sciences, Professor; Institute of Marine Electrical Engineering and Automation of the Maritime Academy in Szczecin; Szczecin, Poland. E-mail: ggsg@yandex.ru.

**Vladimir Alexandrovich Kuznetsov**, head of the sector; Central Research and Development Institute of Robotics and Technical Cybernetics; Saint-Petersburg, Russia. E-mail: v.kuznetcov@rtc.ru.

the most various technological tasks. The high power indexes of VED are arrived at due to application of high-energy magnets on a rotor. However there are other possibilities of increase of power indexes of valve electro mechanic. These possibilities are related to that a valve engine is synchronous, in that at a certain management it is possible to change a size and sign of reactive-power.

The most full possibility of increase of the energy efficiency of VED can be provided by optimization of the modes of operations of engine at adjusting of environment (tension or current on the exit

of inverter) variables both in the function of speed and in the function of electromagnetic moment. The decision of this task of optimization the real article is sanctified to.

In theory it is well-proven and confirmed by a design, that in a valve electromechanic in the wide turn-down of speed and moment in motive and generator modes reactive-power in a contour a «machine – inverter» can be supported by equal to the zero. Presented and investigational on a model new conception of construction of valve electromechanic, providing maintenance in the system of a zero reactive-power. The results of re-

searches of electromagnetic and power descriptions of valve electromechanic are presented. Presently valve electromechanics found wide distribution in transport systems, range of powers of valve engines in that lie within the limits of 200 кВт to 30 мВт. Problems of energy efficiency in such systems are primary.

**Keywords:** valve drive circuit «machine – inverter», optimized energy performance, structural model in the package of Simulink, simulation results.

DOI: 10.20291/2079-0392-2017-4-77-84

**P**ermanent Magnet Synchronous Motors (PMSM) are widely used in many application areas including robotics [1, 2, 4, 5], optical orientation systems [3, 13, 16], high-precision machinery [9, 10, 18–20], electric vehicles [17, 19], etc.

Electrical drives based on PMSM enable engineer to implement the desired type of speed-load curve and overall drive dynamics thus meeting the requirements imposed in wide range of applications. PMSM drive efficiency is mainly achieved due to high energy product rare-earth magnets. Another way of increasing overall drive efficiency comes from the fact that it is possible to control the

reactive power stored in the motor. The article studies energy efficient control of PMSM drive.

Fig. 1 shows a typical PMSM drive structure [5, 7 and 14] comprising PMSM (PM), power semiconductor inverter (PI), control system (CS), reference frame converter (RFC) and angular rotor position sensor (PS).

Genetic optimization procedure and detailed characteristics of DBM70 PM synchronous motor used for calculations herein are given in [9]. DBM70 is a conventional surface magnet motor with double-layer concentrated winding featuring characteristics described in Table 1.

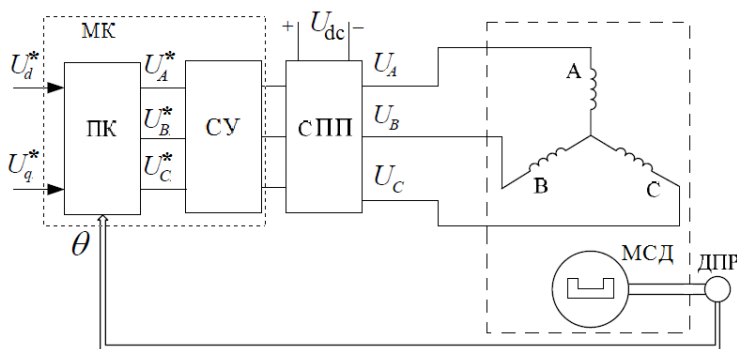


Fig. 1. PMSM drive structure

Table 1

DBM70 parameters		
Symbol	Quantity	Value
$P$	Power, W	416,48
$T_e$	Nominal torque, Nm	1,89
$V$	Nominal rotation speed, rad/s	219,8
$N$	Number of phases	3
$I$	Rotor moment of inertia, $\text{kg} \cdot \text{cm}^2$	0,2265
$U$	Nominal supply voltage, V	48
$K_T$	Torque constant, Nm/A	0,1230
$L_d$	Inductance, H	0,000455
$p$	Number of pole pairs	10
$R$	Phase resistance, $\Omega$	0,2186
$P_L$	Total power loss at rated torque and speed, W	49,54
$\eta$	Efficiency at rated power, %	89,37

The further discussion focuses on power inverter control algorithm influence on PMSM drive energy and power characteristics.

#### PMSM drive vector diagram

Vector diagram gives a visual interpretation of electromagnetic processes in electric drive that depend on type of motor and power inverter control algorithm used. In practice the control algorithm is normally implemented by using spatial-vector modulation method (SVC) [2, 12] and affects both amplitude and phase of voltage vector applied to motor. This type of control is further referred as amplitude-phase control.

PMSM vector diagrams in motor and generator operation modes are shown in Fig. 2

Magnitude of vector  $U_1$  is defined by equation [12]:

$$U_1 = \frac{m}{2} U_{dc} = U_q, \quad (1)$$

where  $m$  is modulation factor ( $0 \leq m \leq 1$ )

#### PMSM characteristics with amplitude-phase control

PMSM is described in  $d$ - $q$  reference frame by the equations:

$$\begin{aligned} U_d &= U_1 \sin(-\alpha) = r_1 I_d - \omega L_1 I_q, \\ U_q &= U_1 \cos(-\alpha) = r_1 I_q + \omega L_1 I_d + E_1. \end{aligned} \quad (2)$$

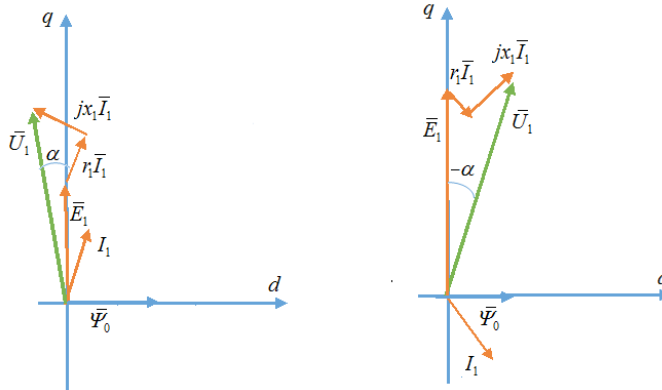


Fig. 2. PMSM vector diagrams in motor (left) and generator (right) modes

Stator current components  $I_d$  and  $I_q$  are determined from the solution of equations (2):

$$I_d = \frac{U_1 \sin(-\alpha) + \omega T (U_1 \cos(-\alpha) - \omega \varphi_0)}{r_1 (1 + \omega^2 T^2)}, \quad (3)$$

where  $T = \frac{L_1}{r_1}$ . Current drawn from the power supply is obtained from the energy balance condition:

$$I_{dc} = \frac{3m}{4} \frac{U_q - \omega \varphi_0}{r_1 (1 + \omega^2 T^2)}. \quad (4)$$

The electromagnetic torque is determined as follows:

$$T_e = \frac{3}{2} p \varphi_0 \frac{U_1 \cos(-\alpha) - \omega \varphi_0 - \omega T U_1 \sin(-\alpha)}{r_1 (1 + \omega^2 T^2)}. \quad (5)$$

Fig. 3 shows the set of speed-load curves calculated for DBM70 motor for  $m = 1,0$  and various angles  $\alpha$ .

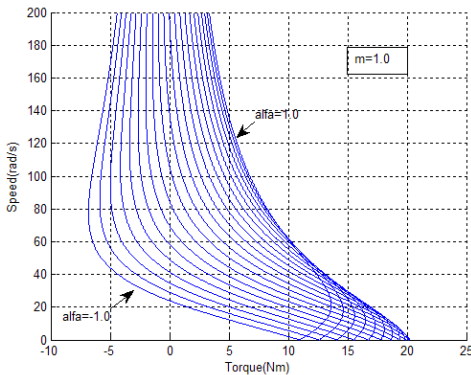


Fig. 3. PMSM speed-load curves for  $m = 1,0$

### PMSM drive characteristics with aptitude-phase control

Fig. 4 shows PMSM currents calculated by using equations (3) and (4).

It should be noted that the full current  $I_1$  of PMSM-PI system significantly exceeds quadruple  $I_q$  current component that produces electromagnetic torque. This phenomenon is caused by the presence of reactive power circulating in PMSM-PI system that increases additional losses in power semiconductors and motor windings.

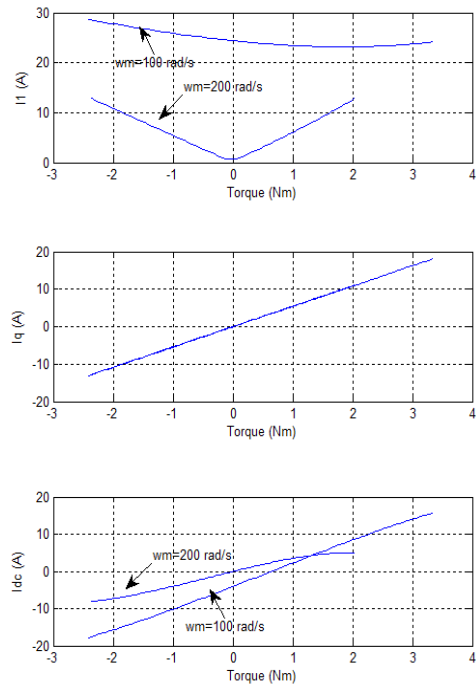


Fig. 4. PMSM currents for  $m = 1,0$  and amplitude-phase control

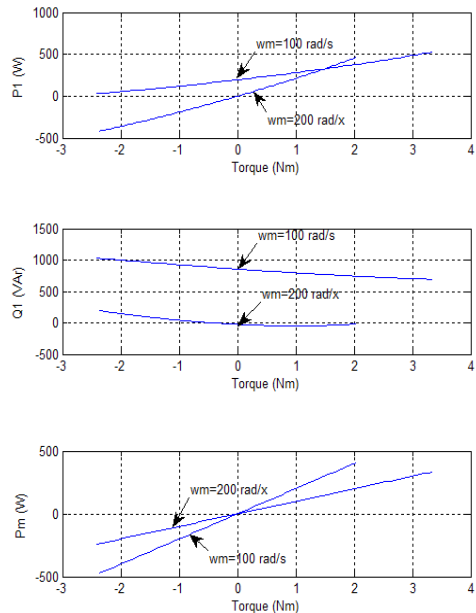


Fig. 5. PMSM drive power characteristics for  $m = 1,0$  and amplitude-phase control

Active  $P_1$  and reactive  $Q_1$  power drawn from the power inverter and output power are shown on Fig. 5 and determined as follows:

$$\begin{aligned} P_1 &= \frac{3}{2} U_1 (I_q \cos \alpha - I_d \sin \alpha); \\ Q_1 &= \frac{3}{2} U_1 (I_q \sin \alpha + I_d \cos \alpha); \\ P_m &= \frac{3}{2} p \Phi_0 \omega \frac{U_1 \cos \alpha - \frac{\omega}{p} (\Phi_0 - T U_1 \sin \alpha)}{r_1 (1 + \omega^2 T^2)}. \end{aligned} \quad (6)$$

### Power characteristics of optimized PMSM drive with aptitude-phase control

Power characteristics shown on Fig. 5 indicate that the drive reactive power  $Q_1$  remains significant within the whole electromagnetic torque variation range. The problem is to find such a control strategy that turns the reactive power  $Q_1$  into zero.

Solving the equations (1), (2), (3) and (6) for voltage  $U_1$ , that turns the reactive power into zero gives:

$$U_1 = \frac{\Phi_0}{T} \sin \alpha + \omega \Phi_0 \cos \alpha. \quad (7)$$

Fig. 6 and 7 depict PMSM drive electromagnetic and power characteristics calculated with  $U_1$  obtained from (7). Optimized electromagnetic characteristics show that the full current  $I_1$  and torque-producing quadruple current component  $I_q$  do not depend on the motor velocity.

Energy characteristics shown of Fig. 7 state that the reactive power  $Q_1$  is zero within the whole torque range thus increasing the overall drive efficiency. From equations (3), (6) and (7) the desired direct and quadruple voltage components are defined as

$$\begin{aligned} U_d &= -\frac{\Phi_0}{T} \sin^2 \alpha - \omega \Phi_0 \sin \alpha \cos \alpha; \\ U_q &= \frac{\Phi_0}{T} \sin \alpha \cos \alpha + \omega \Phi_0 \cos^2 \alpha. \end{aligned} \quad (8)$$

Equation (8) demonstrates that the electromagnetic torque can be controlled by a single angle  $\alpha$ , that is output from the speed regulator.

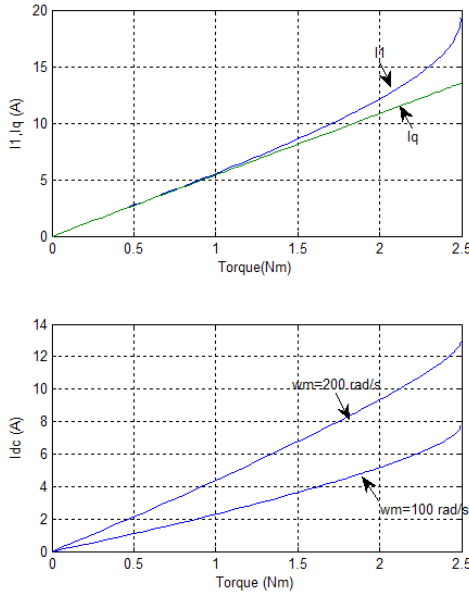


Fig. 6. Electromagnetic characteristics of the optimized PMSM drive with amplitude-phase control

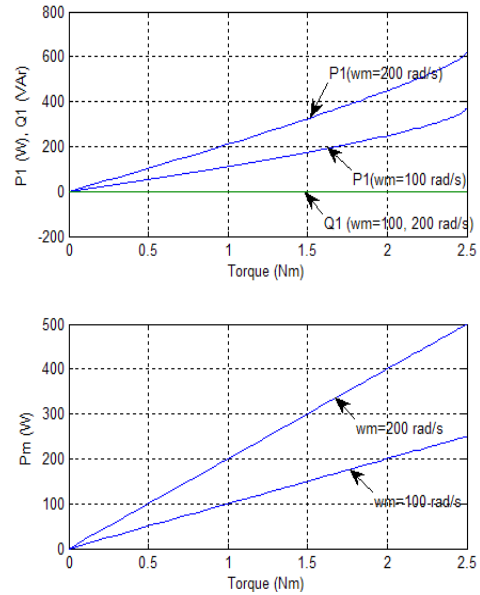


Fig. 7. Power characteristics of the optimized PMSM drive with amplitude-phase control

Fig. 8 show the transient processes of the PMSM drive implementing the proposed control strategy. In steady state the reactive power turns into zero providing high overall system efficiency.

### Conclusion

A PMSM motor and a drive comprising PMSM motor electromagnetic and power analysis is performed in order to determine the ways of increasing the total system efficiency. A simple control strategy is proposed that keeps the drive reactive power close to zero thus minimizing additional losses in power semiconductors and motor windings. Design methodology and simulation results are presented.

### Acknowledgment

The Applied scientific investigations are carried out with the financial support of the Russian Federation represented by the Russian Ministry of Education and Science. ■

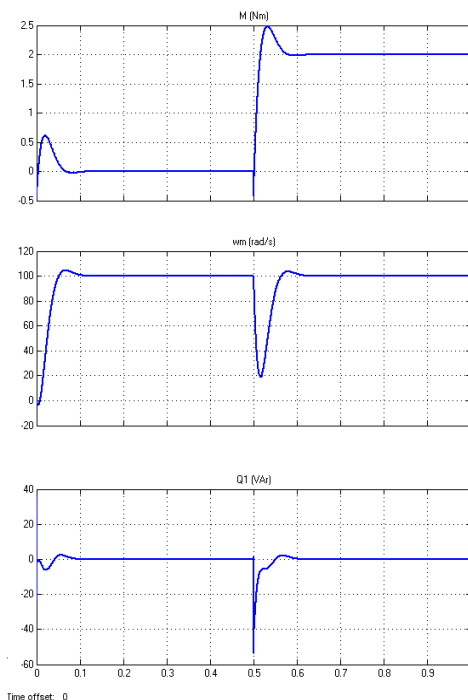


Fig. 8. Optimized PMSM drive transient response

### Литература

1. Аракелян А. К., Афанасьев А. А. Вентильные электрические машины в системах регулируемых электроприводов. М. : Высшая школа, 2006. 546 с.
2. Балковой А. П., Цацекин В. К. Прецизионный электропривод с вентильными двигателями. М. : Изд. дом МЭИ, 2010. 320 с.
3. Баранов М. В., Корчагин О. А. Высокомоментный мехатронный модуль привода телескопа // Вестник МГТУ. Сер. : «Машиностроение». 2012. С. 14–23.
4. Белецкий Ю. М., Микеров А. Г. Выбор и программирование параметров бесконтактного моментного привода. Л. : ЛДНТП. 1990. 24 с.
5. Бродовский В. Н., Иванов Е. С. Приводы с частотно-токовым управлением. М. : Энергия. 1974. 168 с.
6. Булгаков А. А. Новая теория управляемых выпрямителей. М. : Наука. 1970. 326 с.
7. Герман-Галкин С. Г. MatLAB – Simulink. Проектирование мехатронных систем. СПб : Корона-Век. 2008. 367 с.
8. Ковач К. П., Рац И. Переходные процессы в машинах переменного тока / Пер. с нем. М.-Л. : Госэнергоиздат, 1963. 735 с.
9. Новое направление в электроприводе – мощный многосекционный вентильно-индукторный электропривод с векторным управлением / В. Ф. Козаченко, В. Н. Остриров, А. М. Русаков, А. В. Дроздов, А. В. Сорокин, Ю. А. Крылов // Электронные компоненты : Тематический вып. : «Электропривод». 2006. №11. С. 38–47.
10. Овчинников И. Е. Вентильные электрические двигатели и привод на их основе (малая и средняя мощность). СПб : «Корона-век». 2006. 336 с.
11. Панкратов В. В. Вентильный электропривод от стиральной машины до металлорежущего станка и электровоза // Электронные компоненты. 2007. № 2. С. 68–77.
12. Розанов Ю. К. Силовая электроника. М. : Изд. дом МЭИ. 2007. 632 с.
13. Садовников М. А., Томасов В. С., Толмачев В. А. Прецизионный электропривод для оптических комплексов контроля космического пространства // Изв. вузов. Приборостроение. 2011. № 6 (54). С. 81–86.

14. Соколовский Г.Г. Электроприводы переменного тока с частотным управлением. М. : Изд. центр «Академия». 2006. 272 с.
15. Системы подчиненного регулирования электроприводов переменного тока с вентиляльными преобразователями / О.В. Слежановский, Л.Х. Дацковский, И.С. Кузнецов, Е.Д. Лебедев, Л.М. Тарасенко. – М. : Энергоатомиздат. 1983. 332 с.
16. Электроприводы высокоточных оптических комплексов контроля космического пространства / В.С. Томасов, В.А. Толмачев, В.Н. Дроздов, К.М. Денисов, А.В. Гурьянов // Труды VII Международн. (XVIII Всеросс.) конф. по автоматизированному электроприводу АЭП-2012. – Иваново. 2012. С. 213–216.
17. Тяговый электропривод с микропроцессорной системой управления электровоза ЭП200 при применении усовершенствованных алгоритмов управления / Г.И. Колпахчян, А.В. Лебедев, Е.М. Ефимов, Е.Ю. Парнюк // Вестн. ВЭЛНИИ. 2006. Вып. 1 (50). С. 80–90.
18. Электрические следящие приводы с моментным управлением исполнительными двигателями / М.В. Баранов и др. – М. : Изд-во МГТУ, 2006. 240 с.
19. Afonin A.A., Kramarz W., Cierzniewski P. Elektromechaniczne przetworniki energii z komutacją elektroniczną. Szczecin Wydawnictwo Politechniki Szczecińskiej 2000. 241 s.
20. Сравнительный анализ векторного управления и прямого управления моментом синхронного электродвигателя с постоянными магнитами / Абд Эль Вхаб Амр Рефки, А.С. Каракулов, Ю.Н. Дементьев, С.Н. Кладиев // Известия Томского политехнического университета. 2011. Т. 319. № 4. С. 93–99.

#### Literature

1. Arakelyan A. K., Afanasyev A. A. Valve electric machines in systems of adjustable electric drives [Ventil'nye ehlektricheskie mashiny v sistemah reguliruemykh ehlektroprivodov]. M. : High School, 2006. 546 p.
2. Balkova A. P., Tsatsekin V. K. Precision electric drive with valve motors [Precizionnyj ehlektroprivod s ventil'nymi dvigatelyami]. M. : Publishing house MPEI, 2010. 320 p.
3. Baranov M. V., Korchagin O. A. High-torque mechatronic drive module of the telescope [Vysokomomentnyj mekhatronnyj modul' privoda teleskopa] // Herald of MSTU. Ser. : «Mechanical engineering». 2012. Pp. 14–23.
4. Belenky Yu. M., Mikerov A. G. Selection and programming of the parameters of a non-contact torque drive [Vybor i programmirovaniye parametrov beskontaktnogo momentnogo privoda]. L. : LHSTP. 1990. 24 p.
5. Brodovsky V. N., Ivanov E. S. Drives with frequency-current control [Privody s chastotno-tokovym upravleniem]. M. : Energy. 1974. 168 p.
6. Bulgakov A. A. New theory of controlled rectifiers [Novaya teoriya upravlyaemykh vypryamitelej]. M. : Science. 1970. 326 p.
7. Herman-Galkin C. G. MatLAB – Simulink. Designing mechatronic systems [Proektirovaniye mekhatronnykh sistem]. St. Petersburg : Crown-Century. 2008. 367 p.
8. Kovach K. P., Rats I. Transient response in AC machines [Perekhodnye processy v mashinah peremennogo toka] / Trans. with him. – M.-L. : State Publishing House of Literature on Energy, 1963. 735 p.
9. New direction in the electric drive – powerful multi-section valve-inductor electric drive with vector control [Novoe napravleniye v ehlektroprivode – moshchnyy mnogosekcionnyy ventil'no-induktornyy ehlektroprivod s vektornym upravleniem ] / V. F. Kozachenko, V. N. Ostrikov, A. M. Rusakov, A. V. Drozdov, A. V. Sorokin, Yu. A. Krylov // Electronic Components: Thematic Issue : «The electric drive». 2006. № 11. Pp. 38–47.
10. Ovchinnikov I. E. Valve electric motors and drive on their basis (small and medium power) [Ventil'nye ehlektricheskie dvigateli i privod na ih osnove (malaya i srednyaya moshchnost')]. St. Petersburg : «Crown-century» 2006. 336 p.
11. Pankratov V. V. Valve electric drive from a washing machine to a metal-cutting machine and an electric locomotive [Ventil'nyy ehlektroprivod ot stiral'noj mashiny do metallorezhushchego stanka i ehlektrovoza] // Electronic Components. 2007. № 2. Pp. 68–77.
12. Rozanov Yu. K. Power electronics [Silovaya ehlektronika]. M. : Ed. house MEI. 2007. 632 p.
13. Sadovnikov M. A., Tomasov V. S., Tolmachev V. A. Precision electric drive for optical complexes for control of outer space [Precizionnyy ehlektroprivod dlya opticheskikh kompleksov kontrolya kosmicheskogo prostranstva] // Izv. universities. Instrument making. 2011. № 6 (54). Pp. 81–86.



14. Sokolovsky G. G. AC electric drives with frequency control [EHlektroprivody peremennogo toka s chasotnym upravleniem]. M. : Ed. center «Academy». 2006. 272 p.
15. Systems for the subordinate regulation of AC electric drives with valve converters [Sistemy podchinennogo regulirovaniya ehlektroprivodov peremennogo toka s ventil'nymi preobrazovatelyami] / O. V. Slezhanovskiy, L. Kh. Datskovsky, I. S. Kuznetsov, E. D. Lebedev, L. M. Tarasenko. – M. : Energoatomizdat. 1983. 332 p.
16. Electric drives of high-precision optical complexes for control of outer space [EHlektroprivody vysokotochnykh opticheskikh kompleksov kontrolya kosmicheskogo prostranstva] / V. S. Tomasov, V. A. Tolmachev, V. N. Drozdov, K. M. Denisov, A. V. Guryanov // Proceedings of the VII International. (XVIII All-Russian) conf. on the automated electric drive AED-2012. – Ivanovo. 2012. Pp. 213–216.
17. Traction electric drive with microprocessor control system for electric locomotive ED200 using advanced control algorithms [Tyagovyy ehlektroprivod s mikroprocessornoj sistemoy upravleniya ehlektrovoza EHP200 pri primenenii usovershenstvovannykh algoritmov upravleniya] / G. I. Kolpakhchyan, A. V. Lebedev, E. M. Efimov, E. Yu. Parnyuk // Herald of . VELNII. 2006. Issue. 1 (50). Pp. 80–90.
18. Electric servomechanisms with instantaneous control of actuators [EHlektricheskie sledyashchie privody s momentnym upravleniem ispolnitel'nymi dvigatelyami] / M. V. Baranov and others. – M. : Publishing house MSTU, 2006. 240 p.
19. Afonin A. A., Kramarz W., Cierzniewski P. Elektromechaniczne przetworniki energii z komutacją elektroniczną. Szczecin Wydawnictwo Politechniki Szczecińskiej 2000. 241 s.
20. Comparative analysis of vector control and direct control of the torque of a synchronous electric motor with permanent magnets [Sravnitel'nyj analiz vektornogo upravleniya i pryamogo upravleniya momentom sinhronnogo ehlektrodvigatelya s postoyannymi magnitami] / Abd El Vhab Amr Refki, A. S. Karakulov, Yu. N. Dementiev, S. N. Kladiev // Bulletin of the Tomsk Polytechnic University. 2011. P. 319. № 4. Pp. 93–99.

*Статья сдана в редакцию 13 сентября 2017 года  
Публикуется в авторской редакции*

# Организация и логистика

УДК 656.025.2

О. Ю. Смирнова, К. Е. Герасимчук

## Подходы к анализу факторов, влияющих на пригородное сообщение

UDC 656.025.2

O. Yu. Smirnova, K. E. Gerasimchuk

## Approaches to the analysis of factors, influencing on suburban report

### Аннотация

В настоящей статье представлены результаты анализа научных подходов к исследованию факторов, влияющих на размер и структуру пригородного пассажиропотока при обслуживании его железнодорожным транспортом общего пользования. Анализ показал, что вопросами исследования таких факторов занимаются в разрезе исследований по уровню качества обслуживания пассажиров, прогнозирования пассажиропотока, выбору вида транспорта, тенденций рынка пассажирских перевозок, транспортной подвижности населения, финансового и экономического анализа работы пригородной компании. В зависимости от целей анализа зависят состав, структуризация и приоритетность факторов. Показано, что ранее в большинстве исследований использовался инструмент многофакторного анализа, при этом выполнялась процедура отбора имеющих существенное влияние факторов. По результатам исследования предложен подход, который заключается в структуризации и наиболее полном охвате всех факторов, но с учетом целей поездок.

**Ключевые слова:** железнодорожный транспорт, пассажирское сообщение, анализ факторов, индикативный анализ, цель поездки, атрибутивная модель.

DOI: 10.20291/2079-0392-2017-4-85-95

### Annotation

This article presents the results of an analysis of scientific approaches to the study of factors affecting the size and structure of suburban passenger traffic when serviced by public railroad transport. The analysis showed that research into such factors is carried out in the context of studies on the level of passenger service quality, forecasting passenger traffic, the choice of mode of transport, the trends in the passenger transportation market, the mobility of the population, and the financial and economic analysis of the work of the suburban company. Depending on the purpose of the analysis, the composition, structuring and priority of the factors depend. It is shown that earlier in most studies a multi-factor analysis tool was used, while a procedure for selecting factors with significant influence was performed. According to the results of the study, an approach is proposed that consists of structuring and the most complete coverage of all factors, but taking into account the purposes of travel.

**Keywords:** railway transport, passenger report, analysis of factors, indicative analysis, aim of journey, attributive model.

DOI: 10.20291/2079-0392-2017-4-85-95

*Статья рекомендована к опубликованию В.М. Сай, д-р техн. наук, профессором; Уральский государственный университет путей сообщения; Екатеринбург, Россия. E-mail: vsay@usurt.ru.*

**Ольга Юрьевна Смирнова**, канд. техн. наук, доцент; кафедра «Эксплуатация автомобильного транспорта» Тюменского промышленного университета; Тюмень, Россия. E-mail: smirnovaaj@tyuiu.ru.

**Ксения Евгеньевна Герасимчук**, старший преподаватель кафедры «Станция, узлы, грузовая работа» Уральского государственного университета путей сообщения; Екатеринбург, Россия. E-mail: KChemodanova@usurt.ru.

*The article is recommended for publication by V.M. Sai, DSc in Tech. sciences, professor; Ural State University of Railway Transport; Yekaterinburg, Russia. E-mail: vsay@usurt.ru.*

**Olga Yu. Smirnova**, PhD in tech. Sci., Associate Professor; Department of «Operation of Automobile Transport» of the Tyumen Industrial University; Tyumen, Russia. E-mail: smirnovaaj@tyuiu.ru.

**Ksenia Evgenievna Gerasimchuk**, senior lecturer of the department «Station, nodes, cargo work» of the Ural State University of Railway Transport; Yekaterinburg, Russia. E-mail: KChemodanova@usurt.ru.

В Транспортной стратегии РФ на период до 2030 года именно подвижность населения, а также доступность и качество транспортных услуг выделены как общесоциальные приоритеты развития. На втором месте по значимости в системе обеспечения населения транспортными услугами после городских занимают пригородные перевозки, которые в крупных агломерациях и их пригородных зонах должны стать более доступной альтернативой по показателям скорости и комфортности, чем личный автомобильный транспорт.

Завершающим этапом реформирования пригородного комплекса послужили разработка и утверждение региональных комплексных планов транспортного обслуживания населения, увязывающие пригородные перевозки всеми видами транспорта, до 2030 года (КПТО). Во всех КПТО в зоне действия ОАО СПК, несмотря на наличие методических рекомендаций Минтранса РФ по разработке сбалансированной системы параметров транспортного обслуживания, приняты статистические данные по основным показателям, а прогноз пассажиропотока или оставался на том же уровне, или увеличен на пять процентов по существующим маршрутам без должного обоснования [1]. Реконструкция схем пригородного сообщения не заявлена. По мнению авторов статьи, в связи с тем, что при анализе факторов, влияющих на организацию пригородного сообщения на железнодорожном транспорте, в работе [2] выявлены семь групп и 47 факторов, что требует научного подхода.

Для выявления факторов, влияющих на транспортную подвижность населения в пригородном сообщении, проводят исследования по уровню качества обслуживания [3–5], прогнозированию пассажиропотока [6, 14, 15], выбору вида транспорта, тенденциям рынка пассажирских перевозок, транспортной подвижности [7–12], финансовому и экономическому анализу работы пригородной компании [13–15]. В зависимости

от целей исследования выбирают состав, структуризацию и приоритетность факторов.

Анализ факторов, влияющих на формирование и развитие пригородных зон (социально-демографические, абиотические, территориальные, архитектурно-планировочные), приведен в работах [3–5]. Пригородная зона, обслуживаемая железнодорожным транспортом, рассматривается как «...сложный транспортный комплекс, процесс формирования и развития которого происходит по пути количественного роста за счет увеличения мощности станционных устройств и качественного преобразования существующей структуры, а также создания новых рекреационных зон, туристических маршрутов и т.д.». Для сравнения и анализа различных пригородных зон предлагается использовать интегральный показатель сложности структуры пригородной зоны, а в качестве существенных факторов, влияющих на пассажирооборот, — численность населения и техническое оснащение железнодорожной станции.

В монографии [6] для краткосрочного прогнозирования пассажиропотока в пригородном сообщении использовали матрицу; входящая в нее группа факторов отражает влияние погодных условий на транспортный поток, а также [...] набор факторов неопределенности (аварийные ситуации, непредусмотренные изменения характера деятельности населения, ошибки прогнозирования определяющих факторов). Эта методика предусматривала статистический анализ ошибок, выделение систематической ошибки и ее устранение, что значительно влияло на точность краткосрочного прогноза.

В работе [7] использован факторный анализ для оценки транспортной подвижности населения России. В 80 административно-территориальных субъектах исследованы 219 показателей; факторные показатели были разбиты на две подгруппы. Первая подгруппа включила показатели, связанные с развитием транспортного комплекса страны,

вторая – основные макроэкономические показатели. Основным принципом отбора более значимых показателей из всего рассматриваемого множества выбран метод корреляционного анализа.

В исследованиях [13, 14] представлен анализ факторов (демографические, социальные, экономические, транспортные), влияющих на структуру пассажиропотока в пригородном сообщении (на примере Новосибирской и Омской областей). Для определения вклада каждой группы факторов и показателей на пригородный пассажиропоток использовался расчетный метод весовых оценок.

Использование факторного анализа в сочетании с методами множественной регрессии для прогнозирования пассажиропотока при проектировании высокоскоростных магистралей представлено в работах [15, 16]. Генеральная совокупность факторов разделена на четыре кластера (по признаку влияния: социальный, политический, экономический, технологический).

Инструмент многофакторного анализа применен в [17, 18], при этом набор факторов определялся спецификой исследования (структура пассажиропотока, оценка транспортной подвижности населения, формирование, развитие и изменение структуры пригородных зон)\*.

Интересны подходы, основанные на создании матрицы влияния индикаторов, отражающих факторы развития экономики, в исследовании рынка дальних пассажирских перевозок железнодорожным транспортом. Такой метод использован в работе [19], где основными потребительскими факторами развития рынка пассажирских перевозок железнодорожным транспортом в дальнем сообщении выбраны качество услуг

пассажирских перевозок, доступность перевозок для населения страны при ценовых параметрах поездки, соблюдение стандартов обслуживания пассажиров и безопасности поездки. В предложенной матрице рассматривается степень влияния индикаторов на уровень спроса в сегменте дальних железнодорожных перевозок. Выявленная зависимость между индикаторами и размером пассажирооборота дает возможность предложить метод определения потенциальной емкости рынка дальних железнодорожных перевозок, в основу которого положены эталонные значения факторов влияния в индексной форме (драйверов) пассажиропотока. Реализация предложенного подхода к исследованию спроса на рынке дальних железнодорожных перевозок показала, что транспортный рынок напрямую связан с темпами роста экономики и уровнем жизни населения.

Индикативный способ оценки факторов, влияющих на организацию пассажирского сообщения, использован и в [20]. В основу качественно-количественного анализа предпочтений пассажиров положен принцип определения эталонного значения факторов и показателей, влияющих на транспортную подвижность населения. Новизна предлагаемой модели [20] состоит в использовании побудительных мотивов поездок населения и способностей объектов транспортной инфраструктуры населенных пунктов удовлетворять эти потребности, что значительно отличает ее от моделей гравитационного типа. Так, например, предпочтения и нужды самого пассажира в индикативных моделях можно учесть, введя понятие «статус населенного пункта». При рассмотрении конкретного населенного

\* Однако любой из факторов в определенной ситуации может сыграть ключевую роль, поэтому необходимо применить другой подход. Так, в мае-июне 2017 года на полигоне Свердловской пригородной компании увеличилось количество заявок по групповым школьным поездкам, и связано это было с тем, что в этот период на законодательном уровне были приняты более жесткие требования к автобусам и системе организации перевозок детей автомобильным транспортом. Для подготовки автоперевозчиков понадобилось определенное время, и большая часть пассажиропотока перешла на железнодорожный транспорт. Низкая температура воздуха в июне 2017 года в Свердловской области привела к существенному падению количества садово-дачных и рекреационных поездок по сравнению с 2016 годом.

пункта в регионе определяется уровень его привлекательности для пассажира с учетом целей поездки и значимости индикаторов.

Для систематизации всех существующих факторов, влияющих на величину пригородного пассажиропотока, целесообразно использовать метод индикативного анализа. Применение методики индикаторной оценки для анализа состояния пригородного комплекса позволит исследовать взаимосвязи и зависимости, происходящие внутри процесса транспортного обслуживания населения в пригородной зоне, и определить наиболее значимые процессы, влияющие на формирование пригородного пассажиропотока. Система индикаторов должна учитывать специфику региона и транспортной инфраструктуры в нем, соответствовать целям индикативного планирования, иметь возможность изменяться при изменении внешних условий, а индикаторы должны быть ясно сформулированы, измеримы и сопоставимы [21–23]. По оценкам экспертов (ведущих специалистов и топ-менеджеров пригородных пассажирских компаний), такая система позволит, используя актуальную информацию, своевременно вносить корректировки в процесс принятия управленческих решений. Разработанный авторами статьи перечень факторов и соответствующих им индикаторов с учетом замечаний консультантов приведен в таблице 1 (фрагмент), вторая часть которой представляет собой матрицу влияния индикаторов.

Факторы, влияющие на размеры пассажиропотока, отличаются; это зависит от региона, вида конкурирующего вида транспорта, целей поездки, экономических и прочих характеристик [15, 16]. Предлагаем подход, который заключается в структуризации всевозможных факторов, но с учетом цели поездки: учебные, рабочие, культурно-бытовые, садово-дачные, медицинские, рекреационные. Дополнительно факторы в группах с одной целью поездок можно разделить на два уровня: влияющие

на размер постоянного пассажиропотока и на переменный характер пассажиропотока (вызывающие спад или подъем). Например, при строительстве новых жилых районов или открытии в пригородной зоне новых мест массового отдыха либо систематически, например, как влияют погодные условия на рекреационные и садово-дачные поездки.

В ходе исследований факторы сгруппированы по целям поездки (рис.).

Размер и структура пассажиропотока в пригородном сообщении будет отличаться от среднегодовых и среднемесячных значений в различных ситуациях транспортного обслуживания населения. Учитывая все известные процедуры отбора и разделения на группы факторов по целям поездки, можно выделить факторы и индикаторы для конкретных транспортных ситуаций.

На рабочие поездки влияют: удобное расписание, время поездки, пешая доступность транспортной инфраструктуры. Индикатор «удобное расписание» самый значимый, но именно его сложно включить в математическую модель, описывающую влияние факторов на организацию обслуживания пассажиропотока железнодорожным транспортом в пригородном сообщении. В этом случае для создания математической модели можно применить дихотомическую или логико-лингвистическую шкалу, которая позволит формализовать индикаторы, имеющие качественную природу описания, в отличие от работ, учитывающих только количественные критерии [24]. Наличие качественных показателей и необходимость полного учета всех факторов, влияющих на организацию пригородного сообщения, с учетом того, что могут появляться новые ключевые факторы, приводит к необходимости построения атрибутивной модели структурной схемы с наличием индикаторов. Каждая группа факторов является атрибутом, который имеет составной сложный ключ в виде индикаторов с внешними, потенциальными и альтернативными ключами (таблица 2).

Таблица 1

Матрица влияния индикаторов, отражающих факторы (фрагмент)

Фактор	Индикатор	Степень влияния		
		слабая	умеренная	сильная
Уровень автомобилизации	Обеспеченность населения собственными легковыми автомобилями на 1000 чел.		P-Y*	
Синхронизация с другими видами транспорта	Кол-во автобусных маршрутов, согласованных по расписанию с ж.-д.			P-P**
	Кол-во сельских населенных пунктов, обслуживаемых автобусами в пригородном и междугородном сообщении		P-P	
	Кол-во пассажиров, производящих пересадку по вариантам синхронизации			P-P
Автобусное сообще-ние	Густота (число и протяженность) автомобильных дорог в регионе		P-Y	
	Кол-во маршрутов (кол-во автобусов на маршруте)			P-Y
	Уровень тарифа			P-Y
	Суточный пассажиропоток			P-Y
	Наличие автобусов на 100 тыс. чел. населения		P-Y	
	Средняя дальность перевозки пассажира		P-Y	
Плотность железнодорожных путей	Плотность железнодорожных путей общего пользования на 10000 км <sup>2</sup> территории		P-P	
Автостоянки на станциях отправления	Наличие автостоянки на станциях отправления		P-P	
	Вместимость автостоянки на станциях отправления	P-P		
Уровень развития транспортной инфраструктуры остановочных пунктов, в т.ч. для МГН	Наличие элементов инфраструктуры (мосты, тоннели, переходы), облегчающих доступ станциям и остановочным платформам	P-P		
	Степень развитости городской инфраструктуры на подходах к станциям и остановочным платформам		P-P	

\* P-Y – рост значения индикатора уменьшает размер пассажиропотока;

\*\* P-P – рост значения индикатора приводит к росту размера пассажиропотока.

В результате исследований разработана структура факторов, влияющих на организацию пригородных перевозок железнодорожным транспортом. Это семь групп и система индикаторов, характеризующих уровень и тенденции изменения факторов, которые можно представить в количественном и/или качественном выражении. Предложенная

структурно-атрибутивная модель факторов должна стать основой для проведения детального анализа связей между факторами для прогнозирования пассажиропотока и определения реальных причин перераспределения пригородных пассажиропотоков между видами транспорта. ■

Факторы						
1	2	3	4	5	6	7
Социально-демографическая характеристика населения района заготовки к пригородному участку	Масштаб и эффективность экономики и пассажирооборотных пунктов на маршруте (сезонные и планируемые события)	Факторы комфорта (скрытого спроса на услуги пригородного железнодорожного транспорта)	Показатели и условия работы железнодорожной пригородной компании на маршруте	Характеристика транспортной инфраструктуры железнодорожных станций на маршруте	Конкуренция и синхронизация с другими видами транспорта на маршруте	Показатели безопасности и экологичности
Садово-дачные поезда						
Возрастная структура	Наличие на маршруте поездов	Показатели, влияющие на транспортную усталость	Тарифы и льготы	Уровень развития транспортной инфраструктуры остановочных пунктов	Наличие синхронизации с другими видами сообщения	Показатели влияния погодных условий
Социальная структура	Объем производства товаров (валовой сбор овощей)	Наличие медленного поезда	Технологические условия (удобное расписание)	Наличие рядом пунктов пересадки на другой вид транспорта	Наличие автобусного сообщения	
Социально-экономическая характеристика населения	Развитие дачных поселков		Спрос на транспортные услуги (сезонность)		Уровень автомобилизации	
Культурно-бытовые поезда						
Численность населения	Наличие на маршруте ГРЦ и мест массового отдыха	Комфорт проезда в пригородных поездах	Тарифы и льготы	Наличие автостоянок на станциях отправления	Наличие автобусного сообщения	Показатели влияния погодных условий
Плотность населения	Объем производства товаров и услуг	Санитарно-гигиеническое состояние вагона	Спрос на транспортные услуги сезонность	Уровень развития транспортной инфраструктуры остановочных пунктов	Уровень автомобилизации	Число происшествий и количество пострадавших
Возрастная структура	Планирование и проведение мероприятий в регионе	Интерьер вагона	Бренд, репутация ИПК	Наличие автоинформаторов на платформах посадки/высадки	Уровень синхронизации с другими видами транспорта	
Социальная структура		Наличие дополнительного оборудования в вагоне		Наличие рядом пунктов пересадки на другой вид транспорта		
Социально-экономическая характеристика населения		Возможность покупки билета				
		Показатели, влияющие на транспортную усталость				
		Уровень информационного обслуживания в пути				

Структурная схема факторов по целям поездки (фрагмент)



Структурно-атрибутивная схема факторов, влияющих на организацию пригородного сообщения (дачные поездки; фрагмент)

Таблица 2

Группа	Фактор	Индикатор
Характеристика транспортной инфраструктуры ж.-д. станций на маршруте	Уровень развития транспортной инфраструктуры пассажирских устройств	<p><math>I_{122}</math> – наличие элементов инфраструктуры (мосты, тоннели, переходы), облегчающих доступ станциям и остановочным платформам</p> <p><math>I_{123}</math> – степень развитости городской инфраструктуры на подходах к станциям и остановочным платформам</p> <p><math>I_{124}</math> – наличие высокой платформы на станциях отправления</p> <p><math>I_{125}</math> – кол-во путей, оборудованных высокими платформами на станциях отправления</p> <p><math>I_{126}</math> – наличие закрытого перехода к платформам</p> <p><math>I_{127}</math> – наличие и кол-во лифтов</p>
	Наличие пунктов пересадки на другой вид транспорта	<p><math>I_{130}</math> – кол-во расположенных рядом пунктов пересадки на другие виды транспорта</p> <p><math>I_{131}</math> – минимальная удаленность пересадочного пункта от ж.-д. станции</p> <p><math>I_{132}</math> – наличие элементов инфраструктуры (мосты, тоннели, переходы), облегчающих доступ к др. видам транспорта</p>
	Наличие автобусного сообщения (график и тариф)	<p><math>I_{133}</math> – густота (кол-во и протяженность) автомобильных дорог в регионе</p> <p><math>I_{134}</math> – кол-во автобусных маршрутов (кол-во автобусов на маршруте)</p> <p><math>I_{135}</math> – уровень тарифа</p> <p><math>I_{136}</math> – суточный пассажиропоток</p> <p><math>I_{137}</math> – кол-во поездов на одного жителя в год в пригородном сообщении</p> <p><math>I_{138}</math> – наличие автобусов на 100 тыс. чел. населения</p> <p><math>I_{139}</math> – средняя дальность перевозки пассажиров</p>
Конкуренция и синхронизация с другими видами транспорта на маршруте	Уровень автомобилепользования	<p><math>I_{146}</math> – фактический трафик на направлении</p> <p><math>I_{147}</math> – нормы трафика на направлении</p>
	Уровень автомобилизации	<p><math>I_{148}</math> – обеспеченность населения собственными легковыми автомобилями на 1000 чел.</p>
	Синхронизация с другими видами транспорта	<p><math>I_{149}</math> – кол-во автобусных маршрутов, согласованных по расписанию с ЖД</p> <p><math>I_{150}</math> – кол-во сельских населенных пунктов, обслуживаемых автобусами в пригородном и междугородном сообщении</p> <p><math>I_{151}</math> – кол-во водных маршрутов, согласованных по расписанию с ЖД</p> <p><math>I_{152}</math> – кол-во пассажиров, производящих пересадку по вариантам синхронизации</p>

## Литература

1. Смирнова О.Ю. Анализ региональных комплексных планов транспортного обслуживания в части пригородных перевозок (СВЖД, ЮУЖД) / В сб. : Инновационный транспорт – 2016: специализация железных дорог / М-лы Международн. научн.-практ. конф. [отв. за вып. С.В. Бушуев]. – Екатеринбург : УрГУПС, 2016. – Вып. 8 (227). – С. 1099–1111.
2. Смирнова О.Ю., Герасимчук К.Е. Структуризация факторов, влияющих на организацию пригородного сообщения железнодорожного транспорта // Сетевой научно-методический журнал «Наука и технологии железных дорог» № 2(2). 2017. С. 23–30. URL: <http://www.vniias.ru/key-areas-of-activity/498> (дата обращения: 10.09.2017).
3. Власюк Т.А. Особенности расчета структуры пригородного пассажиропотока на железнодорожном транспорте // Транспорт: наука, техника, управление. №5. 2012. С. 47–51. ISSN 0236-1914.
4. Правдин Н.В. Пригородные зоны и зоны тяготения на железнодорожном транспорте (для условий средних и больших городов Республики Беларусь) : монография / Н.В. Правдин, Т.А. Власюк. – Гомель : БелГУТ, 2007. – 207с. ISBN 978-985-468-323-2.
5. Власюк Т.А. Пригородные пассажирские перевозки на железнодорожном транспорте в Республике Беларусь (ретроспектива и развитие) : монография / Т.А. Власюк, А.А. Михальченко. – Гомель : БелГУТ, 2015. 201 с. ISBN 978-985-554-429-7.
6. Правдин Н.В., Негрей В.Я. Прогнозирование пассажирских потоков. (Методика, расчеты, примеры). – М. : Транспорт, 1980. 222 с.
7. Юкиш В.Ф. Факторный анализ транспортной подвижности населения // Актуальные проблемы гуманитарных и естественных наук. № 4–2. 2016. С. 121–128. ISSN 2073-0071.
8. Иванов М.В. Развитие транспортной инфраструктуры региона: факторы, направления, инструментарии оценки : дисс. ... на соиск. уч. ст. канд. эконом. наук. – Нижний Новгород, 2016. 196 с.
9. Поносов А.Н. Формирование и функционирование пригородной зоны крупного города (на примере муниципального образования Пермский район) // Город и городское хозяйство : сб. стат. Второй всеросс. конф. – Самара : СММУ, 2006. С. 75–82.
10. Поносов А.Н. Социально-экономические аспекты формирования территорий поселений в зоне влияния крупного города (на примере пригородной зоны г. Перми) : автореф. дис. ... на соиск. уч. ст. канд. экон. наук. – М., 2007. 26 с.
11. Шнейдер М.А. Рынок пригородных железнодорожных перевозок: управление и экономика : монография / М.А. Шнейдер, Е.А. Проскуракова. – СПб, 2012. 288 с. ISBN 978-5-905942-17-4.
12. Сай В.М., Бруснянин Д.А. Оценка методом линейной сверстки частных критериев вариантов маршрутной сети пассажирских перевозок // Экономика железных дорог. 2014. № 10. С. 63–72. ISSN 1727-6500.
13. Степанова Е.С. Конкурентоспособность пригородных пассажирских перевозок // Научные проблемы транспорта Сибири и Дальнего Востока. 2015. № 2. С. 57–60. ISSN 2071-3827.
14. Степанова Е.С. Анализ и оценка факторов, влияющих на пригородный пассажиропоток : автореф. дис. ... на соиск. уч. ст. канд. экон. наук. – Новосибирск, 2015. 25 с.
15. Перепельцев В.Л. Методология логического выбора факторов при определении величины пассажиропотока на новой выделенной высокоскоростной линии // Вестник ВНИИЖТ. 2015. № 5. С. 36–43. ISSN 2223-9731.
16. Перепельцев В.Л. Принципы формирования совокупности влияющих факторов на пассажиропоток высокоскоростных железнодорожных магистралей при прогнозировании методами множественной регрессии // Научные проблемы транспорта Сибири и Дальнего Востока. 2015. №2. С. 6–9. ISSN 2071-3827.
17. Лякина М.А., Волкова Е.М., Сакович И.Л. Анализ макросреды функционирования пригородной пассажирской компании // Известия Петербургского университета путей сообщения. 2015 № 2(43). С. 123–128. ISSN 1815-588X.
18. Вакуленко С.П., Куренков П.В., Дранченко Ю.Н. Обзор и анализ научных исследований пассажирских перевозок в мегаполисной системе «город-пригород» // Вестник транспорта. №9. 2016. С. 37–42. ISSN 2411-1678.

19. Ефимов В. С. Методика анализа факторов, определяющих спрос на пассажирские перевозки // Мир транспорта. № 2 (57). 2015. С. 114–120. ISSN 1992-3252.
20. Железнов С. В., Князева Л. С. Модель прогнозирования внутрирайонных пассажиропотоков на основе качественно-количественного анализа предпочтений пассажиров // Транспорт Урала. 2011. №4(31). С. 72–76. ISSN 1815-9400.
21. Генералова С. В. Методология и механизм индикаторной оценки производственно-экономического потенциала перерабатывающих предприятий зернопродуктового подкомплекса АПК : автореф. дис. ... на соиск. уч. ст. д-ра экон. наук. – Саратов, 2007. 37 с.
22. Волчкова И. В. Методические аспекты индикативного анализа состояния и развития агломераций // Экономика и управление. 2014. № 1 (110). С. 73–77. ISSN 2227-3891.
23. Смирнова О. Ю., Полякова Т. Ю. Анализ направлений пригородного сообщения в зоне действия ОАО «Свердловская пригородная компания» / В сб. : «Инновационный транспорт – 2016: специализация железных дорог» / М-лы Междунаро. научн.-практ. конф. [отв. за вып. С. В. Бушуев]. – Екатеринбург : УрГУПС, 2016. – Вып. 8 (227). – С. 1084–1099.
24. Аккерман Г. Л., Аккерман С. Г. Транспортная система и экономическая среда // Инновационный транспорт. 2016. № 1 (19). С. 22–24. ISSN 2311-164X.

### Literature

1. Smirnova O. Yu. Analysis of regional integrated transport service plans in the part of suburban transport (Sverdlovsk Railway, South Urals Railway) / In the collection [Analiz regional'nyh kompleksnyh planov transportnogo obsluzhivaniya v chasti prigorodnyh perevozok (SVZHD, YUUZHD) / V sb. : Innovative transport – 2016: specialization of railways / Maly International. scientific-practical conference. [responsible. for release. S. V. Bushuev]. – Ekaterinburg : USURT, 2016. – Issue 8 (227). – Pp. 1099–1111.
2. Smirnova O. Yu., Gerasimchuk K. E. Structurization of factors affecting the organization of suburban railway transport communications [Strukturizatsiya faktorov, vliyayushchih na organizatsiyu prigorodnogo soobshcheniya zheleznodorozhnogo transporta] // Scientific and methodological journal «Science and Technology of Railways» № 2 (2). 2017. Pp. 23–30. URL: <http://www.vniias.ru/key-areas-of-activity/498> (reference date: 10.06.2017).
3. Vlasjuk T. A. Peculiarities of calculating the structure of suburban passenger traffic on the railway transport [Osobennosti rascheta struktury prigorodnogo passazhiropotoka na zheleznodorozhnom transporte] // Transport: science, technology, management. № 5. 2012. Pp. 47–51. ISSN 0236-1914.
4. Pravdin N. V. Suburban zones and zones of gravitation on railway transport (for conditions of medium and large cities of the Republic of Belarus) [Prigorodnye zony i zony tyagoteniya na zheleznodorozhnom transporte (dlya uslovij srednih i bol'shih gorodov Respubliki Belarus')] : monograph / N. V. Pravdin, T. A. Vlasjuk. – Gomel : BelSUT, 2007. – 207 p. ISBN 978-985-468-323-2.
5. Vlasjuk T. A. Suburban passenger transportation by rail in the Republic of Belarus (retrospective and development) [Prigorodnye passazhirskie perevozki na zheleznodorozhnom transporte v Respublike Belarus' (retrospektiva i razvitie)] : monograph / T. A. Vlasjuk, A. A. Mikhilchenko. – Gomel : BelSUT, 2015. 201 p. ISBN 978-985-554-429-7.
6. Pravdin N. V., Negrey V. Ya. Predicting passenger flows (Methods, calculations, examples) [Prognozirovanie passazhirskih potokov (Metodika, raschety, primery)]. – M. : Transport, 1980. 222 p.
7. Yukish V. F. Factor analysis of the transport mobility of the population [Faktornyj analiz transportnoj podvizhnosti naseleniya] // Actual problems of the humanities and natural sciences. № 4-2. 2016. Pp. 121–128. ISSN 2073-0071.
8. Ivanov M. V. Development of transport infrastructure in the region: factors, directions, evaluation tools [Razvitie transportnoj infrastruktury regiona: faktory, napravleniya, instrumentarii ocenki] : Thesis for a scientific article. PhD in economy. sciences. – Nizhni Novgorod, 2016. 196 p.
9. Ponosov A. N. Formation and functioning of the suburban zone of a large city (on the example of the municipal entity Permsky district) [Formirovanie i funkcionirovanie prigorodnoj zony

- krupnogo goroda (na primere municipal'nogo obrazovaniya Permskij rajon)) // City and city economy : coll. stat. The second is all-Russian. Conf. – Samara : SMUU, 2006. Pp. 75–82.
10. Ponosov A. N. Socio-economic aspects of the formation of the territories of settlements in the zone of influence of a large city (on the example of the suburban zone of Perm) [Social'no-ehkonomicheskie aspekty formirovaniya territorij poselenij v zone vliyaniya krupnogo goroda (na primere prigorodnoj zony g. Permi)] : author's abstract. Thesis for a scientific article. PhD.in econ. sciences. – M., 2007. 26 p.
11. Schneider MA The market of suburban rail transportation: management and economics [Rynok prigorodnyh zheleznodorozhnyh perevozok: upravlenie i ehkonomika] : monograph / M.A. Schneider, E.A. Proskuryakova. – St. Petersburg, 2012. 288 p. ISBN 978-5-905942-17-4.
12. Sai V.M., Brusyanin D.A. Estimation of the variants of the route network of passenger traffic by the method of linear comparison of partial criteria [Ocenka metodom linejnoy sverstki chastnyh kriteriev variantov marshrutnoj seti passazhirskih perevozok] // Economics of railways. 2014. № 10. Pp. 63–72. ISSN 1727-6500.
13. Stepanova E.S. Competitiveness of suburban passenger transportation [Konkurentosposobnost' prigorodnyh passazhirskih perevozok] // Scientific problems of transport in Siberia and the Far East. 2015. № 2. Pp. 57–60. ISSN 2071-3827.
14. Stepanova E.S. Analysis and evaluation of factors affecting suburban passenger traffic [Analiz i ocenka faktorov, vliyayushchih na prigorodnyj passazhiropotok] / author's abstract. Thesis for a scientific article. PhD in econ. sciences. – Novosibirsk, 2015. 25 p.
15. Perepel'tsev V. L. Methodology of logical choice of factors in determining the magnitude of passenger traffic on a new dedicated high-speed line [Metodologiya logicheskogo vybora faktorov pri opredelenii velichiny passazhiropotoka na novej vydelennoj vysokoskorostnoj linii] // Herald of VNIIZhT. 2015. № 5. Pp. 36–43. ISSN 2223-9731.
16. Perepel'tsev V. L. Principles of the formation of a set of influencing factors on the passenger flow of high-speed railroads when predicting by multiple regression methods [Principy formirovaniya sovkupnosti vliyayushchih faktorov na passazhiropotok vysokoskorostnyh zheleznodorozhnyh magistralej pri prognozirovanii metodami mnozhestvennoj regressii] // Scientific problems of transport in Siberia and the Far East. 2015. №2. Pp. 6–9. ISSN 2071-3827.
17. Lyakina M.A., Volkova E.M., Sakovich I.L. Analysis of the macro environment of the functioning of the suburban passenger company [Analiz makrosredy funkcionirovaniya prigorodnoj passazhirskoj kompanii] // Izvestiya Petersburg University of Communications. 2015 № 2 (43). Pp. 123–128. ISSN 1815-588X.
18. Vakulenko S.P., Kurenkov P.V., Dranchenko Yu.N. Review and analysis of scientific research of passenger transportation in the metropolitan «city-suburb» system [Obzor i analiz nauchnyh issledovaniy passazhirskih perevozok v megapolisnoj sisteme «gorod-prigorod»] // Herald of Transport. № 9. 2016. P. 37–42. ISSN 2411-1678.
19. Efimov V.S., Methodology for Analyzing Factors Determining Demand for Passenger Transport [Методика анализа факторов, определяющих спрос на пассажирские перевозки] // In World of Transport № 2 (57). 2015. Pp. 114–120. ISSN 1992-3252.
20. S.V. Zheleznov, L.S. Knyazeva. Model of forecasting intra-district passenger traffic on the basis of qualitative and quantitative analysis of passengers' preferences [Model' prognozirovaniya vnutrirajonnyh passazhiropotokov na osnove kachestvenno-kolichestvennogo analiza predpochtenij passazhirov] // Transport of the Urals. 2011. № 4 (31). Pp. 72–76. ISSN 1815-9400.
21. Generalova S. V. Methodology and mechanism of indicator evaluation of the production and economic potential of processing enterprises of the grain-derived sub complex of the agro industrial complex [Metodologiya i mekhanizm indikatornoj ocenki proizvodstvenno-ehkonomicheskogo potenciala pererabatyvayushchih predpriyatij zernoproduktovogo podkompleksa APK] : the author's abstract. Thesis for a scientific article DSc. in. econ. sciences. – Saratov, 2007. 37 p.
22. Volchkova I. V. Methodical aspects of indicative analysis of the state and development of agglomerations [Metodicheskie aspekty indikativnogo analiza sostoyaniya i razvitiya aglomeracij] // Economics and management. 2014. №. 1 (110). Pp. 73–77. ISSN 2227-3891.
23. Smirnova O. Yu., Polyakova T. Yu. Analysis of the directions of suburban communication in the operation area of OJSC Sverdlovsk suburban company / In the collection. [Analiz napravlenij prigorodnogo soobshcheniya v zone dejstviya OAO «Sverdlovskaya prigorodnaya

- kompaniya» / v sb.] : Innovative transport – 2016: specialization of railways / materials International. scientific-practical conference [Responsible for release. S. V. Bushuev]. – Ekaterinburg : USURT, 2016. – Issue 8 (227). – Pp. 1084–1099.
24. G. L. Akkerman, S. G. Akkerman. Transport system and economic environment [Transportnaya sistema i ehkonomicheskaya sreda] // Innovative transport. 2016. № 1 (19). Pp. 22–24. ISSN 2311-164X.

*Статья сдана в редакцию 12 сентября 2017 года*

УДК 331.108.26:658

*В. С. Паршина*

## Целевая функция развития персонала на транспорте с позиций динамической модели трудовой мотивации

UDC 331.108.26:658

*V. S. Parshina*

## Objective function of development of personnel on transport from positions of dynamic model of labour motivation

### Аннотация

Деятельность организаций транспорта в условиях рынка сопровождается динамическими процессами во взаимоотношениях принципал-агентов, что обусловило необходимость адаптивных действий в управлении трудом, направленных на стабилизацию и развитие отрасли.

Отмечено неравенство сторон – работодателей и работников – при приоритетном положении первых, причем слабоуправляемый рынок труда нередко действует против тех и других субъектов. Предпринята попытка выработки механизмов управления трудовыми отношениями в динамике. Использована категория индивидуальных издержек как следствие ущемления личных интересов работника в трудовом процессе в связи с определенной ситуацией. Рассмотрена взаимозависимость издержек предприятия и работников. Получен вывод относительно критерия эффективности принимаемого решения с точки зрения предприятия. Решение можно считать оптимальным в случае такого уровня индивидуальных издержек, когда суммарные затраты предприятия на персонал и материальные издержки работника являются минимальными.

**Ключевые слова:** развитие персонала, динамическая модель трудовой мотивации, мотивационные типы работников, издержки, модель оптимизации издержек, связанных с персоналом.

DOI: 10.20291/2079-0392-2017-4-96-105

### Annotation

The activity of transport organizations under market conditions is accompanied by dynamic processes in the relationship of principal agents, which led to the need for adaptive actions in labour management aimed at stabilizing and developing the industry.

The inequality of the parties – employers and workers – is noted in the priority position of the former, and the weakly managed labor market often acts against both subjects. An attempt has been made to develop mechanisms for managing labor relations in dynamics. The category of individual costs is used as a consequence of infringement of personal interests of the employee in the labor process in connection with a certain situation. The interdependence of costs of the enterprise and employees is considered. A conclusion was obtained regarding the criterion of the effectiveness of the decision taken from the point of view of the enterprise. The solution can be considered optimal in the case of such a level of individual costs, when the total costs of the enterprise for personnel and material costs of the employee are minimal.

**Keywords:** development of personnel, dynamic model of labour motivation, motivational types of workers, costs, model of optimization of the costs related to the personnel.

DOI: 10.20291/2079-0392-2017-4-96-105

*Статья рекомендована к опубликованию Е.Ю. Кузнецовой, д-р экон. наук, профессором; Уральский федеральный университет; Екатеринбург, Россия. E-mail: elena.bstm@gmail.com.*

*Валентина Сергеевна Паршина, д-р экон. наук, профессор, кафедра «Управление в социальных и экономических системах» Уральского государственного университета путей сообщения; Екатеринбург, Россия. E-mail: vparshina@usurt.ru.*

*The article is recommended for publication by E.Yu. Kuznetsova, DSc in Econ. sciences, professor; Ural Federal University; Yekaterinburg, Russia. E-mail: elena.bstm@gmail.com.*

*Valentina Sergeevna Parshina, DSc in Econ. sciences, Professor, «Department of Management in Social and Economic Systems» of the Ural State University of Railway Transport; Yekaterinburg, Russia. E-mail: vparshina@usurt.ru.*



Проблемы сферы труда современных организаций возникают из-за отставания разработки адаптационных институциональных основ, регулирующих трудовые отношения в процессе разнообразных преобразований. Для многих организаций полная самостоятельность действий в силу традиционной инертности оказалась слишком тяжелой ношей. И очень часто не удовлетворяются насущные потребности, касающиеся простого воспроизводства персонала, не говоря уже о расширенном качественном его развитии. Перечисленные проблемы присущи и организациям транспорта. Так, например, выявлено недостаточное количество разработок, касающихся методологических подходов к реорганизации трудовых отношений путем учета интересов всех сторон деятельности.

Существующий методический аппарат, сформированный в 80-е годы XX века и предназначенный для руководства внутренними процессами корпораций, ориентирован на стабильные или эволюционные процессы. Деятельность в условиях рынка часто приводит к смене социальных отношений, что предопределяет необходимость динамических действий в управлении трудом, направленных на стабилизацию трудовой деятельности и развитие корпораций. Экономика труда в ее современном состоянии еще не владеет методологией анализа динамично развивающихся трудовых отношений. Даже если учесть неравенство сторон – работодателей и работников (при приоритетном положении первых), то нерегулируемые трудовые отношения нередко действуют против тех и других субъектов. Из этого следует актуальность разработки методического обеспечения трудовых отношений принципал-агентов, развивающихся в динамике. На основе изложенного можно сделать вывод о приоритетах развития теории труда в виде дополнения ее новыми подходами, механизмами и сферами исследования по следующим аспектам:

- классификация работников по типам мотивации;
- методологическое обеспечение исследования современных трудовых процессов с позиций принципов теории институционализма;
- разработка критериев выбора оптимальных решений в условиях динамики экономической ситуации;
- выработка особых механизмов управления трудовыми отношениями в динамике.

За последние годы трудовая сфера предприятий нашей страны претерпела значительные изменения [1], которые во многих случаях привели к снижению поведенческой компетентности, или демотивации персонала, что, по мнению специалистов [2], является наиболее негативным и трудно устранимым состоянием индивидов.

В условиях, когда невысокая оплата труда не стимулирует работника полностью выкладываться на производстве, а низкий уровень производительности труда на предприятиях отрасли не позволяет повысить заработную плату, идет процесс дальнейшей демотивации, который надо остановить. Можно констатировать, что обмен между работником и работодателем идет на низшем уровне удовлетворения потребностей первого и эффективности для второго [3]. Чтобы перейти на следующий, более высокий уровень эффективности, администрации надо предпринять действия, которые должны изменить негативный ход процесса. В этом случае следует исходить из посылки: если какая-либо потребность не может быть удовлетворена в данных условиях, то она заменяется другой, удовлетворение которой возможно. Эффект замещения достаточно изучен психологами (см., например, [4]), однако не нашел достаточного применения в теории и практике экономики труда.

Повышение уровня трудовой мотивации работников как компонента их качественной характеристики остро востребовано на производстве. Поэтому категория должна быть осмыслена,



описана, предложены варианты ее адаптации к новым процессам и развитию.

Мотивация труда, как и многие широко используемые экономические категории, не имеет однозначного толкования. С одной стороны, это процесс воздействия администрации на персонал с целью повышения эффективности его труда или формирования состояния индивида в результате действия различных факторов, с другой, непосредственное состояние индивида по поводу его отношения к работе. Отсюда можно определить, что мотивация — это процесс воздействия или состояние побуждения себя и других к деятельности для достижения каких-либо целей. Из этого следует деление мотивации на внешнюю как процесс воздействия администрации на персонал и внутреннюю как состояние индивида. Обособление данных подходов к изучению явления мотивации актуализировалось при переходе к рынку. В сложившихся условиях внутренняя мотивация, не находя выхода и поддержки из внешней среды в виде стимулов, может остаться только потенциалом человека.

Экономическим выражением состояния трудовой мотивации индивида являются такие его поведенческие характеристики, как усилие, старание, настойчивость, добросовестность, ответственность, инициативность и т. п. Эти проявления суть биолого-психологические составляющие индивида, которые к тому же зависят от ситуации. Известные теории мотивации ориентированы в большей мере на учет психологической характеристики индивида. В этом плане предлагаемые модели адаптированы к эволюционному экономическому развитию. Исследование ситуации как фактора мотивации наиболее значимо в период резких перемен, к которым можно отнести происходящие в нашей стране преобразования.

С позиций неоклассической теории, определяющей формирование мотивационных процессов в периоды эволюционного экономического развития, не удастся дать их объяснение при резкой

смене ситуации. Исследование мотивации предполагает потребность понимания поведения индивида в конкретной ситуации как выражение его внутреннего состояния относительно трудовой деятельности.

Правомерность постановки проблем мотивации труда персонала в экономическом аспекте предопределена, с одной стороны, острыми потребностями организаций в росте производительности труда при сокращении численности для обеспечения достойного уровня его оплаты, с другой, отсутствием разработок, направленных на их решение. Однако есть попытки автоматического (без адаптации) перенесения выводов зарубежных исследователей в нашу действительность. Отсутствие комплексных экономически обоснованных действий в плане повышения мотивации персонала отечественных корпораций и имеющиеся результаты исследований психологов, которые не находят применения в экономической практике предприятий, создают условия для преобразований.

Широко применяемый метод кнута и пряника для получения желаемого результата не приносит эффекта. Лучших результатов можно добиться, используя комплексное мотивационное воздействие на работников. Администрация должна скорректировать существующие профессиональные задачи так, чтобы они порождали требуемую структуру мотивов и реализовали ее на практике. В связи с выводами специалистов [5–9 и др.], исследующих вопросы мотивации, следует различать потребности индивидов в деньгах, статусе и высокой оценке, самовыражении. Реальные формы деятельности, обеспечивающие удовлетворение потребностей высшего уровня, разнообразны, например, видоизменение или расширение сферы деятельности, творческий, а не формальный подход к росту производительности труда, удовлетворение от совместной деятельности и др.

Представляется, что для выработки подходов к мотивации индивидов

их следует дифференцировать по категориям. Интересующая нас категория внутренней мотивации работника имеет две составляющие: врожденную, или генетическую, и приобретенную в результате влияния внешней среды и воспитания. Вследствие исходной посылки состав индивидов в плане трудовой мотивации является неоднородным (рис. 1).

Дадим краткую характеристику мотивации труда индивидов в соответствии с предложенной классификацией. Здесь внутренняя мотивация (врожденная и приобретенная) рассматривается как потенциал, поддающийся перенастройке под воздействием стимулов, в результате чего она проявляется в трудовой жизни.

Квадрант 1 характеризует высокомотивированного как от рождения, так и благодаря положительному восприятию воздействия внешней среды индивида. Такому человеку свойственны разнообразные мотивы. По выводам психологов, к этой категории относятся 12–15% работников [10]. Именно они становятся лидерами и – при объективных управленческих подходах к ним со стороны администрации – руководителями на производстве. Эта категория

работников, обладающая высокой врожденной и приобретенной мотивацией, прежде всего способна позитивно реагировать на происходящие изменения внешней и внутренней среды.

Квадрант 2 включает работников с высокой приобретенной мотивацией и низкой врожденной. Выявлено, что это высокоадаптивный работник, хорошо реагирующий на различные стимулы, в настоящее время отдает приоритет материальным составляющим [11]. При снижении уровня последних у работника резко снижаются проявления мотивации и результаты труда.

Квадрант 3 характеризует работников с высокой врожденной и низкой приобретенной мотивацией. Наличие подобного персонала на производстве можно связать с фактом наличия слабых мотивационных процессов в обществе.

Квадрант 4 включает работников с низким уровнем как врожденной, так и приобретенной мотивации. Для этого контингента прежде всего важны действия по развитию мотивации и потребностей как ее элемента.

Для более глубокого представления происходящих явлений каждый квадрант представим также в виде матрицы (рис. 2). За основу примем выводы

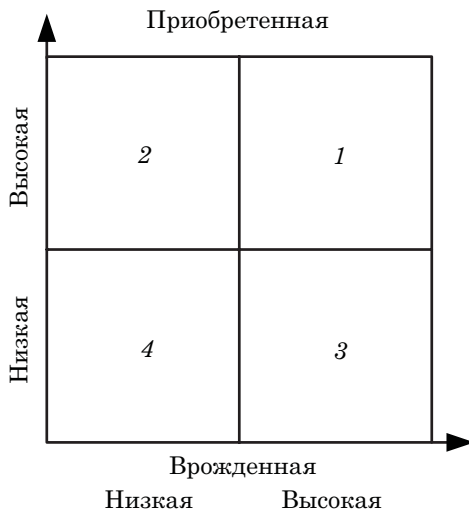


Рис. 1. Типы работников по видам внутренней мотивации

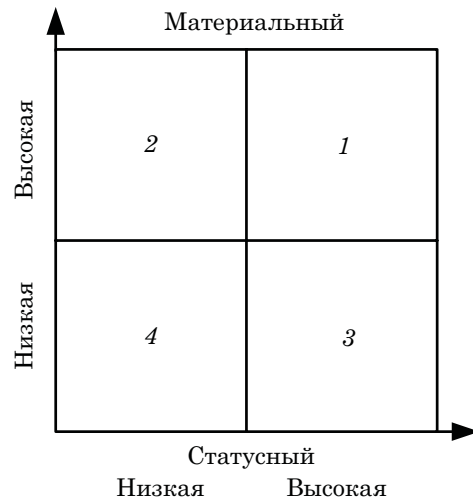


Рис. 2. Типы руководителей в отношении внутренней мотивации по приоритетным содержательным компонентам

М.К. Горшкова [1], подтвержденные нашими исследованиями [12] относительно руководителей среднего уровня, устойчиво выделявшие современные мотивационные приоритеты: материальные и статусные (рис. 2).

Квадрант 1 отображает высокомотивированного руководителя в отношении материальных и статусных потребностей, в результате чего область его трудовой активности связана с повышением заработной платы, а также включением в резерв, карьерными продвижениями. Наблюдая объективность трудовой оценки в коллективе, руководитель стремится проявить себя в процессе труда.

Квадрант 2 воспроизводит образ руководителя, ориентированного на высокую заработную плату и не стремящегося к продвижению.

Квадрант 3 включает руководителей, которые готовы к самовыражению, признанию, реализации своего потенциала, при этом материальные стимулы у них находятся на втором плане.

Квадрант 4 включает работников с низким уровнем как материальной, так и статусной мотивации.

Изучение представленных мотивационных типов работников обусловлено необходимостью дифференциации подходов и усилий по отношению к работникам различных групп. В первом варианте для формирования руководителей и специалистов следует ориентироваться на индивидов с генетически высокой мотивацией, т.е. тех, которые являются или потенциально готовы стать руководителями на предприятиях и оказывать решающее воздействие на результаты деятельности.

В идеальном варианте предполагается оптимальное сочетание элементов внешней мотивации со стороны администрации со структурой мотивационного потенциала индивида; в действительности это не всегда возможно. Поэтому целью управления мотивационными процессами является поддержание интегрального минимально допустимого объема мотивации, присущего каждому

индивиду, с тем, чтобы не наносить значительного ущерба предприятию и работнику, т.е.:

$$\sum M_i \geq \sum M_6, \quad (1)$$

где  $M_i$  – общий объем реализуемого мотивационного потенциала в текущем периоде;  $M_6$  – реализованный в виде поведенческой компетентности мотивационный потенциал в базовом периоде.

Кроме того, для индивида важна оптимизация сочетания элементов мотивации по удельным соотношениям и их ценностям:

$$M_j = O_j \cdot \Pi_j, \quad (2)$$

где  $O_j$  – реализованный объем мотивации по определенному элементу;  $\Pi_j$  – текущая ценностная характеристика элемента мотивации.

В качестве альтернативы материальных мотивов трудовой деятельности может быть предложено использование так называемых заменителей (использована терминология психологов), которые позволяют компенсировать желаемые, но нереализованные потребности в материальном вознаграждении.

Определенные явления в рассматриваемой трудовой сфере не находят эквивалентов на Западе. Прежде всего к ним относятся процессы резкого снижения мотивации работников в кризисные периоды. Они еще недостаточно осмыслены специалистами и, что самое главное, нет прогнозов последствий данной ситуации в отношении трудового поведения индивидов во времени, нет и путей воздействия на него со стороны работодателя для возвращения сначала к базовому уровню мотивации, а далее к ее росту.

Для современного изучения экономического содержания мотивации обратимся к (нео)институциональной теории. Ее использование позволяет оценить социально-экономическую

ситуацию корпорации, проанализировать состояние мотивации и предложить решения. Приняв за основу качественно-поведенческий подход для реализации управляющего воздействия, объясним его особенности с позиций актуализируемой институциональной теории. В настоящее время поведение работника часто определяется стремлением снизить различные издержки в отличие от склонности к рационализму (согласно классической теории), предполагающей удовлетворение своих потребностей. Главными категориями, составляющими основу теории институционализма, являются издержки и права собственности (в зависимости от конкретно выбранного направления). Под издержками в широком смысле [11] понимается все, что так или иначе «отражается на сравнительной работоспособности различных способов распределения ресурсов и организации производственной деятельности». В случае значительного повышения издержек возникает угроза для эффективной деятельности предприятия. В связи с этим явление оппортунизма персонала рассматривается как следствие демотивации [2].

Возникает вопрос: что принять за основу для выработки подходов к мотивации труда персонала для получения экономического результата? Произвольное решение в данном случае чревато торможением развития. Необходимость выработки подхода связана, с одной стороны, с наблюдающимся проведением отечественными исследователями повсеместных обзоров зарубежных теорий мотивации, часто без особой аргументации по их использованию, с другой, отсутствием четкой идентификации ситуаций, так как существенная дифференциация исходных условий для различных предприятий не позволяет выработать единые подходы.

Используем категорию издержек для описания явления демотивации. При этом они отражают в стоимостном выражении затраты на персонал, упущенные выгоды предприятия в связи

с состоянием работников, связанным с демотивацией. Проанализируем взаимосвязь этих явлений для выработки их оптимального сочетания. Считаем, что при постановке задачи должен быть учтен широкий состав компонент, соответствующий ситуации. В предлагаемой динамической модели учтем затраты на работников (материальные и нематериальные), материальные и нематериальные издержки индивида, а также материальные издержки предприятия в связи с издержками индивида, связанными со снижением его мотивации. Здесь очень важно рассмотрение процессов в динамике.

Необходимым условием эффективного хозяйствования в рыночных условиях остается учет потребностей сторон трудового процесса как работников, так и работодателей. Их игнорирование приводит к неполному пониманию ситуации и недостаточно обоснованным решениям. Так, под индивидуальными издержками (ИИ) понимаем ущемление личных интересов работника в трудовом процессе в связи с определенной ситуацией. Это понятие противоположно по смыслу мотивированному состоянию индивида, и его количественный показатель используется для характеристики степени демотивации индивида. Предлагается применять его для оценки состояния индивида в случае невозможности реализации личных материальных или нематериальных потребностей, соответствующих его притязаниям и ценностям. Рассматривая категорию индивидуальных издержек, будем иметь в виду как материальную, так и нематериальную ее составляющие.

В условиях корпораций, где снижение мотивации зафиксировано, актуально определение предельно допустимого уровня индивидуальных издержек с точки зрения нанесения ущерба предприятию. В динамике относительно конкретного индивида повышение ИИ означает нарастание неудовлетворенности и снижение мотивации. При этом сначала появляется скрытое

недовольство, а затем и открытое. Для удовлетворения материальных или нематериальных потребностей индивида возникает необходимость повышения затрат на персонал, но в течение определенного периода – в силу инертности состояния мотивации индивида – они, как правило, не приносят результата. Интерес представляет состояние персонала, которое можно выявить на основе исследования изменения индексов таких показателей, как выработка, текучесть, психологический климат в коллективе, обнаруженный на основе, например, опросов и др. Если в какой-то ситуации уже наблюдаются элементы проявления снижения мотивации индивида, то с этого момента следует подключать к процессу стимулирования помимо материальных и нематериальных стимулы.

Под снижением материальных затрат предприятия на индивида (ЗП) понимается снижение их уровня, выражающееся прежде всего в уменьшении реальной заработной платы, социальных выплат. Применение моральных стимулов в этих условиях приводит к снижению уровня индивидуальных издержек. Ориентируясь на сложившееся положение, когда относительные затраты на моральные стимулы, осуществляемые предприятием, в стоимостном выражении в расчете на одного индивида малы по сравнению с материальными, пренебрегаем ими. Представляется важным проведение дифференциации индивидуальных издержек работника на материальные, связанные с неудовлетворенностью заработной платой, и нематериальные, ассоциируемые с неудовлетворенностью положением на предприятии, отношением руководства, взаимоотношениями, условиями труда. Приведем графическое изображение интеракций работников и работодателей (рис. 3).

Противоречивость целей работодателей и работников приводит к тому, что со снижением затрат предприятия на персонал растут издержки индивида. Экономический характер этих

издержек выражается в снижении мотивации, ведущей к абсентизму. Это могут быть как открытые, так и скрытые поведенческие проявления, выражающиеся в отлынивании работника, пренебрежении четким выполнением работы, снижении интенсивности и активности, переходящем в пассивность.

Все затраты и издержки на графике отражены в условных единицах. В данном случае считаем важным отразить характер зависимостей для возможного воздействия на ситуацию демотивации.

В правой части графика отражена зависимость  $ИИ = f(ЗП)$ , где ИИ – индивидуальные издержки работника как ответная реакция на уровень материальных и нематериальных стимулов; ЗП – общие материальные затраты предприятия на персонал.

Нижняя часть параболы 1 отражает наблюдавшийся в последнее десятилетие процесс снижения материальных затрат предприятия на персонал. Вид наклонной параболы обусловлен характером зависимости. Представляется, что парабола, отображающая зависимость издержек индивида от затрат на него со стороны предприятия, будет иметь наклон, что обусловлено плавным нарастанием демотивации индивида в ответ на снижение заработной платы, и ростом издержек. Далее можно наблюдать инертное состояние работника, представленное вершиной параболы.

Если рассматривать кривую 1 справа налево, то парабола от правой нижней точки (движение изображено стрелкой) до точки А отражает рост индивидуальных издержек работника при снижении затрат на него. До точки А эти

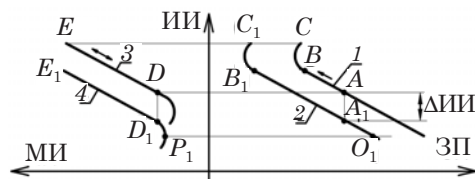


Рис. 3. Взаимозависимость издержек предприятия и работников

явления носят еще размытый и не открыто выраженный характер. Точка *A* отражает состояние демотивации работника, когда очевидными становится рост текучести, явления абсентизма (отлынивание, снижение дисциплины, уровня выполнения норм выработки). Представляется, что четкие индикаторы в точке *A* по выделенным показателям должны стать основанием для принятия руководителями мер по повышению уровня мотивации.

Когда руководители в силу ряда причин не приняли каких-либо мер по повышению мотивации работника, то дальнейшее снижение материальных затрат предприятия на персонал приведет к значительному росту издержек работника (от точки *A* до точки *B*). Точка *B* отражает минимальное значение затрат предприятия, когда все перечисленные выше негативные явления со стороны персонала создают угрозу для непрерывности и эффективности производственного процесса. В такой ситуации руководители принимают решение о необходимости повышения затрат на персонал и конкретного работника. Однако (со ссылкой на психологов [8]) процесс внутренней мотивации работника достаточно инертен, поэтому издержки работника будут продолжать расти до точки *C* уже при росте затрат предприятия, что весьма неэффективно для него. Далее процесс имеет характер плавного снижения индивидуальных издержек, т. е. роста мотивации работника за счет дополнительных материальных затрат предприятия.

В случае, когда администрация предприятия в ответ на снижение мотивации работников и соответственно роста индивидуальных издержек (точка *A*), вызванных падением уровня заработной платы, предпринимет компенсационные меры по усилению морального стимулирования, то ответная позитивная реакция работников обеспечит переход на параболу 2 в точке *A*<sub>1</sub>. Этим обеспечится снижение как издержек работника, так и прогнозных затрат на персонал предприятия.

Данные параболы 2 отражают затраты как на материальное, так и нематериальное воздействие на персонал со стороны предприятия для повышения мотивации. Принимая нематериальную составляющую воздействия малозатратной, пренебрегаем материальными затратами на ее осуществление. Для более точной оценки они могут быть приняты на уровне затрат администрации в объеме, который выражается произведением интегрального затраченного специалистами времени на осуществление мероприятий и их заработной платы в единицу времени. Таким образом, вторая парабола построена как результирующая первой и результатов нематериального воздействия предприятия. Смещение параболы 2 относительно параболы 1 обусловлено снижением издержек индивида в ответ на такие нематериальные действия администрации, как оценка персонала и его трудовых действий, возможность и реализация карьерных продвижений, аттестация кадров, дифференцированный подход к повышению квалификации в соответствии с требованиями рабочих мест и др.

В левой части рис. 2 показана зависимость материальных издержек предприятия (МИ), возникающих при неполной трудовой мотивированности персонала, от индивидуальных издержек, а именно:  $МИ = f(ИИ)$ . Практическим выражением рассматриваемого явления служит упущенная прибыль, недостаточный рост производительности труда или его отсутствие, незаключенные договоры с заказчиками, приобретение материалов по завышенным ценам, которые происходят вследствие оппортунистического поведения персонала. Затронутые процессы приводят к дополнительным производственным и транзакционным издержкам предприятия.

Рассмотрим взаимозависимость указанных величин и сопоставим ее с тенденциями изменения показателей, изображенных на правом графике. Нижняя начальная часть кривой 3 отражает состояние, когда при низких



индивидуальных издержках имеют-ся определенные издержки предприя-тия, а затем они достигают миниму-ма (точка  $D$ ). Далее с ростом ИИ про-исходит увеличение МИ. С этой точки вышеуказанные издержки нарастают опережающими темпами пропорцио-нально индивидуальным издержкам. Далее, когда в точке  $E$  они достигают максимума, то при снижении ИИ про-исходит уменьшение МИ. Параллель-ная описанной кривая 4 отражает за-висимость  $МИ = f(ИИ)$ , когда ИИ скла-дывается под влиянием основного и до-полнительного нематериального сти-мулирования. И здесь очевидны более благоприятные соотношения рассма-триваемых показателей.

В результате можно сделать вывод относительно критерия эффективности принимаемого решения с точки зрения предприятия. Решение можно считать оптимальным в случае такого уровня ИИ, когда суммарные затраты пред-приятия на персонал и его материаль-ные издержки, обусловленные издерж-ками персонала, являются минималь-ными (соответственно точки  $O_1, P_1$ ). Так, если в качестве показателя для оценки материальных издержек принять при-быль, то сумма затрат предприятия на персонал и недополученная прибыль должны быть минимальными.

Таким образом, представленная в статье суть интеракций участников трудовых процессов, выраженных с по-мощью издержек и затрат, позволяет:

- обосновать вариант решения за-дачи для каждой ситуации;
- использовать показатели деятель-ности предприятия как индикаторы для незамедлительных управленче-ских действий;
- использовать мотивационную ха-рактеристику состояния индивида, вы-раженную его издержками, как свя-зующее звено в выборе альтернатив-ных производственных решений: или издержки предприятия, или затраты на персонал;
- принимая во внимание, что мини-мизация индивидуальных издержек мо-жет быть и не лучшим вариантом для предприятия, сформулировать управ-ленческое решение по их оптимизации;
- предложить критерий достиже-ния эффективности предприятия за счет человеческой составляющей. Им является такой уровень индивидуаль-ных издержек работника, при котором  $МИ + ЗП \rightarrow \min$ .

Использование полученных выво-дов во всех функциях управления пер-соналом позволяет оптимизировать дея-тельность корпорации при управлении персоналом. ■

#### Литература

1. Горшков М. К. Российское общество в условиях трансформации: мифы и реальность (со-циологический анализ 1992–2002 гг.). М. : РОССПЭН, 2003. 516 с. ISBN 5-8243-0151-4.
2. Белкин В. Н., Белкина Н. А., Антонова О. А. Человеческий капитал и трудовой потен-циал персонала организации // Журнал экономической теории № 4. 2015. С. 58–65.
3. Паршина В. С. Экономика персонала / В. С. Паршина, В. А. Антропов. – Екатеринбу-рг : УрГУПС, 2012. 380 с. ISBN 978-5-94614-233-5.
4. Кочеткова А. И. Психологические основы современного управления персоналом. М. : Зерцало, 1999. 384 с. ISBN 5-8078-0034-8.
5. Генкин Б. М. Введение в метаэкономику и основания экономических наук. М. : Изд-во «Норма» (Изд. группа «Норма-ИНФРА-М»), 2008. 84 с. ISBN 5-89123-584-6, ISBN 5-16-000783-0.
6. Фрэнкин Р. Мотивация поведения: биологические, когнитивные и социальные ас-пекты. – 5-е изд. / Пер. с англ. – СПб : Питер, 2003. 651 с. ISBN 534-55530-6 (англ.) ; ISBN 5-94723-052-6.
7. Fred C. Lunenburg. Goal-Setting Theory of Motivation // International Journal Of Management, Business, And Administration. Vol. 15. № 1. 2011 Pp. 1–7.
8. Gunn B., Brenner M. E. and Mjosund A. The Dynamic Synthesis Theory of Motivation // Journal Article, Management Science. Vol. 14. № 10. Application Series (Jun., 1968). Pp. B601–B625.



9. Kjeldsen A. M. Dynamics of Public Service Motivation : PhD Dissertation. – Denmark : Department of Political Science and Government Business and Social Sciences Aarhus University, 2012. 148 p. ISBN 978-87-7335-166-6.
10. Ильин Е.П. Дифференциальная психофизиология. СПб : Питер, 2001. 464 с. ISBN 5-272-00237-7.
11. Управление человеческими ресурсами / под ред. М. Пула, М. Уорнера. – СПб : Питер, 2002. 1200 с. ISBN 5-318-00127-0.
12. Паршина В.С. Формирование мотивационной среды организации // Экономика железных дорог. № 7. 2014. С. 72–80. ISSN 1727-6500.

#### Literature

1. Gorshkov M.K. Russian society in conditions of transformation: myths and reality (sociological analysis 1992–2002) [Rossijskoe obshchestvo v usloviyah transformacii: mify i real'nost' (sociologicheskij analiz 1992–2002 gg.)]. M. : ROSSPEN, 2003. 516 p. ISBN 5-8243-0151-4.
2. Belkin V.N., Belkina N.A., Antonova O.A. Human capital and labor potential of the organization's staff [Chelovecheskij kapital i trudovoj potencial personala organizacii] // Journal of Economic Theory № 4. 2015. Pp. 58–65.
3. Parshin V.S. Personnel Economics [EHkonomika personala] / V.S. Parshin, V.A. Antropov. – Ekaterinburg : USURT, 2012. 380 p. ISBN 978-5-94614-233-5.
4. Kochetkova A.I. Psychological foundations of modern personnel management. M. : Zertcalo, 1999. 384 p. ISBN 5-8078-0034-8.
5. Genkin, B.M. Introduction to meta-economics and the foundations of economic sciences [Vvedenie v metaehkonomiku i osnovaniya ehkonomicheskikh nauk]. M. : Publishing house «Norma» (From the group «Norma-INFRA-M»), 2008. 84 p. ISBN 5-89123-584-6, ISBN 5-16-000783-0.
6. Frankkin R. Motivation behavior: biological, cognitive and social aspects [Motivaciya povedeniya: biologicheskie, kognitivnye i social'nye aspekty]. – 5-nd ed. / Transl. with English. – St. Petersburg: Peter, 2003. 651 p. ISBN 534-55530-6 (English) ; ISBN 5-94723-052-6.
7. Fred C. Lunenburg. Goal-Setting Theory of Motivation // International Journal of Management, Business, And Administration. Vol. 15. № 1. 2011 Pp. 1–7.
8. Gunn B., Brenner M. E. and Mjosund A. The Dynamic Synthesis Theory of Motivation // Journal Article, Management Science. Vol. 14. № 10. Application Series (Jun., 1968). Pp. B601–B625.
9. Kjeldsen A.M. Dynamics of Public Service Motivation : PhD Dissertation. – Denmark : Department of Political Science and Government of Aarhus University, 2012. 148 p. ISBN 978-87-7335-166-6.
10. Ilyin E.P. Differential psychophysiology [Differencial'naya psihofiziologiya]. SPb : Peter, 2001. 464 p. ISBN 5-272-00237-7.
11. Human resources management [Upravlenie chelovecheskimi resursami] / Ed. M. Poole, M. Warner. – St. Petersburg : Peter, 2002. 1200 p. ISBN 5-318-00127-0.
12. Parshina V.S. Formation of the motivational environment of the organization [Formirovanie motivacionnoj sredy organizacii] // Economics of railways. № 7. 2014. Pp. 72–80. ISSN 1727-6500.

*Статья сдана в редакцию 1 октября 2017 года*

УДК 656.225

*Е. М. Бондаренко*

## **Клиентоориентированный подход как способ привлечения дополнительных объёмов перевозки опасных грузов железнодорожным транспортом**

UDC 656.225

*E. T. Bondarenko*

## **Client-oriented approach as method of bringing in of additional volumes of transportation of dangerous loads railway transport**

### **Аннотация**

В статье рассматриваются причины принятия решения грузоотправителями и грузополучателями о смене вида транспорта с железнодорожного на автомобильный при организации перевозок опасных грузов. Проанализированы факторы, от которых зависит привлекательность того или иного вида транспорта для клиента. Даны рекомендации по сохранению существующего и привлечению дополнительного грузопотока рассматриваемой категории грузов на железнодорожный транспорт.

Доказана высокая доходность перевозок опасных грузов железнодорожным транспортом. Отражена важность применения клиентоориентированного подхода при обслуживании грузоотправителей и грузополучателей. Рассмотрены виды сервисных услуг, которые могут быть востребованы при организации перевозок опасных грузов, даны рекомендации о необходимости расширения перечня дополнительных услуг, оказываемых железнодорожным транспортом.

**Ключевые слова:** опасные грузы, клиентоориентированный подход, дополнительные услуги, доходные ставки, безопасность движения.

DOI: 10.20291/2079-0392-2017-4-106-113

### **Annotation**

In the article decision-making reasons are examined by shippers and consignees about changing of type of transport from railway to motor-car during organization of transportations of dangerous loads. Factors on that the attractiveness of one or another type of transport depends for a client are analyzed. Recommendations are given on maintenance of existing and bringing in of additional traffic of goods of the examined category of loads on a railway transport. The high profitableness of transportations of dangerous loads is well-proven by a railway transport. Importance of application of client-oriented approach is reflected at maintenance of shippers and consignees. The types of service services, that can be highly sought during organization of transportations of dangerous loads, given to recommendation about the necessity of expansion of list of the additional services rendered by a railway transport, are considered.

**Keywords:** dangerous loads, client-oriented approach, additional services, profitable rates, safety of motion.

DOI: 10.20291/2079-0392-2017-4-106-113

---

Статья рекомендована к опубликованию [С.А. Плахотичем], канд. техн. наук, доцентом; Уральский государственный университет путей сообщения; Екатеринбург, Россия. E-mail: [SPlahotich@usurt.ru](mailto:SPlahotich@usurt.ru).

Екатерина Михайловна Бондаренко, канд. техн. наук, доцент; кафедра «Логистика, коммерческая работа и подвижной состав» Сибирского государственного университета путей сообщения; Новосибирск, Россия. E-mail: [KuchkinaEM@mail.ru](mailto:KuchkinaEM@mail.ru).

The article is recommended for publication by [S.A. Plahotich], PhD in . tech. sciences, associate professor; Ural State University of Railway Transport; Yekaterinburg, Russia. E-mail: [SPlahotich@usurt.ru](mailto:SPlahotich@usurt.ru).

Ekaterina Mikhailovna Bondarenko, PhD in tech. Sci., Associate Professor; Department of Logistics, Commercial Work and Rolling Stock of the Siberian State Transport University; Novosibirsk, Russia. E-mail: [KuchkinaEM@mail.ru](mailto:KuchkinaEM@mail.ru).

Опасные вещества и изделия, к которым относятся взрывчатые материалы, газы, легковоспламеняющиеся жидкости и твёрдые вещества, окислители и органические пероксиды, ядовитые, едкие (коррозионные) вещества, а также прочие опасные вещества, предъявляются к перевозке для использования в различных отраслях промышленности и народного хозяйства [1]. Это вызывает необходимость их доставки в различные регионы нашей страны и зарубежья.

Перевозки опасных грузов железнодорожным транспортом на сегодняшний день достаточно востребованы. Это обусловлено надёжностью и независимостью от метеорологических условий, возможностью доставки любой партии груза, находящегося в любом агрегатном состоянии, а также жёсткой регламентацией перевозок опасных грузов.

Перевозка опасных грузов по железным дорогам имеет ряд недостатков для клиентов, которые так или иначе могут повлиять на решение грузоотправителя при выборе наиболее подходящего для него варианта перевозки опасного груза. При этом ключевым отрицательным моментом является недостаточная гибкость железнодорожного транспорта при обслуживании клиентов. Некоторые дополнительные услуги, которые могли бы заинтересовать грузоотправителей и грузополучателей, в настоящее время не предоставляются [2].

Согласно данным Комитета ООН по перевозке опасных грузов, их доля в мировом грузообороте постоянно растёт, и на данный момент достигает почти половины. В объеме грузов, перевозимых в России всеми видами транспорта, доля опасных грузов составляет около 25 %. Из них 65 % приходится на долю автомобильного транспорта, около 30 % – на долю железнодорожного, примерно 5 % – водного и около 0,1 % – воздушного. Поэтому в этом сегменте перевозок самая сильная конкуренция существует между автомобильным и железнодорожным транспортом [3].

Несмотря на то, что доля опасных грузов, перевозимых ежегодно железнодорожным транспортом, составляет около 500 млн т, объёмы перевозок таких грузов по железным дорогам за последние десять-пятнадцать лет снизились, объёмы же их перевозок по автомобильным дорогам увеличиваются. В связи с этим остро стоят вопросы, от ответа на которые зависит стратегия развития ОАО «РЖД» в рассматриваемом сегменте перевозок [4]:

- необходимо ли железнодорожному транспорту сохранять существующие объёмы перевозок опасных грузов и привлекать дополнительные?

- какие факторы в большей степени влияют на решение клиентов о переходе с железнодорожного транспорта на автомобильный?

При ответе на первый вопрос необходимо не только проанализировать технологию формирования отправок партий опасных грузов, особенности производства погрузочно-разгрузочных работ, размещения складов, обучения персонала и сравнить предполагаемый экономический эффект от осуществления перевозок рассматриваемого рода груза с размером капитальных вложений и эксплуатационных расходов, связанных с необходимостью развития инфраструктуры железнодорожного транспорта при организации доставки опасных грузов, в первую очередь нужно определить: прибыльна ли для железнодорожного транспорта перевозка опасных грузов? Для обоснования доходности перевозок опасных грузов железнодорожным транспортом для различных категорий опасных грузов были рассчитаны доходные ставки (в расчете на 1 т·км работы и 1 т груза), себестоимость перевозок опасных грузов методом расходов ставок и прибыль ОАО «РЖД» от осуществления перевозок опасных грузов.

Аналогичный расчет проведен и для некоторых категорий неопасных грузов, относящихся к разным тарифным классам, для сравнения прибыльности перевозок опасных грузов с прочими.

Чистая прибыль ОАО «РЖД» в 2016 г. от перевозки опасных грузов (в расчёте на 1 т·км) в сравнении со средней величиной чистой прибыли от перевозок различных категорий неопасных грузов приведена на рис. 1.

При увеличении расстояния перевозки прибыль (в расчёте на 1 т·км) снижается. Это объясняется принципом убывания: при увеличении расстояния постоянная компонента транспортных доходов относится на большее количество километров. Доходные ставки и прибыль от перевозки опасных грузов (усредненное значение) превышают аналогичные показатели по неопасным грузам.

Расчёт доходности железнодорожного транспорта от перевозки опасных грузов доказывает экономическую целесообразность сохранения существующих объёмов их перевозки и необходимость привлечения дополнительного грузопотока.

Для привлечения дополнительного объёма перевозок опасных грузов следует добиваться присвоения новым опасным грузам и грузам, не включённым в алфавитный перечень опасных

грузов [1], номеров ООН. Необходимо разрабатывать условия перевозки этих грузов и включать их в существующие нормативные акты. Следует стремиться свести к минимуму перевозки опасных грузов на так называемых особых условиях, которые служат преградой для привлечения их к перевозке железнодорожным транспортом [5].

При ответе на второй вопрос необходимо проанализировать факторы, влияющие на принятие решения клиентом в пользу того или иного вида транспорта. В настоящее время клиенты уходят с железнодорожного транспорта на автомобильный, который отличается своей гибкостью по отношению к клиенту. Автотранспортные компании готовы предоставлять различные условия оплаты, вплоть до оплаты перевозки после ее совершения. На железнодорожном транспорте систематически растут тарифы, к тому же, действует условие 100%-ной предоплаты за перевозку, наложены определённые ограничения по оплате тарифа государством, практически не развита технология возврата денежных средств. В железнодорожный тариф включена плата

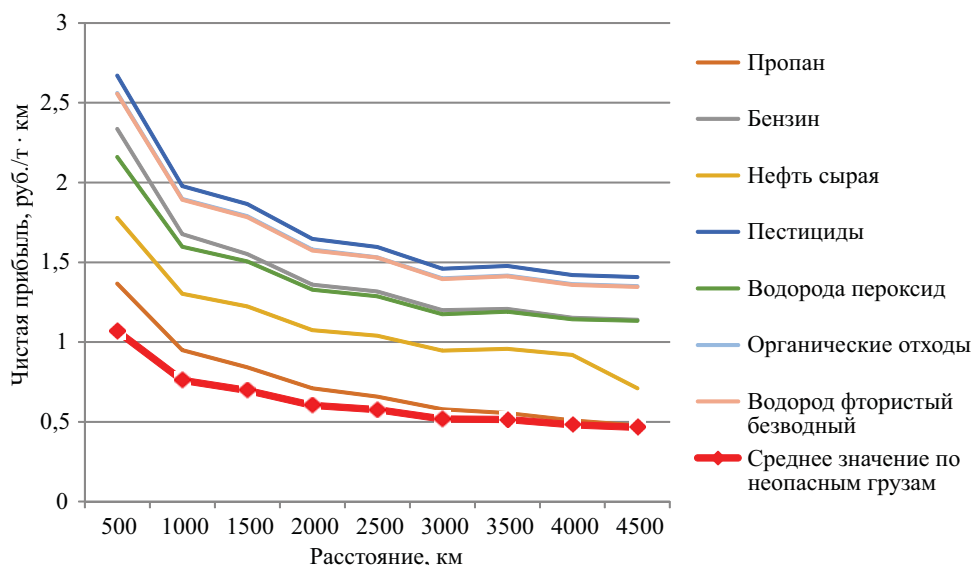


Рис. 1. Чистая прибыль ОАО «РЖД» в 2016 году от перевозки опасных грузов (в расчёте на 1 т·км)

за использование инфраструктуры, что делает перевозку еще менее рентабельной для клиента.

Перевозки опасных грузов относятся к категории высокодоходных, поэтому этот сегмент перевозок важен и для перевозчика, и для логистических посредников (транспортно-экспедиторских организаций, операторов, транспортных брокеров и т.д.). Важно не только сохранять объёмы перевозок опасных грузов, но и привлекать новых клиентов к работе с железнодорожным транспортом в этом сегменте перевозок. Для этого необходимо систематически анализировать и сравнивать существующую технологию организации перевозки опасных грузов на железнодорожном и автомобильном транспорте, выявлять преимущества и недостатки каждого вида транспорта, установить причинно-следственную связь факторов, от которых зависит решение клиента использовать той или иной вид транспорта. Диаграмма Исикавы позволяет проанализировать факторы, влияющие на выбор транспорта клиентом при отгрузке высокодоходных опасных грузов (рис. 2).

Из анализа следует, что к основным техническим факторам, влияющим на выбор грузоотправителем или грузополучателем опасных грузов вида транспорта, относятся обеспечение безопасности перевозочного процесса, сохранность перевозимого груза, доставка «точно в срок», своевременность выполнения погрузочно-разгрузочных работ, выполнение требований нормативной документации по размещению и креплению опасных грузов, а также технологии их перевозки. По этим параметрам железнодорожный транспорт, безусловно, является более привлекательным для клиента. Но предприятия и организации, отгружающие опасные грузы, всё чаще делают выбор в пользу автомобильного транспорта. Это связано с экономическими и сервисными факторами, которые при использовании автотранспорта значительно упрощают организацию перевозки для клиента более

гибкой тарифной политикой, оказанием большего количества дополнительных услуг, а также ориентацией перевозчиков на максимальное удовлетворение потребностей клиентов.

Казалось бы, если снизить тарифы на перевозку опасных грузов, то объёмы перевозки данного вида продукции возрастут. Но простое снижение тарифа на перевозку опасных грузов железнодорожным транспортом не изменит ситуацию, так как парком вагонов управляют компании-операторы подвижного состава. При снижении тарифа железной дорогой они повысят ставку за предоставление вагонов для увеличения прибыльности собственного бизнеса, значит, в целом плата за перевозку не снизится.

Железнодорожные перевозки оказываются наиболее эффективными в том случае, если получатель груза имеет собственные пути необщего пользования. В этом случае груз доставляется прямо на его склад, не требуя дополнительных погрузочно-разгрузочных работ и использования автомобильного транспорта. (Пути необщего пользования необходимо содержать и обслуживать, поэтому клиенты, имеющие небольшие объёмы отгрузки, арендуют склады.) И здесь большую роль при выборе вида транспорта (железнодорожный или автомобильный) играет невозможность доставки опасного груза «от двери до двери». Приходится использовать автомобильный, тратя дополнительные средства на перевозку груза и погрузочно-разгрузочные операции, которые несут в себе дополнительный риск возникновения опасных ситуаций, вызывающих отрицательное воздействие на окружающую среду. А в случае с опасными грузами перегрузка несет в себе дополнительный риск и высокую опасность.

Поэтому перевозку опасных грузов автотранспортом клиенты видят экономически более выгодной. Тем не менее железнодорожный транспорт остается самым безопасным видом транспорта при перевозках опасных грузов.

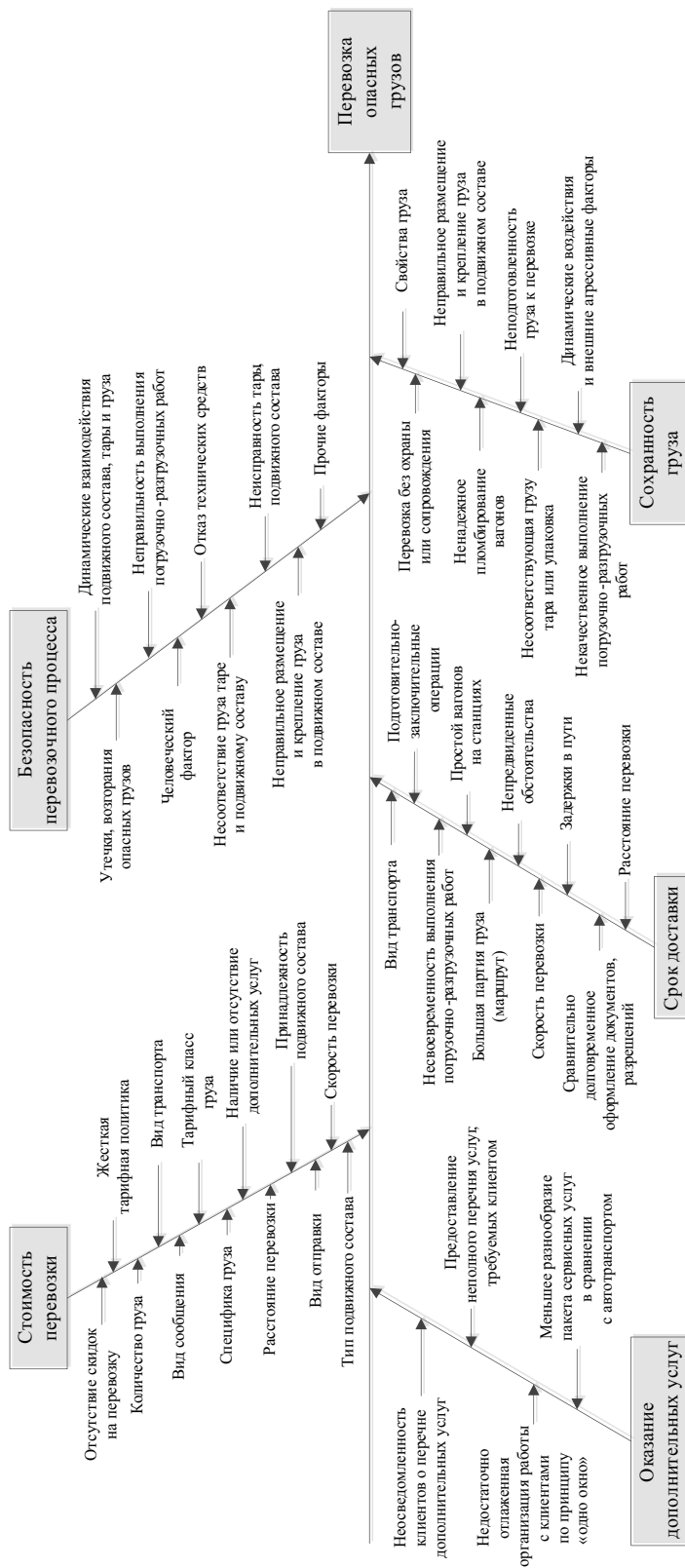


Рис. 2. Причинно-следственная связь факторов, влияющая на выбор клиентом вида транспорта при перевозке опасных грузов

Это обусловлено обширной технологической базой разработанных, экспериментально опробованных и утверждённых методов и способов перевозки опасных грузов, а также строгой регламентацией таких перевозок [6].

Для привлечения дополнительного грузопотока опасных грузов на железнодорожный транспорт и сохранения существующего требуется более детально изучить потребности и запросы клиента. Повышение уровня клиентоориентированности становится ключевым вопросом.

Необходимо удерживать и стимулировать развитие достигнутых

партнерских отношений с крупными грузоотправителями опасных грузов. Также нужно укреплять деловые контакты с клиентами – представителями малого и среднего бизнеса, которые предпочитают в своей деятельности использовать автотранспорт.

Клиентоориентированный подход – важнейшее конкурентное преимущество на транспортном рынке; повышение конкурентоспособности железных дорог остается наиглавнейшей задачей; актуализируется проблема выстраивания полной цепочки обслуживания клиентуры. Ключевым звеном становится комбинация оперативности принятия

#### Перечень услуг, применимых при перевозках опасных грузов (ОГ)

Дополнительные услуги при перевозках опасных грузов	Ускоренная доставка
	Детальное консультирование по условиям перевозки
	Планирование маршрута, разработка транспортно-технологической (логистической) схемы
	Обязательное страхование
	Подготовка тары и подвижного состава
	Таможенное оформление
	Разрешение спорных вопросов с контролирующими органами
	Оформление разрешений на перевозку ОГ
	Оформление таможенных документов
	Подготовка ОГ к перевозке
	Привлечение специально подготовленного транспорта
	Привлечение квалифицированного персонала (специально обученные для перевозки опасных грузов)
	Нанесение маркировки и знаков опасности
	Упаковка в специально предназначенную тару
	Установка запорно-пломбировочных устройств
	Охрана в пути
	Контроль погрузки упакованных грузов, а также контроль и удостоверение факта налива
	Технический и коммерческий осмотр вагонов, оформление свидетельства о техническом состоянии вагонов для перевозки опасных грузов (предоставление перевозчику)
	Диспетчерский контроль за перемещением грузов и информирование клиентов в реальном времени
	Перевозка грузов по расписанию
	Помощь в получении карантинных, ветеринарных, санитарных разрешений
	Работа перевозчика с грузами на путях необщего пользования собственников
	Возможность отстоя подвижного состава на путях необщего пользования
	Консультирование по оптимизации транспортных расходов клиента
	Развитие технологии оказания услуг по принципу «одно окно»
	Увеличение скорости и надежности доставки
	Формирование индивидуальных пакетов услуг (только нужные клиенту)



решений и уровня комфортности для клиентов, то есть необходимо учитывать все аспекты их потребностей.

Перечень дополнительных услуг на автомобильном транспорте значительно больше, чем на железнодорожном. А так как опасные грузы – узкоспециализированный сегмент перевозок, необходимо внедрять большее количество дополнительных услуг, которые привлекут клиента, будут способствовать осуществлению безопасной перевозки точно в срок, сохранности груза и т.д. (таблица).

Итак, при выборе вида транспорта для перевозки опасных грузов грузоотправители и грузополучатели руководствуются несколькими группами факторов: техническими, экономическими, сервисными. Поэтому для привлечения дополнительного грузопотока и сохранения существующего необходимо удовлетворять все потребности клиентов. Организации, оказывающие услуги по перевозке опасных грузов

железнодорожным транспортом, не всегда готовы проявлять гибкость в обслуживании клиентов, учитывать их пожелания, предоставлять более удобные условия сотрудничества, в то время как автоперевозчики являются более лояльными по отношению к клиентам. Зачастую это является основной причиной, побуждающей грузоотправителей и грузополучателей принять решение о смене вида транспорта с железнодорожного на автомобильный. При внедрении клиентоориентированного подхода можно добиться роста общей конкурентоспособности железнодорожного транспорта. Способность извлекать дополнительную прибыль за счет повышения качества обслуживания, глубокого понимания и эффективного удовлетворения потребностей клиентов поможет добиться привлечения дополнительных объемов перевозок опасных грузов на железнодорожный транспорт, тем самым обеспечивая рост доходности ОАО «РЖД». ■

#### Литература

1. Правила перевозок опасных грузов по железным дорогам. Правила перевозок жидких грузов наливом в вагонах-цистернах и вагонах бункерного типа для перевозки нефтебитума : утв. 23.11.07, 30.05.06, 22.05.09 / Дирекция Совета по ж.-д. трансп. государств-участников Содружества [отв. за вып. А. М. Островский и др.]. Новосибирск : Манускрипт, 2010. 583 с. ISBN 978-5-7620-1433-5.
2. Бондаренко Е. М. Применение логистических принципов доставки штучных грузов // Политранспортные системы : м-лы VIII Междунар. науч.-техн. конф. в рамках года науки Россия – ЕС. – Новосибирск, 2015. – С. 388-391. ISBN 978-5-93461-680-0.
3. Островский А. М., Беляева Т. В., Бондаренко Е. М. Экономическая оценка использования полимерной тары для перевозки опасных грузов // Научные проблемы транспорта Сибири и Дальнего Востока. 2012. № 1. С. 46-49. ISSN 2071-3827.
4. Островский А. М., Бондаренко Е. М. Перевозка в крытых вагонах опасных грузов, упакованных в полимерную тару // Транспорт: наука, техника и управление. 2013. № 1. С. 47–50. ISSN 0236-1914.
5. Бондаренко Е. М. Обоснование эффективности применения полимерной транспортной тары для перевозки опасных грузов // Сиббезопасность-СПАССИБ. 2012. № 1. С. 3–8.
6. Бондаренко Е. М., Умняшкин А. В. Аспекты принятия решения «инсорсинг-аутсорсинг в транспортировке» для предприятия, отгружающего опасные грузы // Академическая наука – проблемы и достижения : м-лы XII Междунар. науч.-практ. конф. / CreateSpace – North Charleston, USA. 2017. – С. 112–115. ISBN 978-15468-63-95-3.

#### Literature

1. The rules for the transport of dangerous goods by rail. Rules for the carriage of liquid cargo in bulk in tank wagons and bunker-type cars for the transport of petroleum : approved 23.11.07, 30.05.06, 22.05.09 [Pravila perevozok opasnyh грузов po zheleznym dorum. Pravila perevozok zhidkih грузов nalivom v vagonah-cisternah i vagonah bunkernogo tipa dlya perevozki neftebituma : utv. 23.11.07, 30.05.06, 22.05.09] / The Directorate of

- the Council for Railways. transp. states-participants of the Commonwealth: [responsible. for issue. A.M. Ostrovsky and others]. Novosibirsk : The Manuscript, 2010. 583 p. ISBN 978-5-7620-1433-5.
2. Bondarenko E.M. Application of logistics principles for the delivery of piece goods [Primenenie logisticheskikh principov dostavki shtuchnyh грузов] // Polytransport systems: mth of VIII Intern. Scientific-techn. Conf. within the framework of the year of science Russia – EU. – Novosibirsk, 2015. – Pp. 388–391. ISBN 978-5-93461-680-0.
  3. Ostrovsky A.M., Belyaeva T.V., Bondarenko E.M. Economic evaluation of the use of polymeric containers for the transport of dangerous goods [EHkonomicheskaya ocenka ispol'zovaniya polimernoj tary dlya perevozki opasnyh грузов] // Scientific problems of transport in Siberia and the Far East. 2012. № 1. Pp. 46–49. ISSN 2071-3827.
  4. Ostrovsky A.M., Bondarenko E.M. Transportation of dangerous goods packed in polymer containers in covered wagons [Perevozka v krytyh vagonah opasnyh грузов, upakovannyh v polimernuyu taru] // Transport: science, technology and management. 2013. № 1. Pp. 47–50. ISSN 0236-1914.
  5. Bondarenko E.M. Substantiation of efficiency of application of polymeric transport container for transportation of dangerous cargoes [Obosnovanie ehffektivnosti primeneniya polimernoj transportnoj tary dlya perevozki opasnyh грузов] // SibSecurity-SPASSIB. 2012. № 1. Pp. 3–8.
  6. Bondarenko E.M., Umnyashkin A.V. Aspects of decision-making «insourcing-outsourcing in transportation» for the enterprise shipping dangerous goods [Aspekty prinyatiya resheniya «insorsing-autsorsing v transportirovke» dlya predpriyatiya, otgruzhayushchego opasnye грузы] // Academic science - problems and achievements: materials of XII Intern. Scientific – practical. Conf. / CreateSpace – North Charleston, USA. 2017. – Pp.112–115. ISBN 978-15468-63-95-3.

*Статья сдана в редакцию 18 сентября 2017 года*

УДК 656.073

Д. И. Кочнева

## Модель оценки влияния контейнерной транспортно-логистической системы на экономику региона

UDC 656.073

D. I. Kochneva

## Model for assessing influence of a container transport logistic system on regional economy

### Аннотация

Статья посвящена разработке подхода к оценке воздействия системы контейнерных перевозок на развитие региона.

Уровень развития системы контейнерных перевозок оценивается с помощью коэффициента контейнеризации, величина которого зависит от объема контейнеропригодной продукции в регионе и ресурсных ограничений региональной контейнерной системы (доступность контейнеров, терминалов, подвижного состава и др.).

Для оценки эффективности экономики региона в зависимости от уровня контейнеризации предложен обобщенный показатель, отражающий следующие факторы: величина затрат грузовладельцев на транспортировку, время доставки грузов, сохранность перевозимых грузов, инвестиции на развитие системы контейнерных перевозок.

Практическая реализация модели позволит находить оптимальный уровень развития контейнерных перевозок с точки зрения потребностей региона, принимать обоснованные управленческие решения относительно инвестирования в контейнерную инфраструктуру и направлений повышения эффективности контейнерного сервиса в регионе, прогнозировать развитие контейнерных перевозок исходя из потребностей и возможностей региона.

**Ключевые слова:** контейнерные перевозки, контейнеризация, экономика региона, региональное развитие, моделирование взаимодействия.

DOI: 10.20291/2079-0392-2017-4-114-119

### Summary

The article is devoted to the development an approach for assessment a container transport system impact on a regional development.

The level of the container transport system development is estimated using a containerization coefficient, the value of which depends on containerized products quantity in the region, as well as the resource constraints of the regional container system (accessibility of containers, terminals, rolling stock, etc.).

To assess the effectiveness of the region's economy, depending on the containerization level, a generalized indicator is proposed that reflects the following factors: company's expenses for transportation, time of delivery, safety of the goods transported, and investments in the container transportation system development.

The implementation of the model in practice will allow to find the optimal level of container transportations development from the point of view the regional needs, to make informed management decisions regarding investment in the container infrastructure and directions for increasing the container services efficiency in the region, and to forecast the container traffic development based on the regional needs and opportunities.

**Keywords:** container transport, containerization, regional economy, regional development, interaction modeling.

DOI: 10.20291/2079-0392-2017-4-114-119

---

Статья рекомендована к опубликованию В.М. Сай, д-р техн. наук, профессором; Уральский государственный университет путей сообщения; Екатеринбург, Россия. E-mail: vsay@usurt.ru.

Дарья Ивановна Кочнева, канд. техн. наук, доцент; кафедра «Мировой экономики и логистики» Уральского государственного университета путей сообщения; Екатеринбург, Россия. E-mail: dana\_rich@mail.ru.

The article is recommended for publication by V.M. Sai, DSc in Tech. sciences, professor; Ural State University of Railway Transport; Yekaterinburg, Russia. E-mail: vsay@usurt.ru.

Daria Ivanovna Kochneva, candidate of Technical Sciences, associate professor at the «World economics and logistics» department, Ural State University of Railway Transport.

Контейнерные перевозки дают возможность максимально унифицировать и оптимизировать транспортно-логистический процесс, повысить сохранность перевозимых грузов и обеспечить их доставку «от двери до двери». Сегодня уровень контейнеризации сухих грузов по некоторым оценкам превышает 70 % [1–2].

В последние годы развитие контейнеризации затрагивает не только перевозки так называемых контейнеропригодных грузов. Сегодня в контейнерах перевозится широкая номенклатура сырьевой продукции, в том числе наливные и навалочные грузы, металлы, сжиженный газ. Это привело к значительному росту потребности в контейнерной инфраструктуре в регионах и поспособствовало быстрому развитию контейнерного рынка.

Но при отсутствии согласованных программ развития контейнерной инфраструктуры в регионах формирование рынка происходит стихийно. Каждая компания преследует только собственные экономические интересы, что зачастую приводит к дисбалансу развития терминальных мощностей в регионе, возникновению нерациональных порожних контейнеропотоков и снижению эффективности функционирования региональной контейнерной системы в целом.

Это негативно влияет на развитие тех отраслей экономики региона, которые являются потребителями услуг контейнерной транспортной системы.

На основании вышеизложенного сформирована общая задача исследований: разработка методологии оценки потребности региона в развитии контейнерных перевозок с учетом интересов транспортных компаний и региона, территориальных экономических и социальных особенностей, неравномерности грузопотоков и других ограничений.

Реализация поставленной задачи требует разработки комплекса моделей и алгоритмов – графоаналитической и имитационной модели контейнерной организационной сети региона,

методики определения контейнеропригодности продукции региона, имитационных моделей планирования потребностей в ресурсах контейнерной организационной сети, моделей организации взаимодействия звеньев контейнерной организационной сети между собой и с регионом, методики оценки изменения показателей региона от развития контейнерных перевозок на его территории и др. Некоторые из обозначенных задач рассматривались в рамках публикаций автора [3–6].

Целью настоящей работы является разработка модели оценки влияния развития контейнерных перевозок на экономику региона.

Показателем, характеризующим уровень развития контейнерных перевозок, является коэффициент контейнеризации грузового потока, который в самом общем виде его можно записать так:

$$k_{\text{cont}} = \frac{Q_{\text{cont}}}{Q_{\text{total}}}, \quad (1)$$

где  $Q_{\text{total}}$  – общий объем перевозок грузов региона, т;  $Q_{\text{cont}}$  – объем перевозок грузов региона в контейнерах, т.

Величина грузового контейнерного потока главным образом ограничивается объемом контейнеропригодного груза в регионе. На практике под контейнеропригодными принято понимать грузы, пригодные для перевозки в контейнерах, или грузы, для которых контейнер является оптимальным или единственно возможным средством перевозки [7]. В настоящее время в связи с развитием специализированных контейнеров номенклатура таких грузов существенно расширилась, поэтому при определении их общего объема в регионе следует дифференцировать различные «уровни контейнеропригодности». Обоснование контейнеропригодности продукции региона – актуальная задача, требующая отдельных научных исследований.

Помимо количества контейнеропригодных грузов объем контейнерных перевозок грузов региона ограничивается

степенью развития контейнерной инфраструктуры (контейнеров, подвижного состава, терминалов). Тогда коэффициент контейнеризации запишем как функционал:

$$k_{\text{кп}} = F(Q_{\text{total}}, q, A, H, P, d), \quad (2)$$

где  $q$  – количество контейнеропригодных грузов в регионе;  $A$  – доступный контейнерный парк;  $H$  – пропускная способность терминальной сети;  $P$  – доступный парк подвижного состава для перевозки контейнеров;  $d$  – прочие ограничения контейнерного потока.

Величина обозначенных параметров неустойчива во времени, подвержена случайным изменениям и влиянию большого числа внешних факторов, поэтому для ее количественной оценки необходимо создание имитационной модели, отражающей процесс использования ресурсов контейнерной системы региона, что является предметом дальнейших исследований.

Введем параметр  $E_p$ , под которым будем понимать обобщенный показатель, характеризующий эффективность экономики региона. Тогда влияние развития системы контейнерных перевозок на экономику региона запишем как некоторый функционал:

$$E_p = F(f(Q_{\text{total}}, q, A, H, P, d)) + \varepsilon_i, \quad (3)$$

где  $\varepsilon_i$  – случайные (стохастические) составляющие или ошибки (отклонения), удовлетворяющие необходимым условиям.

Далее при разработке математической имитационной модели будем исходить из баланса интересов хозяйствующих субъектов, входящих в организационную сеть контейнерных перевозок и региона (субъекта федерации):

$$\sum_{i=1}^n E_{\text{xc}}(i) = E_p, \quad (4)$$

где  $n$  – количество хозяйствующих субъектов организационной сети контейнерных перевозок в регионе;  $E_{\text{xc}}(i)$  – экономические интересы  $i$ -го хозяйствующего субъекта сети.

Развитие контейнерных перевозок положительно влияет на экономическую систему региона. Это проявляется в первую очередь в снижении затрат грузовладельцев на транспортировку грузов, сокращении времени доставки грузов, повышении оборачиваемости капитала и сохранности грузов, снижении рисков в процессе перевозки.

Развитие контейнерных перевозок в регионе требует инвестиций, отвлечения капитала из других элементов его социально-экономической подсистемы.

Тогда с учетом (2), (3) и (4) влияние контейнеризации на эффективность социально-экономической системы региона в общем виде можно записать:

$$\begin{aligned} E_p &= F(k_{\text{кп}}) = \\ &= C(k_{\text{кп}}) + T(k_{\text{кп}}) + L(k_{\text{кп}}) - I(k_{\text{кп}}), \end{aligned} \quad (5)$$

где  $C(k_{\text{кп}})$  – функция, характеризующая зависимость транспортно-логистических затрат грузовладельцев;  $T(k_{\text{кп}})$  – функция, характеризующая зависимость скорости доставки грузов региона;  $L(k_{\text{кп}})$  – функция, характеризующая зависимость сохранности перевозимых грузов региона;  $I(k_{\text{кп}})$  – функция, характеризующая зависимость инвестиций на развитие инфраструктуры контейнерных перевозок.

Затраты грузовладельцев на транспортировку грузов ( $C$ ) включают расходы, связанные с выполнением погрузочно-выгрузочных операций, завозом (вывозом) груза к магистральному транспорту, перемещением груза магистральным транспортом, а также прочие затраты, связанные организацией транспортировки. Их величина зависит в основном от объема груза и способа перевозки (вагонная, контейнерная, автомобильная и др.). Тогда для каждого  $i$ -го грузовладельца величину транспортных затрат можно записать:

$$C_i = \sum_j^m c_{ij} q_{ij} + C_{\text{п}i}, \quad (6)$$

где  $c_{ij}$  – затраты  $i$ -го грузовладельца на перевозку 1 т груза  $j$ -м способом;

$q_{ij}$  – объем перевозки груза  $i$ -го грузовладельца  $j$ -м способом, т;  $m$  – число способов перевозки;  $C_{pi}$  – прочие затраты  $i$ -го грузовладельца, не обусловленные объемом перевозок.

Для социально-экономической системы региона величина транспортных затрат грузовладельцев в целом составит

$$C = \sum_i^n C_i + C_{oc}, \quad (7)$$

где  $C_{oc}$  – общесетевые транспортные затраты, обусловленные существующей структурой перевозок в регионе (не перекладываемые на грузовладельца).

Аналогично сформируем выражение, характеризующие скорость доставки грузов региона ( $T$ ):

$$T = \frac{\sum_i^n \sum_j^m t_{ij} q_{ij}}{q_i n}, \quad (8)$$

где  $t_{ij}$  – время осуществления доставки груза  $i$ -го грузовладельца  $j$ -м способом.

Сохранность перевозимого груза региона ( $L$ ) предлагается оценивать через коэффициент сохранности  $k_{cpi}$ :

$$k_{cpi} = \frac{q_{ij} - q_{ij}^{пот}}{q_{ij}}, \quad (9)$$

где  $q_{ij}^{пот}$  – потери продукции в пунктах погрузки, выгрузки и при транспортировке  $i$ -го грузовладельца при перевозке  $j$ -м способом.

Средневзвешенный коэффициент сохранности для региональной сети:

$$L = \frac{\sum_i^n \sum_j^m k_{cpi} q_{ij}}{q_i n}. \quad (10)$$

Инвестиции на развитие контейнерной сети ( $I$ ) – сумма капитальных затрат всех субъектов социально-экономической системы региона на приобретение контейнерного парка, подвижного состава и сооружение (развитие) терминальной сети.

При расчете результирующей оценки взаимодействия региона и контейнерной сети ( $E_p$ ) следует учитывать, что параметры модели ( $C$ ,  $T$ ,  $L$ ,  $I$ ) имеют разную размерность и значимость для результатов оценки. Воспользуемся методом линейной свертки и запишем:

$$E_p = w_1 \cdot C(k_{cp}) + w_2 \cdot T(k_{cp}) + w_3 \cdot L(k_{cp}) - w_4 \cdot I(k_{cp}), \quad (11)$$

где  $w_{1,2,3,4}$  – весовые коэффициенты.

Весовые коэффициенты в предложенной модели выполняют несколько функций. Во-первых, они придают соответствующую значимость каждому параметру в общей оценке. В литературе разработано множество подходов к формированию весовых коэффициентов оцениваемых показателей, в том числе метод прямой расстановки, ранжирования факторов, парного сравнения, анализа иерархий, нечетких множеств и др. Выбор и обоснование конкретной методики назначения весовых коэффициентов оцениваемых факторов выходит за рамки настоящей работы. Значения коэффициентов зависят от направления оценки – разные субъекты контейнерной сети в соответствии со своими интересами могут придавать разную значимость учитываемым факторам.

Во-вторых, с помощью весовых коэффициентов можно уравнивать размерности складываемых величин так, чтобы было правомерно выполнять операцию сложения и в итоге получать безразмерную величину. Для получения весовых коэффициентов соответствующей размерности в расчет вводятся «уравнивающие коэффициенты», суть средние значения вариационных рядов функций [8].

В-третьих, при помощи весовых коэффициентов зададим знак влияния каждой учитываемой функции на общую оценку: рост параметров модели  $C$ ,  $T$ ,  $L$ ,  $I$  должен приводить к росту общей оценки взаимодействия  $E_p$ .

В заключение преобразуем выражение (11) следующим образом:



$$E_p = w_1 \left( \frac{C(k_{\text{кл}})}{\bar{C}} \right)^{-1} + w_2 \left( \frac{T(k_{\text{кл}})}{\bar{T}} \right)^{-1} + w_3 \left( \frac{L(k_{\text{кл}})}{\bar{L}} \right)^1 - w_4 \left( \frac{I(k_{\text{кл}})}{\bar{I}} \right)^1, \quad (13)$$

где  $\bar{C}$ ,  $\bar{T}$ ,  $\bar{L}$ ,  $\bar{I}$  – средние значения вариационных рядов функций («уравнивающие коэффициенты»).

Практическая реализация модели позволит находить оптимальный

уровень развития контейнерных перевозок с точки зрения потребностей региона, принимать обоснованные управленческие решения относительно инвестирования в контейнерную инфраструктуру и направлений повышения эффективности контейнерного сервиса в регионе, прогнозировать развитие контейнерных перевозок исходя из потребностей и возможностей региона. ■

### Литература

1. Резер С.М., Москвичев О.В. Состояние методического базиса технического и технологического развития контейнерных перевозок в России // Транспорт: наука, техника, управление. 2015. № 3. С. 12–14. ISSN 0236-1914.
2. Boşneagu R., Coca C.E., Sorescu F. Sea Global Containerized Trade. Present and Future // EIRP Proceedings. 2015. № 10. ISSN 2069-9344.
3. Кочнева Д.И., Сизый С.В., Сай В.М. Имитационная модель контейнерного терминала – элемента региональной транспортно-логистической сети // Транспорт Урала. 2011. № 2 (29). С. 31–38. ISSN 1815-9400.
4. Кочнева Д.И. Моделирование продолжительности нахождения контейнера в региональной контейнерной транспортно-логистической системе // Вестник УрГУПС. 2012. № 3. С. 54–61. ISSN 2079-0392.
5. Кочнева Д.И. Повышение эффективности функционирования региональной контейнерной транспортно-логистической системы : дисс. ... на соиск. уч. ст. канд. техн. наук. Екатеринбург : УрГУПС. 2012. 138 с.
6. Сай В.М., Кочнева Д.И. Моделирование интегральной системы взаимоотношений в региональной сети контейнерных перевозок // Вестник УрГУПС. 2016. № 4(32). С. 65–75. ISSN 2079-0392.
7. Официальный сайт ПАО «ТрансКонтейнер». URL: [www.trcont.ru](http://www.trcont.ru) (дата обращения: 15.11.2017).
8. Сай В.М., Шутюк С.В. Моделирование оценки взаимодействия компании «Российские железные дороги» с субъектами Российской Федерации : монография. М. : ВИНТИ РАН, 2005. 140 с. ISBN 5-902928-06-0.

### References

1. Rezer S.M., Moskvichev O.V. Sosotoyanie metodicheskogo basisa tehničeskogo i tehnologičeskogo razvitiya kontejnernih perevozok [State of methodological basis of technical and technological development of container traffic in Russia] // Transport: Science, Technology, Management. 2015. № 3. Pp 12–14. ISSN 0236-1914.
2. Boşneagu R., Coca C.E., Sorescu F. Sea Global Containerized Trade. Present and Future // EIRP Proceedings. 2015. № 10. ISSN 2069-9344.
3. Kochneva D.I., Sizyi S.V., Sai V.M. Imitacionnaya model' kontejnernogo terminala – ehlementa regional'noj transportno-logisticheskoy seti [An imitation model of a container terminal – element of a regional transport logistical network] // Transport Urala. 2011. № 2 (29). Pp. 31–38. ISSN 1815-9400.
4. Kochneva D.I. Modelirovanie prodolzhitel'nosti nahozhdeniya kontejnera v regional'noj kontejnernoj transportno-logisticheskoy sisteme [Modeling the duration of a container's circulation in a regional container transport logistical network] // Vestnik UrGUPS. 2012. № 3. Pp. 54–61. ISSN 2079-0392.
5. Kochneva D.I. Povyshenie ehffektivnosti funkcionirovaniya regional'noj kontejnernoj transportno-logisticheskoy sistemy : diss. ... na soisk. uch. st. kand. tekhn. Nauk. [Increasing the efficiency of regional container transport logistics system. Candidate of Technical Sciences dissertation.] Ekaterinburg : UrGUPS/ 2012. 138 p.



6. Sai V.M., Kochneva D.I. Modelirovanie integralnoi sistemy vzaimootnosheniy v regional'noi seti konteynernykh perevozok [Modeling an integral relationship system in the regional container transport network] // Vestnik UrGUPS. 2016. № 4(32). Pp. 65–75. ISSN 2079-0392.
7. The official web-site of JSC «TransContainer». URL: [www.trcont.ru](http://www.trcont.ru) (reference date: 15.11.2017).
8. Sai V. M., Shutuk S.V. Modelirovanie ocenki vzaimodejstviya kompanii «Rossijskie zheleznnye dorogi» s sub"ektami Rossijskoj Federacii : monografiya. [Modelling the evaluation of interaction between the «Russian railways» company with the regions of the Russian Federation : a monograph.] M. : VINITI RAN, 2005. 140 p. ISBN 5-902928-06-0.

*Статья сдана в редакцию 1 декабря 2017 года*

## Уважаемые коллеги!

### Информирую вас о требованиях, предъявляемых к оформлению статей.

При наборе используйте Word-2003 или Word-2007; шрифт (по всему тексту, в том числе в рисунках и таблицах) — тип Times, размер шрифта — 14, межстрочное расстояние — 1,5, абзацный отступ — 1,25 (1,27) см, поля — 2 см; расстановка переносов по всему тексту — автоматическая.

Набор формул: простые формулы и сочетания символов ( $x^2 < y^2$ ;  $E = mc^2$ ;  $a^2 + b^2 = c^2$ ;  $Q_{i-1}$ ;  $\psi_j$ ) — только в текстовом режиме, сложные

$$(s^2 = \frac{1}{n-1} \left[ \sum_{j=1}^e x_j^2 n_j - \frac{1}{n} \left( \sum_{j=1}^e x_j n_j \right)^2 \right]; \left( \frac{\sigma_a}{[n]} \right)$$

или  $S_i^m$ ) — только в редакторе формул

Equation или в MathType.

Написание букв: русские (а, б, в, А, Б, В), греческие (Θ, Σ, Ω, Ψ, α, β, δ, ε, λ, π), а также цифры и функции (1, 2, 3; I, II, III; max, lg, sin и т.п.) пишутся только прямо; латинские (*a, b, n, A, B, N* и т.д.) — только курсивом. Исключение — курсив во вспомогательном тексте (слова «Таблица» и «Рис.», примечания в рисунках и ссылки в тексте на эти примечания).

Оформление текста: левый верхний край — инициалы, фамилия; заголовков — все буквы ПРОПИСНЫЕ, жирные, расположение — по центру набора; таблиц и рисунков: в таблицах размер шрифта — на полтора-два размера меньше, чем в основном тексте (11,5–12), расположение текста в «шапке» таблицы — по центру, в столбцах — по ширине; межстрочное расстояние — 1; слово «Таблица» — курсивное начертание, в правый край таблицы; название таблицы — начертание нормальное (прямое), расположение — по центру таблицы. В рисунках (графиках, диаграммах): размер подрисуноч-

ной подписи — 14, расположение — по центру набора, слово «Рис.» — курсив, название рисунка — нормальное начертание, описание рисунка (экспликация) — нормальное начертание, условные обозначения — курсивное начертание, их расшифровка — нормальное. Расположение таблиц и рисунков — строго после ссылки на них.

Кроме того, рисунки обязательно прилагаются к материалу (один рисунок — один файл; формат — \*.jpg).

Ссылки на литературу в тексте пишутся в квадратных скобках ([1], [1, 2] или [3–5]); нумерация сквозная. Список литературы/источников оформляется по ГОСТ 7.0.5–2008.

В конце статьи обязательно ставится дата отсыла материала в редакцию.

Объем статьи — не более 14-ти страниц.

Название файла: Фамилия. Первое слово заголовка. Подчеркивание. Последнее слово заголовка (Сидоров. Синтез\_электроприводом).

К материалу (статье) обязательно прилагаются (отдельным файлом): УДК, сведения об авторе, аннотация, ключевые слова (название файла: УДК 000. Сидоров. Синтез\_электроприводом).

Материалы для очередного номера журнала «Вестник УрГУПС» принимаются до 30 числа первого месяца квартала (до 30-го января, 30-го апреля, до 30-го июля, до 30-го октября). Материалы, поступившие в редакцию после 30-го числа, будут опубликованы только в следующем номере.

Успешной работы!

*Л. Барышникова,  
литературный и выпускающий  
редактор журнала «Вестник УрГУПС»*

### Уважаемые читатели и авторы журнала «Вестник УрГУПС»!

Если вам нравится наш журнал, вы можете оказать содействие в его развитии,

перечислив денежные средства по реквизитам:

Ассоциация выпускников УЭМИИТ-УрГУПС

ИНН-КПП 6670317893/667001001

ОГРН 1156600001470

620075, Свердловская обл., г. Екатеринбург, ул. Шевченко, д. 20, помещение 1

Р/с 40703810863010000192

в ПАО КБ «УБРИР» филиал ССБ

к/с 30101810900000000795

БИК 046577795

**Назначение платежа:** «Пожертвование для поддержки научных журналов УрГУПС».

Ваша финансовая поддержка позволит нам увеличить число публикаций, повысить индексы цитирования журнала и наших авторов.

### Уважаемые руководители инновационных компаний и предприятий!

Предлагаем вам услуги по продвижению вашей продукции через сеть Ассоциации выпускников УЭМИИТ-УрГУПС.

Ассоциация выпускников УЭМИИТ-УрГУПС – это кооперация большого числа неравнодушных людей различных сфер деятельности, окончивших наш университет.

Кроме того, предлагаем услуги по подбору молодых специалистов, по организации поиска решений прикладных и научных задач в рамках диссертационных работ, выполняемых в УрГУПС.

Всю необходимую информацию вы можете получить по тел. (343) 221-24-67

или на сайте <http://www.usurt.ru/vypusnikam/assotsiatsiya-vypusnikov-urgups>

<b>Извещение</b>	<p><b>Получатель:</b> Ассоциация выпускников УЭМИИТ-УрГУПС</p> <p><b>КПП:</b> 667001001 <b>ИНН:</b> 6670317893</p> <p><b>ОКТМО:</b> 65701000 <b>Р/сч.:</b> 40703810863010000192</p> <p><b>в:</b> ПАО КБ «УБРИР» филиал ССБ</p> <p><b>БИК:</b> 046577795 <b>К/сч.:</b> 30101810900000000795</p> <p><b>Код бюджетной классификации (КБК):</b> _____</p> <p><b>Платеж:</b> Пожертвование для поддержки научных журналов УрГУПС</p> <p><b>Плательщик:</b> _____</p> <p><b>Адрес плательщика:</b> _____</p> <p><b>ИНН плательщика:</b> _____ <b>№ л/сч. плательщика:</b> _____</p> <p><b>Сумма:</b> _____ руб. _____ коп.</p> <p>Подпись: _____ Дата: «____» _____ 2018 г.</p>
<b>Квитанция</b>	<p><b>Получатель:</b> Ассоциация выпускников УЭМИИТ-УрГУПС</p> <p><b>КПП:</b> 667001001 <b>ИНН:</b> 6670317893</p> <p><b>ОКТМО:</b> 65701000 <b>Р/сч.:</b> 40703810863010000192</p> <p><b>в:</b> ПАО КБ «УБРИР» филиал ССБ</p> <p><b>БИК:</b> 046577795 <b>К/сч.:</b> 30101810900000000795</p> <p><b>Код бюджетной классификации (КБК):</b> _____</p> <p><b>Платеж:</b> Пожертвование для поддержки научных журналов УрГУПС</p> <p><b>Плательщик:</b> _____</p> <p><b>Адрес плательщика:</b> _____</p> <p><b>ИНН плательщика:</b> _____ <b>№ л/сч. плательщика:</b> _____</p> <p><b>Сумма:</b> _____ руб. _____ коп.</p> <p>Подпись: _____ Дата: «____» _____ 2018 г.</p>

ф. СП-1



## АБОНЕМЕНТ

на ~~газету~~  
журнал

**70070**

(индекс издания)

### Вестник УрГУПС

(наименование издания)	Количество комплектов:	
------------------------	------------------------	--

на 2018 год по месяцам:

1	2	3	4	5	6	7	8	9	10	11	12
X	X	X	X	X	X						

**Куда**

(почтовый индекс)

(адрес)

**Кому**

(фамилия, инициалы)

## ДОСТАВОЧНАЯ КАРТОЧКА

ПВ	место	литер

на ~~газету~~  
журнал

**70070**

(индекс издания)

### Вестник УрГУПС

(наименование издания)

Стои- мость	подписки	руб. ____ коп.	Количество комплектов:	
	переадресовки	руб. ____ коп.		

на 2018 год по месяцам:

1	2	3	4	5	6	7	8	9	10	11	12
X	X	X	X	X	X						

**Куда**

(почтовый индекс)

(адрес)

**Кому**

(фамилия, инициалы)